

# MATEMATICKO-FYZIKÁLNÍ FAKULTA Univerzita Karlova

## DIPLOMOVÁ PRÁCE

Kateřina Lipavská

## Dynamické modely pro panelová data

Katedra pravděpodobnosti a matematické statistiky

Vedoucí diplomové práce: RNDr. Šárka Hudecová, Ph.D.

Studijní program: Pravděpodobnost, matematická  
statistika a ekonometrie

Studijní obor: MPSP

Praha 2023

Prohlašuji, že jsem tuto diplomovou práci vypracovala samostatně a výhradně s použitím citovaných pramenů, literatury a dalších odborných zdrojů. Tato práce nebyla využita k získání jiného nebo stejného titulu.

Beru na vědomí, že se na moji práci vztahují práva a povinnosti vyplývající ze zákona č. 121/2000 Sb., autorského zákona v platném znění, zejména skutečnost, že Univerzita Karlova má právo na uzavření licenční smlouvy o užití této práce jako školního díla podle §60 odst. 1 autorského zákona.

V ..... dne .....  
Podpis autora

Na tomto místě bych chtěla poděkovat vedoucí mé diplomové práce RNDr. Šárce Hudecové, Ph.D. za cenné rady a připomínky, ochotu a množství času, které mi věnovala.

Název práce: Dynamické modely pro panelová data

Autor: Kateřina Lipavská

Katedra: Katedra pravděpodobnosti a matematické statistiky

Vedoucí diplomové práce: RNDr. Šárka Hudecová, Ph.D., Katedra pravděpodobnosti a matematické statistiky

**Abstrakt:** Práce se zabývá dynamickým modelem pro panelová data a odhadů jeho parametrů. Nejprve jsou zopakovány odhadování pro lineární regresní model a zobecněná metoda momentů. Dále jsou uvedeny klasické odhadování pro model panelových dat a zdůvodnění nevhodnosti použití těchto odhadů na dynamický model panelových dat. Následně jsou ukázány dvoustupňové odhadování a odhadování zobecněnou metodou momentů vhodné pro dynamický model, jmenovitě Arellanův-Bondův, Arellanův-Boverův a Ahnův-Schmidtův odhad. V závěru jsou na základě Monte Carlo simulační studie ověřeny vybrané teoretické výsledky a je porovnáno chování odhadů uvedených v práci pro různá nastavení.

**Klíčová slova:** panelová data, dynamický model, první diference, zobecněná metoda momentů

Title: Dynamic panel data models

Author: Kateřina Lipavská

Department: Department of Probability and Mathematical Statistics

Supervisor: RNDr. Šárka Hudecová, Ph.D., Department of Probability and Mathematical Statistics

**Abstract:** This thesis deals with a dynamic panel data model and parameters estimation in these models. First, estimation of parameters in linear regression models is revised as well as generalized method of moments. Second, classical estimation methods for panel data model are considered and it is shown why they are inappropriate to use for dynamic panel data model. Subsequently, two-stage least squares estimation method and estimators based on generalized method of moments are presented, namely Arellano-Bond, Arellano-Bover and Ahn-Schmidt estimators. Some of the theoretical results are illustrated in a Monte Carlo simulation study, which also compares behaviour of the presented estimators under various settings.

**Keywords:** panel data, dynamic model, first differences, generalized method of moments

# Obsah

|  |           |
|--|-----------|
| <b>Úvod</b>  | <b>2</b>  |
| <b>1 Různé odhady v lineárním regresním modelu</b>   | <b>3</b>  |
| 1.1 Metoda obyčejných nejmenších čtverců . . . . .   | 3         |
| 1.2 Metoda přípustných zobecněných nejmenších čtverců . . . . .                                  | 5         |
| 1.3 Dvoustupňový odhad metodou nejmenších čtverců . . . . .                                      | 7         |
| 1.4 Zobecněná metoda momentů . . . . .   | 9         |
| 1.5 Souvislost mezi instrumentálními proměnnými a zobecněnou metodou momentů . . . . .           | 12        |
| <b>2 Panelová data</b>   | <b>14</b> |
| 2.1 Společný model . . . . .   | 15        |
| 2.2 Model s fixními efekty . . . . .   | 16        |
| 2.3 Model s náhodnými efekty . . . . .   | 17        |
| 2.3.1 Odhad metodou přípustných zobecněných nejmenších čtverců                                   | 18        |
| 2.3.2 Hausmanův-Taylorův odhad . . . . .   | 21        |
| 2.4 Příklad . . . . .  | 24        |
| <b>3 Dynamické modely pro panelová data</b>  | <b>27</b> |
| 3.1 Klasické odhady . . . . .  | 29        |
| 3.1.1 Odhad metodou nejmenších čtverců . . . . .   | 29        |
| 3.1.2 Uvnitř-skupinový odhad . . . . .   | 29        |
| 3.1.3 Maximálně-věrohodné odhady . . . . .   | 31        |
| 3.2 Odhady zobecněnou metodou momentů . . . . .  | 31        |
| 3.2.1 Odhad metodou instrumentálních proměnných pomocí transformace na první diference . . . . . | 32        |
| 3.2.2 Arellanův-Bondův odhad . . . . .   | 34        |
| 3.2.3 Arellanův-Boverův odhad . . . . .  | 39        |
| 3.2.4 Ahnův-Schmidtův odhad . . . . .  | 42        |
| <b>4 Simulace</b>  | <b>45</b> |
| 4.1 Klasické odhady . . . . .  | 45        |
| 4.2 Odhady zobecněnou metodou momentů . . . . .  | 49        |
| 4.2.1 Panelový AR(1) model . . . . .   | 49        |
| 4.2.2 Model s dalším regresorem . . . . .  | 56        |
| 4.3 Shrnutí . . . . .  | 59        |
| <b>Závěr</b>   | <b>61</b> |
| <b>Seznam použité literatury</b>   | <b>62</b> |
| <b>Seznam obrázků</b>  | <b>64</b> |
| <b>Seznam tabulek</b>  | <b>65</b> |
| <b>A Přílohy</b>   | <b>66</b> |

# Úvod

Panelová data pro modelování  $n$  subjektů v  $T$  časech jsou v ekonometrii jednou z nejužívanějších datových struktur. K jejich analýze existují tři tradiční přístupy – společný model ignorující závislostní strukturu, model s fixními efekty a model s náhodnými efekty. Vykazují-li rezidua zkonztruovaného standardního modelu porušení předpokladů o nekorelovanosti náhodných chyb, můžeme zvolit nějaký model pro náhodné chyby. Dalším možným řešením je do modelu přidat zpožděné hodnoty odezvy, pak dostaváme tzv. dynamický panelový model, který je tématem této práce.

V případě, že jako jeden z regresorů použijeme zpožděnou hodnotu odezvy, způsobíme tím korelovanost regresorů a náhodných chyb, čímž porušíme jeden ze základních předpokladů lineárního modelu. Odhad pak nemá očekávané a požadované vlastnosti. Proto používáme jiné než tyto standardní přístupy k odhadu parametrů modelu.

V první kapitole jsou uvedeny různé odhady v lineárním regresním modelu, je zopakován odhad metodou obyčejných nejmenších čtverců, metodou přípustných zobecněných nejmenších čtverců a dvoustupňový odhad, dále je představena zobecněná metoda momentů a její souvislost s odhadem založeným na instrumentálních proměnných.

Druhá kapitola připomíná tři tradiční přístupy k panelovým datům – společný model, model s fixními efekty a model s náhodnými efekty, které jsou demonstrovány na příkladu Grunfeldových dat.

Ve třetí kapitole představujeme dynamický model panelových dat, ukazujeme, proč tradiční přístupy nejsou vhodné, a představíme různé odhady zobecněnou metodou momentů, jmenovitě Andersonův-Hsiaoův, Arellanův-Bondův, Arellanův-Boverův a Ahnův-Schmidtův odhad.

Čtvrtou kapitolu tvoří simulační studie, ve které ilustrujeme některé teoretické výsledky a porovnáváme jednotlivé odhady ze třetí kapitoly. Simulace, stejně jako tvorba obrázků, byla provedena v programu R, R Core Team (2020).

Za vlastní přínos práce lze považovat sepsání problematiky v jednotném značení, podrobná odvození a především provedení simulační studie.

# 1. Různé odhady v lineárním regresním modelu

V dalších kapitolách budeme používat různé odhady vycházející z lineárního regresního modelu, proto je nejprve stručně připomeneme. V části 1.1 zopakujeme metodu obyčejných nejmenších čtverců v klasickém lineárním regresním modelu, v části 1.2 metodu přípustných zobecněných nejmenších čtverců, v části 1.3 dvoustupňový odhad pomocí instrumentálních proměnných, v části 1.4 uvedeme odhad zobecněnou metodou momentů a v části 1.5 souvislost mezi dvoustupňovým odhadem a odhadem zobecněnou metodou momentů. Následující části čerpají z knih Wooldridge (2013) a Greene (2003).

Uvažujme lineární regresní model

$$\mathbf{Y} = \mathbb{X}\boldsymbol{\beta} + \boldsymbol{\varepsilon},$$

kde  $\mathbb{X}$  je matice modelu s  $n$  řádky a  $k$  sloupce,  $\mathbf{Y}$  je odezva,  $\boldsymbol{\beta}$  vektor parametrů a  $\boldsymbol{\varepsilon}$  chybový člen. Vektor parametrů  $\boldsymbol{\beta}$  má rozměry  $(k \times 1)$ . V dalším textu budeme vždy předpokládat model s plnou hodností, tedy že  $P(\text{rank}(\mathbb{X}^\top \mathbb{X}) = k) = 1$ .

## 1.1 Metoda obyčejných nejmenších čtverců

Odhad  $\hat{\boldsymbol{\beta}}$  vektoru parametrů  $\boldsymbol{\beta}$  metodou obyčejných nejmenších čtverců v lineárním regresním modelu můžeme vyjádřit jako

$$\hat{\boldsymbol{\beta}} = (\mathbb{X}^\top \mathbb{X})^{-1} \mathbb{X}^\top \mathbf{Y}.$$

Platí-li předpoklad

$$(\text{PLR1}) \quad \mathbf{E}[\mathbf{Y}|\mathbb{X}] = \mathbb{X}\boldsymbol{\beta},$$

ekvivalentní předpokladu  $\mathbf{E}[\boldsymbol{\varepsilon}|\mathbb{X}] = 0$ , je uvedený odhad  $\hat{\boldsymbol{\beta}}$  vektoru parametrů  $\boldsymbol{\beta}$  metodou obyčejných nejmenších čtverců nestranný, neboť

$$\mathbf{E}[\hat{\boldsymbol{\beta}}|\mathbb{X}] = \mathbf{E}[(\mathbb{X}^\top \mathbb{X})^{-1} \mathbb{X}^\top \mathbf{Y}|\mathbb{X}] = (\mathbb{X}^\top \mathbb{X})^{-1} \mathbb{X}^\top \mathbf{E}[\mathbf{Y}|\mathbb{X}] = (\mathbb{X}^\top \mathbb{X})^{-1} \mathbb{X}^\top \mathbb{X}\boldsymbol{\beta} = \boldsymbol{\beta},$$

a tedy i  $\mathbf{E}\hat{\boldsymbol{\beta}} = \boldsymbol{\beta}$ .

Platí-li předpoklad

$$(\text{PLR2}) \quad \text{var}[\mathbf{Y}|\mathbb{X}] = \sigma^2 \mathbb{I}_n,$$

je rozptyl odhadu parametrů  $\text{var}[\hat{\boldsymbol{\beta}}|\mathbb{X}] = \sigma^2 (\mathbb{X}^\top \mathbb{X})^{-1}$ .

Matice modelu  $\mathbb{X}$  má v řádcích vysvětlující proměnné pro jednotlivá pozorování,

$$\mathbb{X} = \begin{bmatrix} \mathbf{X}_1^\top \\ \mathbf{X}_2^\top \\ \vdots \\ \mathbf{X}_n^\top \end{bmatrix}.$$

Jsou-li  $(Y_i, \mathbf{X}_i)$  nezávislé, stejně rozdělené, je předpoklad (PLR1) ekvivalentní předpokladu  $\mathbf{E}[\varepsilon_i | \mathbf{X}_i] = 0 \quad \forall i = 1, \dots, n$  a předpoklad (PLR2) je ekvivalentní předpokladu  $\text{var}[Y_i | \mathbf{X}_i] = \sigma^2 \quad \forall i = 1, \dots, n$ .

Z předpokladů (PLR1) a (PLR2) plyne, že chybové členy  $\varepsilon_i$  mají podmíněně při dané matici modelu  $\mathbb{X}$  nulovou střední hodnotu a rozptyl  $\sigma^2$ .

**Věta 1** (Gaussova-Markovova). *V lineárním regresním modelu za předpokladů (PLR1) a (PLR2) platí, že odhad vektoru parametrů  $\beta$  metodou obyčejných nejmenších čtverců je nejlepší lineární nestranný odhad.*

*Důkaz.* Viz věta 3.4 knihy Wooldridge (2013).  $\square$

Nyní uvedeme asymptotické vlastnosti.

**Věta 2.** *Uvažujme následující předpoklady:*

$$(PLR3) \frac{1}{n} \mathbb{X}^\top \mathbb{X} \xrightarrow[n \rightarrow \infty]{P} W, \text{ kde } W \text{ je konečná regulární matice,}$$

$$(PLR4) \frac{1}{n} \mathbb{X}^\top \varepsilon \xrightarrow[n \rightarrow \infty]{P} 0,$$

$$(PLR5') \frac{1}{\sqrt{n}} \mathbb{X}^\top \varepsilon \xrightarrow[n \rightarrow \infty]{d} N(0, \sigma^2 Z), \text{ kde } Z \text{ je konečná regulární matice,}$$

$$(PLR5) \frac{1}{\sqrt{n}} \mathbb{X}^\top \varepsilon \xrightarrow[n \rightarrow \infty]{d} N(0, \sigma^2 W), \text{ kde } W \text{ je matice z předpokladu (PLR3).}$$

Za předpokladů (PLR3) a (PLR4) je  $\hat{\beta}$ , odhad vektoru parametrů  $\beta$  metodou obyčejných nejmenších čtverců, konzistentní.

Za předpokladů (PLR3) a (PLR5') platí, že odhad  $\hat{\beta}$  metodou obyčejných nejmenších čtverců je pro  $n \rightarrow \infty$  asymptoticky normální.

Platí-li navíc předpoklad (PLR5), pak reziduální rozptyl

$$\hat{\sigma}^2 = \frac{\sum_{i=1}^n (\hat{Y}_i - Y_i)^2}{n - k} \tag{1.1}$$

je pro  $n \rightarrow \infty$  konzistentní odhad parametru  $\sigma^2$ , kde  $\hat{Y}_i = \mathbf{X}_i^\top \hat{\beta}$ ,  $i = 1, \dots, n$ , jsou vyrovnané hodnoty. Dále platí

$$T_n = \frac{\hat{\beta}_j - \beta_j}{\sqrt{\hat{\sigma}^2 (\mathbb{X}^\top \mathbb{X})_{jj}^{-1}}} \xrightarrow[n \rightarrow \infty]{d} N(0, 1), \tag{1.2}$$

kde  $\beta_j$ , resp.  $\hat{\beta}_j$  značí  $j$ -tou složku vektoru  $\beta$ , resp.  $\hat{\beta}$  a  $(\mathbb{X}^\top \mathbb{X})_{jj}^{-1}$  je  $j$ -tý diagonální prvek matice  $(\mathbb{X}^\top \mathbb{X})^{-1}$ .

*Důkaz.* Ukážeme konzistenci, vyjdeme z tvaru odhadu  $\hat{\beta}$  a výraz upravíme.

$$\begin{aligned}\hat{\beta} &= (\mathbb{X}^\top \mathbb{X})^{-1} \mathbb{X}^\top \mathbf{Y} = n (\mathbb{X}^\top \mathbb{X})^{-1} \frac{1}{n} \mathbb{X}^\top \mathbf{Y} = n (\mathbb{X}^\top \mathbb{X})^{-1} \frac{1}{n} \mathbb{X}^\top (\mathbb{X}\beta + \varepsilon) = \\ &= n (\mathbb{X}^\top \mathbb{X})^{-1} \frac{1}{n} \mathbb{X}^\top \mathbb{X}\beta + n (\mathbb{X}^\top \mathbb{X})^{-1} \frac{1}{n} \mathbb{X}^\top \varepsilon = \beta + n (\mathbb{X}^\top \mathbb{X})^{-1} \frac{1}{n} \mathbb{X}^\top \varepsilon \\ &\xrightarrow[n \rightarrow \infty]{P} \beta + W^{-1} \cdot 0 = \beta.\end{aligned}$$

Důkaz asymptotické normality plyne analogicky s použitím Cramérovovy-Slutského věty, detaily lze nalézt v knize Wooldridge (2013) jako důkaz věty 5.2.  $\square$

Platí-li (1.2), budeme v dalším textu psát, že odhady směrodatných chyb metodou obyčejných nejmenších čtverců jsou asymptoticky platné.

Pokud jsou chyby  $\varepsilon$  korelované s regresory, pak nutně není splněn předpoklad (PLR1), jelikož  $\mathbf{E}[\varepsilon \mathbb{X}] \neq 0$  implikuje  $\mathbf{E}[\varepsilon | \mathbb{X}] = \mathbf{c} \neq 0$ . V takovém případě je odhad  $\hat{\beta}$  vektoru parametrů  $\beta$  metodou obyčejných nejmenších čtverců vychýlený, jelikož

$$\mathbf{E}[\hat{\beta} | \mathbb{X}] = \mathbf{E}[(\mathbb{X}^\top \mathbb{X})^{-1} \mathbb{X}^\top (\mathbb{X}\beta + \varepsilon) | \mathbb{X}] = \beta + (\mathbb{X}^\top \mathbb{X})^{-1} \mathbb{X}^\top \mathbf{E}[\varepsilon | \mathbb{X}] \neq \beta.$$

Nyní předpokládejme, že je splněn předpoklad (PLR3), ale oproti situaci ve větě 2

$$\frac{1}{n} \mathbb{X}^\top \varepsilon \xrightarrow[n \rightarrow \infty]{P} A, \text{ kde } A \text{ je konečný vektor.}$$

Vektor  $A$  v případě korelovanosti chyb  $\varepsilon$  a regresorů  $\mathbb{X}$  obecně není nulový, což ukážeme pro náhodný výběr  $(\mathbf{X}_i^\top, \varepsilon_i)^\top$ ,  $i = 1, \dots, n$ , za předpokladu, že střední hodnota  $\mathbf{X}_i \varepsilon_i$  je konečná. Podle zákona velkých čísel pak totiž platí, že

$$\frac{1}{n} \mathbb{X}^\top \varepsilon = \frac{1}{n} \sum_{i=1}^n \mathbf{X}_i \varepsilon_i \xrightarrow[n \rightarrow \infty]{P} \mathbf{E}[\mathbf{X}_1 \varepsilon_1] = \text{cov}[\mathbf{X}_1, \varepsilon_1].$$

Uvedených předpokladů využijeme, podobně jako v důkazu konzistence, k úpravě výrazu pro odhad parametrů metodou obyčejných nejmenších čtverců

$$\begin{aligned}\hat{\beta} &= (\mathbb{X}^\top \mathbb{X})^{-1} \mathbb{X}^\top \mathbf{Y} = n (\mathbb{X}^\top \mathbb{X})^{-1} \frac{1}{n} \mathbb{X}^\top \mathbf{Y} = n (\mathbb{X}^\top \mathbb{X})^{-1} \frac{1}{n} \mathbb{X}^\top (\mathbb{X}\beta + \varepsilon) = \\ &= n (\mathbb{X}^\top \mathbb{X})^{-1} \frac{1}{n} \mathbb{X}^\top \mathbb{X}\beta + n (\mathbb{X}^\top \mathbb{X})^{-1} \frac{1}{n} \mathbb{X}^\top \varepsilon = \beta + n (\mathbb{X}^\top \mathbb{X})^{-1} \frac{1}{n} \mathbb{X}^\top \varepsilon \\ &\xrightarrow[n \rightarrow \infty]{P} \beta + W^{-1} \cdot A \neq \beta,\end{aligned}$$

proto je odhad  $\hat{\beta}$  v případě korelovanosti regresorů a chyb nekonzistentní. Parametry můžeme v takovém případě odhadnout např. dvoustupňovým odhadem, viz část 1.3.

## 1.2 Metoda přípustných zobecněných nejmenších čtverců

V případě, že v lineárním regresním modelu  $\mathbf{Y} = \mathbb{X}\beta + \varepsilon$  platí předpoklad (PLR1), ale neplatí předpoklad (PLR2) z kapitoly 1.1, je odhad  $\hat{\beta}$  vektoru para-

metrů  $\beta$  metodou obyčejných nejmenších čtverců nestranný a může být konzistentní, ale není nejlepší. Dále neplatí  $t$ -testy s testovou statistikou  $T_n$  ve vzorci (1.2), neboť  $\text{var}[\hat{\beta}|\mathbb{X}] \neq \sigma^2(\mathbb{X}^\top \mathbb{X})^{-1}$ .

Označíme

$$\text{var}[\mathbf{Y}|\mathbb{X}] = \sigma^2 \cdot \boldsymbol{\Omega},$$

kde  $\sigma^2$  je neznámý parametr a  $\boldsymbol{\Omega}$  je známá matice, o níž předpokládáme, že je pozitivně definitní. Lineární model s touto varianční maticí budeme nazývat zobecněný (angl. general) model lineární regrese. V tomto modelu je

$$\text{var}[\hat{\beta}|\mathbb{X}] = (\mathbb{X}^\top \mathbb{X})^{-1} \mathbb{X}^\top \text{var}[\mathbf{Y}|\mathbb{X}] \mathbb{X} (\mathbb{X}^\top \mathbb{X})^{-1} = (\mathbb{X}^\top \mathbb{X})^{-1} \mathbb{X}^\top \sigma^2 \cdot \boldsymbol{\Omega} \cdot \mathbb{X} (\mathbb{X}^\top \mathbb{X})^{-1}.$$

Namísto metody obyčejných nejmenších čtverců budeme vektor parametrů  $\beta$  odhadovat metodou zobecněných nejmenších čtverců (angl. generalized least squares). Vyjdeme z předpokladu, že matice  $\boldsymbol{\Omega}$  je pozitivně definitní, pak i matice  $\boldsymbol{\Omega}^{-1}$  je pozitivně definitní, a proto existuje symetrická matice  $\boldsymbol{\Omega}^{-\frac{1}{2}}$  taková, že  $\boldsymbol{\Omega}^{-1} = \boldsymbol{\Omega}^{-\frac{1}{2}} \boldsymbol{\Omega}^{-\frac{1}{2}}$ . Tuto matici můžeme nalézt např. pomocí spektrálního rozkladu  $\boldsymbol{\Omega}^{-1} = \mathbf{Q} \boldsymbol{\Lambda} \mathbf{Q}^\top$ , kde  $\mathbf{Q}$  je ortogonální matice,  $\mathbf{Q} \mathbf{Q}^\top = \mathbb{I}_n$  a  $\boldsymbol{\Lambda}$  je diagonální, s vlastními čísly  $\lambda_i$ ,  $i = 1, \dots, n$ , na diagonále, která jsou z pozitivní definitnosti matice  $\boldsymbol{\Omega}^{-1}$  kladná. Matice  $\boldsymbol{\Omega}^{-\frac{1}{2}}$  pak bude mít spektrální rozklad

$$\boldsymbol{\Omega}^{-\frac{1}{2}} = \mathbf{Q} \boldsymbol{\Lambda}^{\frac{1}{2}} \mathbf{Q}^\top,$$

kde matice  $\mathbf{Q}$  je ze spektrálního rozkladu matice  $\boldsymbol{\Omega}^{-1}$  a matice  $\boldsymbol{\Lambda}^{\frac{1}{2}}$  je diagonální matice s prvky  $\sqrt{\lambda_i}$ ,  $i = 1, \dots, n$ , na diagonále.

Označíme  $\mathbf{Y}^* = \boldsymbol{\Omega}^{-\frac{1}{2}} \mathbf{Y}$ ,  $\mathbb{X}^* = \boldsymbol{\Omega}^{-\frac{1}{2}} \mathbb{X}$  a  $\boldsymbol{\varepsilon}^* = \boldsymbol{\Omega}^{-\frac{1}{2}} \boldsymbol{\varepsilon}$ . V modelu  $\mathbf{Y}^* = \mathbb{X}^* \beta + \boldsymbol{\varepsilon}^*$  platí  $\mathbf{E}[\boldsymbol{\varepsilon}^*|\mathbb{X}] = 0$  a  $\text{var}[\boldsymbol{\varepsilon}^*|\mathbb{X}] = \boldsymbol{\Omega}^{-\frac{1}{2}} \text{var}[\boldsymbol{\varepsilon}|\mathbb{X}] \boldsymbol{\Omega}^{-\frac{1}{2}} = \boldsymbol{\Omega}^{-\frac{1}{2}} \sigma^2 \cdot \boldsymbol{\Omega} \cdot \boldsymbol{\Omega}^{-\frac{1}{2}} = \sigma^2 \cdot \mathbb{I}_n$ , jsou tedy splněny předpoklady (PLR1) a (PLR2) klasického lineárního modelu. Proto je odhad

$$\hat{\beta}_G = (\mathbb{X}^{*\top} \mathbb{X}^*)^{-1} \mathbb{X}^{*\top} \mathbf{Y}^* = (\mathbb{X}^\top \boldsymbol{\Omega}^{-1} \mathbb{X})^{-1} \mathbb{X}^\top \boldsymbol{\Omega}^{-1} \mathbf{Y}$$

vektor parametrů  $\beta$  metodou zobecněných nejmenších čtverců nejlepší lineární nestranný odhad. Toto plyne z Gaussovy-Markovovy věty (věta 1) pro transformovaný model.

Varianční matice odhadu vektora parametrů je  $\text{var}[\hat{\beta}_G|\mathbb{X}] = \sigma^2(\mathbb{X}^\top \boldsymbol{\Omega}^{-1} \mathbb{X})^{-1}$ . Pro testy o složkách  $\beta$  proto použijeme testovou statistiku

$$T_n = \frac{\hat{\beta}_{Gj} - \beta_j}{\sqrt{\hat{\sigma}_G^2(\mathbb{X}^\top \boldsymbol{\Omega}^{-1} \mathbb{X})_{jj}^{-1}}}, \quad (1.3)$$

kde  $\beta_j$ , resp.  $\hat{\beta}_{Gj}$  značí  $j$ -tou složku vektora  $\beta$ , resp.  $\hat{\beta}_G$ ,  $(\mathbb{X}^\top \boldsymbol{\Omega}^{-1} \mathbb{X})_{jj}^{-1}$   $j$ -tý diagonální prvek matice  $(\mathbb{X}^\top \boldsymbol{\Omega}^{-1} \mathbb{X})^{-1}$  a  $\hat{\sigma}_G^2$  je odhad parametru  $\sigma^2$ , odhad získáme jako střední čtverec reziduí v modelu  $\mathbf{Y}^* = \mathbb{X}^* \beta + \boldsymbol{\varepsilon}^*$ ,

$$\begin{aligned} \hat{\sigma}_G^2 &= \frac{1}{n-k} \left\| \mathbf{Y}^* - \mathbb{X}^* \hat{\beta}_G \right\|^2 = \frac{1}{n-k} \left( \mathbf{Y}^* - \mathbb{X}^* \hat{\beta}_G \right)^\top \left( \mathbf{Y}^* - \mathbb{X}^* \hat{\beta}_G \right) = \\ &= \frac{1}{n-k} \left( \mathbf{Y} - \mathbb{X} \hat{\beta}_G \right)^\top \boldsymbol{\Omega}^{-1} \left( \mathbf{Y} - \mathbb{X} \hat{\beta}_G \right). \end{aligned}$$

Za předpokladů (PLR3), (PLR4) a (PLR5) z tvrzení 2 pro model  $\mathbf{Y}^* = \mathbb{X}^* \boldsymbol{\beta} + \boldsymbol{\varepsilon}^*$  platí, že  $\hat{\sigma}_G^2$  je pro  $n \rightarrow \infty$  konzistentní odhad  $\sigma^2$  a pro testovou statistiku (1.3) platí  $T_n \xrightarrow[n \rightarrow \infty]{d} N(0,1)$ .

Speciálně, je-li matice  $\Omega$  diagonální (což nastává v případě heteroskedasticity), mluvíme o odhadu metodou vážených nejmenších čtverců.

Předpoklad, že matice  $\Omega$  je plně známá, je omezující. Přejdeme proto k odhadu metodou přípustných (angl. feasible) zobecněných nejmenších čtverců, ve kterém je matice  $\Omega$  funkcí vektoru neznámých parametrů  $\gamma = (\gamma_1, \dots, \gamma_r)^\top$ , tedy  $\Omega = \Omega(\gamma)$ . Nejprve odhadneme vektor parametrů  $\gamma$  pomocí konzistentního odhadu  $\hat{\gamma}$ , dále jej použijeme k odhadu  $\hat{\Omega} = \Omega(\hat{\gamma})$  a vektor parametrů  $\beta$  odhadneme jako

$$\hat{\beta}_F = (\mathbb{X}^\top \hat{\Omega}^{-1} \mathbb{X})^{-1} \mathbb{X}^\top \hat{\Omega}^{-1} \mathbf{Y}.$$

Prakticky probíhá odhad vektoru parametrů  $\beta$  metodou přípustných zobecněných nejmenších čtverců v modelu  $\mathbf{Y} = \mathbb{X}\beta + \boldsymbol{\varepsilon}$  následovně:

1. Odhadneme vektor parametrů  $\beta$  metodou obyčejných nejmenších čtverců, rezidua označíme  $e_1, \dots, e_n$ .
2. Z reziduí  $e_1, \dots, e_n$  spočteme  $\hat{\gamma}$ .
3. Odhad  $\hat{\gamma}$  použijeme k odhadu  $\hat{\Omega} = \Omega(\hat{\gamma})$  a následně k odhadu  $\hat{\beta}_F$ .

Případně můžeme kroky 2. – 3. iterovat.

### 1.3 Dvoustupňový odhad metodou nejmenších čtverců

Uvažujme lineární regresní model

$$\mathbf{Y} = \mathbb{X}\beta + \boldsymbol{\varepsilon},$$

kde dimenze matice modelu  $\mathbb{X}$  jsou  $n \times k$ . Předpokládejme, že v tomto modelu platí  $\mathbf{E}\varepsilon_i = 0$ , ale neplatí předpoklad (PLR1), tedy rezidua jsou korelovaná s regresory,  $\mathbf{E}[\mathbf{X}_i \varepsilon_i] \neq 0$ . Jelikož neplatí základní předpoklad lineárního regresního modelu, nemůžeme vektor parametrů  $\beta$  odhadnout metodou nejmenších čtverců, takový odhad by byl vychýlený a mohl by být nekonzistentní, viz konec části 1.1.

Nechť jsou k dispozici instrumentální proměnné  $Z_{i1}, \dots, Z_{iq}$  nekorelované s  $\varepsilon_i$ , ale korelované s  $X_{i1}, \dots, X_{ik}$ ,  $i = 1, \dots, n$ . Je-li  $X_{ij}$  nekorelované s  $\varepsilon_i$ , zařadíme jej mezi instrumenty, speciálně absolutní člen, byl-li zahrnut v modelu.

Označíme

$$\mathbf{Z}_i = \begin{pmatrix} Z_{i1} \\ \vdots \\ Z_{iq} \end{pmatrix}, \quad \mathbf{X}_i = \begin{pmatrix} X_{i1} \\ \vdots \\ X_{ik} \end{pmatrix}, \quad i = 1, \dots, n, \quad \mathbb{Z} = \begin{bmatrix} \mathbf{Z}_1^\top \\ \mathbf{Z}_2^\top \\ \vdots \\ \mathbf{Z}_n^\top \end{bmatrix}, \quad \mathbb{X} = \begin{bmatrix} \mathbf{X}_1^\top \\ \mathbf{X}_2^\top \\ \vdots \\ \mathbf{X}_n^\top \end{bmatrix}.$$

Předpokládáme nekorelovanost instrumentů a náhodných chyb,  $\mathbf{E}[\mathbf{Z}_i \varepsilon_i] = 0$ ,  $i = 1, \dots, n$ .

Dvoustupňový odhad metodou nejmenších čtverců (angl. two-stage least squares) probíhá následovně:

1. stupeň: Pro každý sloupec matice  $\mathbb{X}$  uvažujme regresní model s regresory  $\mathbb{Z}$ . Předpokládáme  $P(\text{rank}(\mathbb{Z}) = q) = 1$ . Dostaneme tak vyrovnané hodnoty, které uspořádáme do matice  $\hat{\mathbb{X}}$  s dimenzemi  $n \times k$ ,

$$\hat{\mathbb{X}} = \mathbb{Z} (\mathbb{Z}^\top \mathbb{Z})^{-1} \mathbb{Z}^\top \mathbb{X}.$$

2. stupeň: Metodou obyčejných nejmenších čtverců odhadneme model

$$\mathbf{Y} = \hat{\mathbb{X}} \boldsymbol{\beta} + \boldsymbol{\varepsilon}_{\text{2SLS}}.$$

Pro jeho plnou hodnost předpokládáme  $q \geq k$ . Dvoustupňový odhad vektoru parametrů  $\boldsymbol{\beta}$  je

$$\hat{\boldsymbol{\beta}}_{\text{2SLS}} = (\hat{\mathbb{X}}^\top \hat{\mathbb{X}})^{-1} \hat{\mathbb{X}}^\top \mathbf{Y} = (\mathbb{X}^\top \mathbb{Z} (\mathbb{Z}^\top \mathbb{Z})^{-1} \mathbb{Z}^\top \mathbb{X})^{-1} \mathbb{X}^\top \mathbb{Z} (\mathbb{Z}^\top \mathbb{Z})^{-1} \mathbb{Z}^\top \mathbf{Y}.$$

Speciálně, pokud  $q = k$ , tedy  $\mathbb{X}^\top \mathbb{Z}$  je čtvercová matice s hodností  $k$ , tedy existuje  $(\mathbb{X}^\top \mathbb{Z})^{-1}$ , můžeme výraz pro  $\hat{\boldsymbol{\beta}}_{\text{2SLS}}$  dále upravit a dostaneme odhad

$$\hat{\boldsymbol{\beta}}_{\text{IV}} = (\mathbb{Z}^\top \mathbb{X})^{-1} \mathbb{Z}^\top \mathbf{Y}.$$

Za dodatečných předpokladů o momentech a podmíněných momентах je dvoustupňový odhad metodou nejmenších čtverců konzistentní a asymptoticky normální,

$$\sqrt{n} (\hat{\boldsymbol{\beta}}_{\text{2SLS}} - \boldsymbol{\beta}) \xrightarrow[n \rightarrow \infty]{} N(0, V_{\text{2SLS}}),$$

viz věta 5.3 a odvození před ní v knize Greene (2003) nebo také viz věty 5.1 a 5.2 v knize Wooldridge (2010). Asymptotickou varianční matici můžeme odhadnout pomocí

$$\hat{V}_{\text{2SLS}} = \hat{\sigma}_{\text{2SLS}}^2 \left( \frac{1}{n} \cdot \hat{\mathbb{X}}^\top \hat{\mathbb{X}} \right)^{-1},$$

kde

$$\hat{\sigma}_{\text{2SLS}}^2 = \frac{1}{n} \sum_{i=1}^n (Y_i - \mathbf{X}_i^\top \hat{\boldsymbol{\beta}}_{\text{2SLS}})^2.$$

Konstrukce příslušných  $t$ -statistik pro testování významnosti  $\beta_j$ ,  $j$ -té složky  $\boldsymbol{\beta}$ , je následně již přímočará.

*Poznámka 1.* V případě, že  $\text{var}[\boldsymbol{\varepsilon} | \mathbb{X}] = \sigma^2 \boldsymbol{\Omega}$ , můžeme odhad pomocí instrumentálních proměnných vylepšit podobným postupem jako při odhadu metodou zobecněných nejmenších čtverců, viz 1.2. Nejprve tedy provedeme transformaci modelu pomocí matice  $\boldsymbol{\Omega}^{-\frac{1}{2}}$ , címž dostaneme model

$$\boldsymbol{\Omega}^{-\frac{1}{2}} \mathbf{Y} = \boldsymbol{\Omega}^{-\frac{1}{2}} \mathbb{X} \boldsymbol{\beta} + \boldsymbol{\Omega}^{-\frac{1}{2}} \boldsymbol{\varepsilon},$$

který odhadneme dvoustupňovým odhadem pomocí transformovaných instrumentů  $\boldsymbol{\Omega}^{-\frac{1}{2}} \mathbb{Z}$ , jak uvedl v kapitole 15.6 Wooldridge (2013).

## 1.4 Zobecněná metoda momentů

Zobecněná metoda momentů kombinuje pozorovaná data s informacemi v populačních momentových podmínkách. Odhadujeme pomocí ní parametry modelu, je-li jejich počet menší než počet podmínek. Zobecněná metoda momentů je robustnější než odhady metodou maximální věrohodnosti a vyžaduje méně informací. Tato kapitola je zpracována podle článku Zsohar (2012).

Nechť  $X_1, \dots, X_n$  jsou pozorování, ze kterých chceme odhadnout vektor parametrů  $\theta \in \Theta \subseteq \mathbb{R}^p$  se skutečnou hodnotou  $\theta_0$ . Nechť  $f(X_i, \theta): \mathbb{R}^p \rightarrow \mathbb{R}^l$  je spojitě diferencovatelná funkce  $\theta$ . Nechť  $\mathbf{E}[f(X_i, \theta)]$  existuje a je konečná pro všechna  $i = 1, \dots, n$  a všechna  $\theta$  a nechť tvoří množinu  $l$  populačních momentů. Populační momentové podmínky pak jsou

$$\mathbf{E}[f(X_i, \theta_0)] = 0 \quad \forall i = 1, \dots, n.$$

Populačním momentům odpovídají výběrové

$$f_n(\theta) = \frac{1}{n} \sum_{i=1}^n f(X_i, \theta).$$

Pro  $p = l$  řešíme  $f_n(\theta) = 0$ , pro  $l > p$  však tato rovnice nemá řešení, což je důvodem, proč zavádíme odhad zobecněnou metodou momentů. Můžeme např. minimalizovat  $\|f_n(\theta)\|^2$  nebo definovat obecnější kriteriální funkci.

Předpokládejme, že  $\{W_n\}_{n=1}^\infty$  je posloupnost matic vah,  $W_n \xrightarrow[n \rightarrow \infty]{P} W$ ,  $W$  je konečná pozitivně definitní matice. Definujeme kriteriální funkci

$$Q_n(\theta) = f_n(\theta)^\top W_n f_n(\theta).$$

Pak odhad parametru  $\theta_0$  zobecněnou metodou momentů je definován jako

$$\hat{\theta} = \underset{\theta \in \Theta}{\operatorname{argmin}} Q_n(\theta).$$

**Věta 3.** *Předpokládejme, že*

1. *parametry jsou identifikované, tedy že  $l \geq p$ , máme alespoň  $p$  funkčně nezávislých momentových podmínek a parametry jsou jednoznačně určené, tedy že  $\theta_0$  je jediný vektor parametrů, který splňuje populační momentové podmínky.*
2. *Výběrové momenty konvergují po složkách  $1, \dots, l$  stejnomořně v pravděpodobnosti pro  $n \rightarrow \infty$  k jejich teoretickým středním hodnotám pro každé  $\theta \in \Theta$ ,*

$$\sup_{\theta \in \Theta} \left| \frac{1}{n} \sum_{i=1}^n f_j(X_i, \theta) - \frac{1}{n} \sum_{i=1}^n \mathbf{E}[f_j(X_i, \theta)] \right| \xrightarrow[n \rightarrow \infty]{P} 0 \quad \forall j = 1, \dots, l,$$

kde  $f_j(X_i, \theta)$  značí  $j$ -tou složku  $f(X_i, \theta)$ .

3. *Existuje matice  $F$  taková, že platí*

$$\frac{1}{\sqrt{n}} \sum_{i=1}^n f(X_i, \theta_0) \xrightarrow[n \rightarrow \infty]{d} N(0, F).$$

4.  $f(x, \theta)$  je spojitě diferencovatelná podle  $\theta$  pro každé  $\theta \in \Theta$  a každé  $x$  z nosičů  $X_1, \dots, X_n$ . Označme

$$G(\theta) = E \left[ \frac{\partial f(X_i, \theta)}{\partial \theta} \right].$$

Předpokládejme, že existují konečné střední hodnoty prvních parciálních derivací  $f(X_i, \theta)$  podle  $\theta$  v bodě  $\theta_0$ ,  $G(\theta_0) < \infty$ , a předpokládejme, že  $G(\theta_0)$  je hodnota  $p$ .

Pak platí, že odhad  $\hat{\theta}$  parametru  $\theta_0$  zobecněnou metodou momentů je konzistentní a asymptoticky normální,

$$\sqrt{n} (\hat{\theta} - \theta_0) \xrightarrow[n \rightarrow \infty]{d} N(0, V_{GMM})$$

s asymptotickou varianční maticí

$$V_{GMM} = [G(\theta_0)^\top W G(\theta_0)]^{-1} G(\theta_0)^\top W F W G(\theta_0) [G(\theta_0)^\top W G(\theta_0)]^{-1}.$$

*Důkaz.* Viz důkaz věty 1.2 v knize Mátyás (1999).  $\square$

*Poznámka 2.* V případě, že  $X_1, \dots, X_n$  je náhodný výběr, můžeme 2. a 3. předpoklad věty 3 změnit na předpoklady konečnosti střední hodnoty  $\mathbf{E}[f(X_1, \theta)]$  a konečnosti  $\text{var}[f(X_1, \theta)] = F$ . Předpoklady věty 3 pak z těchto nahrazených předpokladů dostaneme použitím zákona velkých čísel a centrální limitní věty. Pro nezávislé, stejně rozdelené  $X_1, \dots, X_n$  je  $f_n(\theta)$  nestranný a konzistentní odhad populačních momentů.

Je-li  $W_n = F^{-1}$ , je odhad zobecněnou metodou momentů asymptoticky eficientní mezi odhady, které využívají stejné vlastnosti a předpoklady jako zobecněná metoda momentů, viz kapitola 1.3.3 knihy Mátyás (1999). Např. odhad metodou maximální věrohodnosti využívá znalost celého rozdělení, tedy s tímto odhadem nelze, při porovnání asymptotických rozptylů, odhad zobecněnou metodou momentů srovnávat.

Prakticky odhad pro  $W_n = F^{-1}$  probíhá ve dvou krocích.

- Nejprve uvažujeme  $W_n = I_n$  a minimalizujeme  $Q_n(\theta) = f_n(\theta)^\top f_n(\theta)$  přes možná  $\theta$ . Dostaneme konzistentní odhad  $\hat{\theta}$ , pomocí nějž odhadneme matici  $F$ , odhad označme  $\hat{F}$ . Např. jsou-li  $X_1, \dots, X_n$  nezávislé stejně rozdelené, pak použijeme výběrovou varianční matici,

$$\hat{F} = \frac{1}{n} \sum_{i=1}^n f(X_i, \hat{\theta}) f(X_i, \hat{\theta})^\top.$$

- Pak minimalizujeme  $Q_n(\theta) = f_n(\theta)^\top \hat{F}^{-1} f_n(\theta)$ . Argument minima je hledaným odhadem parametru  $\theta_0$ .

Tento postup lze iterovat.

*Poznámka 3.* Odhad matice  $F$  je vlastně  $\hat{F} = n \cdot \widehat{\text{var}} f_n$ , přičemž konstanta  $n$  nemá na minimalizaci kriteriální funkce vliv. V případě, že  $X_1, \dots, X_n$  nejsou nezávislé stejně rozdelené, pak můžeme namísto odhadu uvedeného v kroku 1 vyjádřit  $\text{var} f_n$  a část parametricky odhadnout.

*Příklad 1* (Lineární regresní model). Uvažujme lineární regresní model z kapitoly 1.1. Pak odhad  $\hat{\beta}$  parametru  $\beta$  (s dimenzí  $k \times 1$ ) metodou nejmenších čtverců můžeme ekvivalentně přepsat jako odhad metodou momentů, což je speciální případ zobecněné metody momentů, kdy počet podmínek je roven počtu odhadovaných parametrů. Zde bude  $p = k$ ,  $l = k$ ,  $\theta = \beta$ .

Základním předpokladem lineárního modelu  $Y_i = \mathbf{X}_i^\top \beta + \varepsilon_i$ ,  $i = 1, \dots, n$ , je  $\mathbf{E}[\varepsilon_i \mathbf{X}_i] = 0$ . Za  $\varepsilon_i$  dosadíme  $Y_i - \mathbf{X}_i^\top \beta$  a dostaneme momentovou podmínku  $\mathbf{E}[(Y_i - \mathbf{X}_i^\top \beta) \mathbf{X}_i] = 0$  s  $f((\mathbf{X}_i, Y_i), \beta) = (Y_i - \mathbf{X}_i^\top \beta) \mathbf{X}_i$ . Tedy výběrová populační momentová podmínka je

$$\frac{1}{n} \sum_{i=1}^n \mathbf{X}_i (Y_i - \mathbf{X}_i^\top \beta) = 0.$$

Po jednoduchém přepsání do maticového tvaru můžeme vidět, že odhad vektoru parametrů  $\beta$  je stejný jako odhad metodou obyčejných nejmenších čtverců v části 1.1.

*Příklad 2* (Instrumentální proměnné). Uvažujme lineární regresní model  $\mathbf{Y} = \mathbb{X}\beta + \varepsilon$ . Předpokládejme, že v tomto modelu platí  $\mathbf{E}\varepsilon_i = 0$ , ale rezidua jsou korelovaná s regresory,  $\mathbf{E}[\mathbf{X}_i \varepsilon_i] \neq 0$ . Použijeme proto instrumentální proměnné  $\mathbf{Z}_i$ , nyní předpokládejme, že jich je stejný počet jako původních regresorů. Chyby musí být nekorelované s instrumentálními proměnnými, což dává populační momentové podmínky  $\mathbf{E}[\mathbf{Z}_i \varepsilon_i] = 0$ ,  $i, \dots, n$ , které můžeme pomocí vyjádření chybových členů původního modelu přepsat jako  $\mathbf{E}[\mathbf{Z}_i (Y_i - \mathbf{X}_i^\top \beta)] = 0$ . Příslušná výběrová populační podmínka je

$$\frac{1}{n} \sum_{i=1}^n \mathbf{Z}_i (Y_i - \mathbf{X}_i^\top \beta) = 0.$$

Tuto rovnici můžeme dále upravit na  $\sum_{i=1}^n \mathbf{Z}_i Y_i = \sum_{i=1}^n (\mathbf{Z}_i \mathbf{X}_i^\top) \beta$  a zapsat maticově,  $\mathbb{Z}^\top \mathbf{Y} = \mathbb{Z}^\top \mathbb{X}\beta$ . Dostali jsme tak stejný odhad vektoru parametrů  $\beta$  jako v části 1.3.

*Příklad 3* (Zobecněný lineární regresní model). Uvažujme lineární regresní model  $\mathbf{Y} = \mathbb{X}\beta + \varepsilon$ , ve kterém platí předpoklad (PLR1), ale neplatí předpoklad (PLR2), nýbrž  $\text{var}[\varepsilon|\mathbb{X}] = \sigma^2 \Omega$ . Stejně jako při odhadu metodou zobecněných nejmenších čtverců v části 1.2 nejprve provedeme transformaci modelu pomocí matice  $\Omega^{-\frac{1}{2}}$ , označíme  $\mathbf{Y}^* = \Omega^{-\frac{1}{2}} \mathbf{Y}$ ,  $\mathbb{X}^* = \Omega^{-\frac{1}{2}} \mathbb{X}$  a  $\varepsilon^* = \Omega^{-\frac{1}{2}} \varepsilon$ . V modelu  $\mathbf{Y}^* = \mathbb{X}^* \beta + \varepsilon^*$  platí předpoklady (PLR1) a (PLR2). Předpoklad (PLR1) využijeme k formulaci momentových podmínek  $\mathbf{E}[\mathbf{X}_i^* \varepsilon_i^*] = \mathbf{E}[\mathbf{X}_i^* (Y_i^* - \mathbf{X}_i^{*\top} \beta)] = 0$ ,  $i, \dots, n$ , k nim příslušná výběrová populační podmínka je

$$\frac{1}{n} \sum_{i=1}^n \mathbf{X}_i^* (Y_i^* - \mathbf{X}_i^{*\top} \beta) = 0.$$

Tuto rovnici upravíme a zapíšeme maticově,  $\mathbb{X}^{*\top} \mathbf{Y}^* = \mathbb{X}^{*\top} \mathbb{X}^* \beta$ . Dostali jsme tak stejný odhad vektoru parametrů  $\beta$  jako v části 1.2.

## 1.5 Souvislost mezi instrumentálními proměnnými a zobecněnou metodou momentů

Stejně jako v části 1.3 uvažujme lineární regresní model

$$\mathbf{Y} = \mathbb{X}\boldsymbol{\beta} + \boldsymbol{\varepsilon},$$

kde dimenze matice modelu  $\mathbb{X}$  jsou  $n \times k$ . Předpokládejme, že v tomto modelu platí  $\mathbf{E}\boldsymbol{\varepsilon}_i = 0$ , ale rezidua jsou korelovaná s regresory,  $\mathbf{E}[\mathbf{X}_i\boldsymbol{\varepsilon}_i] \neq 0$ . Dále předpokládejme, že  $\mathbf{E}[\boldsymbol{\varepsilon}^\top \boldsymbol{\varepsilon} | \mathbb{Z}] = \sigma^2 \boldsymbol{\Omega}$ , kde  $\boldsymbol{\Omega}$  je známá regulární matici.

Problém korelovanosti regresorů a chyb umíme vyřešit pomocí instrumentálních proměnných  $\mathbf{Z}_i$  dimenze  $q$ . V případě, že je  $k = q$ , je model identifikovaný a odhad vektoru parametrů  $\boldsymbol{\beta}$  je stejný při odhadu pomocí instrumentálních proměnných a při odhadu (zobecněnou) metodou momentů, viz *příklad 2*. V případě  $q > k$  je model přeidentifikovaný. Můžeme použít dvoukrokový odhad z části 1.3 nebo použijeme zobecněnou metodu momentů, viz 1.4, a minimalizujeme kriteriální funkci

$$\begin{aligned} Q_n &= \left[ \frac{1}{n} \sum_{i=1}^n (Y_i - \mathbf{X}_i^\top \boldsymbol{\beta}) \mathbf{Z}_i \right]^\top W_n \left[ \frac{1}{n} \sum_{i=1}^n (Y_i - \mathbf{X}_i^\top \boldsymbol{\beta}) \mathbf{Z}_i \right] = \\ &= \left[ \frac{1}{n} (\mathbb{Z}^\top \mathbf{Y} - \mathbb{Z}^\top \mathbb{X}\boldsymbol{\beta}) \right]^\top W_n \left[ \frac{1}{n} (\mathbb{Z}^\top \mathbf{Y} - \mathbb{Z}^\top \mathbb{X}\boldsymbol{\beta}) \right]. \end{aligned}$$

Derivaci kvadratické formy  $Q_n$  v  $\boldsymbol{\beta}$  podle vektoru  $\boldsymbol{\beta}$

$$\frac{\partial Q_n}{\partial \boldsymbol{\beta}} = \frac{1}{n^2} 2 \mathbb{X}^\top \mathbb{Z} W_n (\mathbb{Z}^\top \mathbf{Y} - \mathbb{Z}^\top \mathbb{X}\boldsymbol{\beta})$$

položíme rovnou 0 a dostaneme odhad

$$\hat{\boldsymbol{\beta}} = (\mathbb{X}^\top \mathbb{Z} W_n \mathbb{Z}^\top \mathbb{X})^{-1} \mathbb{X}^\top \mathbb{Z} W_n \mathbb{Z}^\top \mathbf{Y}.$$

V případě, že je model homoskedastický, tedy matice  $\boldsymbol{\Omega}$  je jednotková matice, tak odhad asymptotické varianční matice  $F$  dostaneme z platnosti

$$\text{var} [\mathbb{Z}^\top (\mathbf{Y} - \mathbb{X}\boldsymbol{\beta}) | \mathbb{Z}] = \mathbb{Z}^\top \sigma^2 \boldsymbol{\Omega} \mathbb{Z} = \sigma^2 \mathbb{Z}^\top \mathbb{Z},$$

a tedy

$$\hat{F} \propto \mathbb{Z}^\top \boldsymbol{\Omega} \mathbb{Z} = \mathbb{Z}^\top \mathbb{Z},$$

kde  $\propto$  značí rovnost až na konstantu. Jelikož kladná konstanta nemá na minimizaci kriteriální funkce vliv, eficientní odhad dostaneme volbou matice vah

$$W_n = (\mathbb{Z}^\top \mathbb{Z})^{-1},$$

tento odhad  $\boldsymbol{\beta}$  je stejný jako odhad  $\hat{\boldsymbol{\beta}}_{2SLS}$  z části 1.3.

Pro obecnou  $\boldsymbol{\Omega}$  vychází

$$\text{var} [\mathbb{Z}^\top (\mathbf{Y} - \mathbb{X}\boldsymbol{\beta}) | \mathbb{Z}] = \mathbb{Z}^\top \sigma^2 \boldsymbol{\Omega} \mathbb{Z},$$

abychom dostali eficientní odhad, jako matici vah bereme

$$W_n = (\mathbb{Z}^\top \boldsymbol{\Omega} \mathbb{Z})^{-1}$$

a tedy minimalizujeme

$$[\mathbb{Z}^\top (\mathbf{Y} - \mathbb{X}\boldsymbol{\beta})]^\top (\mathbb{Z}^\top \boldsymbol{\Omega} \mathbb{Z})^{-1} [\mathbb{Z}^\top (\mathbf{Y} - \mathbb{X}\boldsymbol{\beta})].$$

Také můžeme nejprve provést transformaci modelu pomocí matice  $\boldsymbol{\Omega}^{-\frac{1}{2}}$ , viz *poznámka 1*, populační momentové podmínky pak jsou

$$\mathbb{Z}^{*\top} (\mathbf{Y}^* - \mathbb{X}^* \boldsymbol{\beta}) = 0.$$

Pak

$$\mathbf{var} [\mathbb{Z}^{*\top} (\mathbf{Y}^* - \mathbb{X}^* \boldsymbol{\beta}) | \mathbb{Z}] = \mathbb{Z}^{*\top} \sigma^2 \mathbb{I}_n \mathbb{Z}^* = \mathbb{Z}^\top \boldsymbol{\Omega}^{-\frac{1}{2}} \sigma^2 \mathbb{I}_n \boldsymbol{\Omega}^{-\frac{1}{2}} \mathbb{Z} = \sigma^2 \mathbb{Z}^\top \boldsymbol{\Omega}^{-1} \mathbb{Z}.$$

Vezmeme-li jako matici vah  $\hat{F}^{-1}$ , minimalizujeme

$$\begin{aligned} & [\mathbb{Z}^{*\top} (\mathbf{Y}^* - \mathbb{X}^* \boldsymbol{\beta})]^\top (\mathbb{Z}^{*\top} \mathbb{Z}^*)^{-1} [\mathbb{Z}^{*\top} (\mathbf{Y}^* - \mathbb{X}^* \boldsymbol{\beta})] = \\ &= [\mathbb{Z}^\top \boldsymbol{\Omega}^{-\frac{1}{2}} (\boldsymbol{\Omega}^{-\frac{1}{2}} (\mathbf{Y} - \mathbb{X}\boldsymbol{\beta}))]^\top (\mathbb{Z}^\top \boldsymbol{\Omega}^{-\frac{1}{2}} \boldsymbol{\Omega}^{-\frac{1}{2}} \mathbb{Z})^{-1} [\mathbb{Z}^\top \boldsymbol{\Omega}^{-\frac{1}{2}} (\boldsymbol{\Omega}^{-\frac{1}{2}} (\mathbf{Y} - \mathbb{X}\boldsymbol{\beta}))] = \\ &= [\mathbb{Z}^\top \boldsymbol{\Omega}^{-1} (\mathbf{Y} - \mathbb{X}\boldsymbol{\beta})]^\top (\mathbb{Z}^\top \boldsymbol{\Omega}^{-1} \mathbb{Z})^{-1} [\mathbb{Z}^\top \boldsymbol{\Omega}^{-1} (\mathbf{Y} - \mathbb{X}\boldsymbol{\beta})]. \end{aligned}$$

## 2. Panelová data

Panelová data používáme pro modelování  $n$  subjektů v  $T$  časech. Zaznamenáváme vždy odezvu a regresory. V této práci budeme vždy předpokládat, že jsou data balancovaná, tedy že měříme všechny subjekty ve všech časech.

Příkladem panelových dat může být sledování příjmů několika lidí v čase, kde mezi regresory můžeme uvažovat nejvyšší dosažené vzdělání, pohlaví, sektor, ve kterém pracují atd.

Dále budeme předpokládat, že subjekty se navzájem neovlivňují a že jsou náhodně vybrané.

Předpokládejme model ve tvaru

$$Y_{it} = \alpha + \mathbf{X}_{it}^\top \boldsymbol{\beta} + u_{it}, \quad (2.1)$$

kde  $Y_{it}$  je odezva,  $\mathbf{X}_{it}$  jsou regresory bez absolutního člena s dimenzí  $k \times 1$  a  $u_{it}$  jsou chybové členy, vše pro subjekty  $i = 1, \dots, n$  a měření v časech  $t = 1, \dots, T$ . Parametr  $\alpha$  je absolutní člen,  $\boldsymbol{\beta}$  o rozměrech  $k \times 1$  je vektor parametrů. Pozorování  $(\mathbf{X}_{it}^\top, Y_{it})$  pro různá  $i$  jsou navzájem nezávislá. Model vychází z klasického regresního modelu, který je pro úplnost uveden v kapitole 1.

Předpokládejme, že chybový člen můžeme zapsat jako součet

$$u_{it} = \mu_i + \nu_{it},$$

kde  $\mu_i$  je (nepozorovatelný) individuální efekt  $i$ -tého subjektu a  $\nu_{it}$  je zbytkový chybový člen. Individuální efekt v sobě zahrnuje informaci, jak moc se liší neměřené charakteristiky neměnné v čase od jejich střední hodnoty a umožní modelovat heterogenitu subjektů. Zda je individuální efekt pevný, nebo náhodný, záleží na zvoleném přístupu k panelovým datům.

Existují tři přístupy k modelování panelových dat, které jsou zvláštními případy modelu (2.1). V sekci 2.1 představíme model, který zanedbává, že více pozorování v čase patří k jednomu subjektu. V sekci 2.2 představíme model, ve kterém považujeme individuální efekt  $\mu_i$  za fixní a v sekci 2.3 za náhodný.

*Poznámka 4.* Kromě regresorů  $\mathbf{X}_{it}$  mohou odezvu ovlivňovat i nepozorovatelné  $\mathbf{Z}_i$ , které nejsme schopni změřit, ale víme, že jsou v čase neměnné. Celý model by měl předpis  $Y_{it} = \mathbf{X}_{it}^\top \boldsymbol{\beta} + \mathbf{Z}_i^\top \boldsymbol{\gamma} + \nu_{it}$ , kde  $\boldsymbol{\gamma}$  je vektor parametrů. Nepozorovatelný individuální efekt  $i$ -tého subjektu  $\mu_i$  tak můžeme chápát jako

$$\mu_i = \mathbf{Z}_i^\top \boldsymbol{\gamma} - \mathbf{E}(\mathbf{Z}_i^\top \boldsymbol{\gamma}).$$

Předpokládáme, že mezi regresory nejsou takové veličiny, pro které existuje jejich netriviální lineární kombinace rovná konstantě skoro jistě. Proto budeme předpokládat, že všechny uvažované modely mají plnou hodnost.

Pokud nebude řečeno jinak, budeme v této kapitole i v kapitole o dynamických modelech pro panelová data předpokládat, že počet subjektů  $n \rightarrow \infty$  a počet měření v čase  $T$  je fixní. Rovněž asymptotické vlastnosti budou uváděny pro  $T$  fixní a  $n \rightarrow \infty$ .

Tato kapitola o panelových datech čerpá z druhé kapitoly knihy autora Baltagi (2021), sedmé kapitoly knihy Wooldridge (2010) a čtrnácté kapitoly knihy Wooldridge (2013).

## 2.1 Společný model

Společný (angl. pooled) model

$$Y_{it} = \alpha + \mathbf{X}_{it}^\top \boldsymbol{\beta} + \nu_{it} \quad (2.2)$$

neumožňuje modelovat heterogenitu subjektů, jelikož neobsahuje nepozorovatelné individuální efekty subjektů.

Model lze zapsat maticově

$$\mathbf{Y} = \mathbb{X}_S \cdot \begin{pmatrix} \alpha \\ \boldsymbol{\beta} \end{pmatrix} + \boldsymbol{\nu},$$

kde

$$\mathbf{Y} = \begin{bmatrix} Y_{11} \\ Y_{12} \\ \vdots \\ Y_{1T} \\ Y_{21} \\ \vdots \\ Y_{2T} \\ \vdots \\ Y_{n1} \\ \vdots \\ Y_{nT} \end{bmatrix}, \quad \mathbb{X}_S = \begin{bmatrix} 1 & \mathbf{X}_{11}^\top \\ 1 & \mathbf{X}_{12}^\top \\ \vdots & \vdots \\ 1 & \mathbf{X}_{1T}^\top \\ 1 & \mathbf{X}_{21}^\top \\ \vdots & \vdots \\ 1 & \mathbf{X}_{2T}^\top \\ \vdots & \vdots \\ 1 & \mathbf{X}_{n1}^\top \\ \vdots & \vdots \\ 1 & \mathbf{X}_{nT}^\top \end{bmatrix}, \quad \boldsymbol{\nu} = \begin{bmatrix} \nu_{11} \\ \nu_{12} \\ \vdots \\ \nu_{1T} \\ \nu_{21} \\ \vdots \\ \nu_{2T} \\ \vdots \\ \nu_{n1} \\ \vdots \\ \nu_{nT} \end{bmatrix}.$$

Označme regresory  $i$ -tého subjektu  $\mathbf{X}_i$ ,

$$\mathbf{X}_i = \begin{bmatrix} \mathbf{X}_{i1}^\top \\ \mathbf{X}_{i2}^\top \\ \vdots \\ \mathbf{X}_{iT}^\top \end{bmatrix}.$$

Odhad parametrů můžeme vyjádřit jako

$$\begin{pmatrix} \hat{\alpha} \\ \hat{\boldsymbol{\beta}} \end{pmatrix} = (\mathbb{X}_S^\top \mathbb{X}_S)^{-1} \mathbb{X}_S^\top \mathbf{Y}.$$

**Tvrzení 4.** Pro model (2.2) je za předpokladu

$$(P1) \mathbf{E}[\nu_{it} | \mathbf{X}_i] = 0 \quad \forall i = 1, \dots, n, t = 1, \dots, T$$

odhad  $(\hat{\alpha}^\top, \hat{\boldsymbol{\beta}}^\top)^\top$  vektoru parametrů  $(\alpha^\top, \boldsymbol{\beta}^\top)^\top$  metodou obyčejných nejmenších čtverců nestranný.

Platí-li navíc (PLR3) a (PLR4) z tvrzení 2 s maticí modelu  $\mathbb{X}_S$  a chybouvými členy  $\boldsymbol{\nu}$ , je odhad  $(\hat{\alpha}^\top, \hat{\boldsymbol{\beta}}^\top)^\top$  vektoru parametrů  $(\alpha^\top, \boldsymbol{\beta}^\top)^\top$  metodou obyčejných nejmenších čtverců konzistentní pro  $n \rightarrow \infty$ .

Platí-li navíc

$$(P2) \mathbf{cov}[\nu_{it}, \nu_{is} | \mathbf{X}_i] = 0 \quad \forall t \neq s, i = 1, \dots, n; t, s = 1, \dots, T,$$

$$\mathbf{var}[\nu_{it} | \mathbf{X}_i] = \sigma_\nu^2 \quad \forall i = 1, \dots, n, t = 1, \dots, T$$

a (PLR5) z tvrzení 2 s  $\mathbb{X}_S$  a  $\boldsymbol{\nu}$ , jsou odhady směrodatných chyb metodou nejmenších čtverců asymptoticky platné a odhad vektoru parametrů  $(\alpha^\top, \boldsymbol{\beta}^\top)^\top$  metodou obyčejných nejmenších čtverců je nejlepší lineární nestranný odhad.

*Důkaz.* Plyne z vlastností pro lineární regresní model, viz část 1.1.  $\square$

## 2.2 Model s fixními efekty

V modelu s fixními efekty považujeme  $\mu_i$  za fixní efekt subjektu, odhadujeme pro každý subjekt absolutní člen  $\alpha_i = \alpha + \mu_i$ . Model můžeme zapsat ve tvaru

$$Y_{it} = \alpha_i + \mathbf{X}_{it}^\top \boldsymbol{\beta} + \nu_{it}. \quad (2.3)$$

Takový model má  $n + k$  parametrů.

Označíme

$$\mathbf{X}_i = \begin{bmatrix} \mathbf{X}_{i1}^\top \\ \mathbf{X}_{i2}^\top \\ \vdots \\ \mathbf{X}_{iT}^\top \end{bmatrix}$$

matice regresorů pro  $i$ -tého subjektu. Model můžeme zapsat ve tvaru

$$\mathbf{Y} = \mathbb{W} \cdot \begin{pmatrix} \alpha_1 \\ \vdots \\ \alpha_n \\ \boldsymbol{\beta} \end{pmatrix} + \boldsymbol{\nu},$$

kde  $\mathbf{Y}$  a  $\boldsymbol{\nu}$  jsou stejné jako v kapitole 2.1 a kde

$$\mathbb{W} = \begin{pmatrix} \mathbf{1}_T & \mathbf{0} & \dots & \mathbf{0} & \mathbf{X}_1 \\ \mathbf{0} & \mathbf{1}_T & \dots & \mathbf{0} & \mathbf{X}_2 \\ \vdots & & \ddots & \vdots & \vdots \\ \mathbf{0} & \dots & \mathbf{0} & \mathbf{1}_T & \mathbf{X}_n \end{pmatrix}.$$

Platí-li předpoklad (P1) s maticí modelu  $\mathbb{W}$  a chybovými členy  $\boldsymbol{\nu}$ , jsou odhady  $\hat{\alpha}_1, \dots, \hat{\alpha}_n, \hat{\boldsymbol{\beta}}$  parametrů  $\alpha_i$ ,  $i = 1, \dots, n$  a vektoru parametrů  $\boldsymbol{\beta}$  nestranné. Přidáme-li předpoklad (P2), je odhad  $\hat{\boldsymbol{\beta}}$  metodou nejmenších čtverců nejlepší lineární nestranný odhad.

Lze ukázat, že platí-li navíc předpoklady (PLR3), (PLR4) a (PLR5) z věty 2 pro  $n \rightarrow \infty$ , je odhad  $\hat{\boldsymbol{\beta}}$  parametrů  $\boldsymbol{\beta}$  konzistentní a asymptoticky normální. Pro konzistenci odhadu  $\hat{\alpha}_i$  parametrů  $\alpha_i$ ,  $i = 1, \dots, n$  potřebujeme  $T \rightarrow \infty$ . Viz kapitola 2.2 knihy Baltagi (2021).

Při odhadu metodou obyčejných nejmenších čtverců by v případě, že je  $n$  velké, mohlo dojít k numerickým problémům při výpočtu  $(\mathbb{W}^\top \mathbb{W})^{-1}$ , což potřebujeme při výpočtu odhadu

$$\begin{pmatrix} \hat{\alpha}_1 \\ \vdots \\ \hat{\alpha}_n \\ \hat{\boldsymbol{\beta}} \end{pmatrix} = (\mathbb{W}^\top \mathbb{W})^{-1} \mathbb{W}^\top \mathbf{Y}.$$

Proto můžeme postupovat tak, že pro každý subjekt spočítáme průměr odezvy

$$\bar{Y}_{i\bullet} = \frac{1}{T} \sum_{t=1}^T Y_{it},$$

a obdobně také průměr regresorů i chybových členů v čase. Tyto průměry odečteme od napozorovaných dat a dostaneme tak model

$$Y_{it} - \bar{Y}_{i\bullet} = (\mathbf{X}_{it} - \bar{\mathbf{X}}_{i\bullet})^\top \boldsymbol{\beta} + \nu_{it} - \bar{\nu}_{i\bullet}.$$

Odhad vektoru parametrů  $\boldsymbol{\beta}$  metodou obyčejných nejmenších čtverců v tomto transformovaném modelu nazveme uvnitř-skupinový (angl. within).

*Poznámka 5.* Uvnitř-skupinový odhad bude stejný jako odhad metodou obyčejných nejmenších čtverců v původním modelu, liší se však odhady směrodatných chyb. Abychom dostali odhady směrodatných chyb z původního modelu, musíme odhad směrodatných chyb z modelu s uvnitř-skupinovou transformací vynásobit členem

$$\sqrt{\frac{nT - n - k}{nT - k}},$$

viz kapitola 10.5.2 knihy Wooldridge (2013). Uvnitř-skupinový odhad navíc neumožní odhadnout parametry u regresorů neměnných v čase (např. pohlaví).

## 2.3 Model s náhodnými efekty

U modelu

$$Y_{it} = \alpha + \mathbf{X}_{it}^\top \boldsymbol{\beta} + \mu_i + \nu_{it} \quad (2.4)$$

s náhodnými efekty  $\mu_i$  lze, na rozdíl od modelu s fixními efekty, zobecnit závěry o heterogenitě na celou populaci, ze které pochází sledované subjekty. Náhodný efekt pro daný subjekt vyjadřuje, nakolik se liší neměřené charakteristiky a regresory fixní v čase od jejich střední hodnoty, viz *poznámka 4*.

Model lze zapsat maticově ve tvaru

$$\mathbf{Y} = \mathbb{X} \cdot \begin{pmatrix} \alpha \\ \boldsymbol{\beta} \end{pmatrix} + \mathbf{u},$$

kde

$$\mathbf{Y} = \begin{bmatrix} Y_{11} \\ Y_{12} \\ \vdots \\ Y_{1T} \\ Y_{21} \\ \vdots \\ Y_{2T} \\ \vdots \\ Y_{n1} \\ \vdots \\ Y_{nT} \end{bmatrix}, \quad \mathbb{X} = \begin{bmatrix} 1 & \mathbf{X}_{11}^\top \\ 1 & \mathbf{X}_{12}^\top \\ \vdots & \vdots \\ 1 & \mathbf{X}_{1T}^\top \\ 1 & \mathbf{X}_{21}^\top \\ \vdots & \vdots \\ 1 & \mathbf{X}_{2T}^\top \\ \vdots & \vdots \\ 1 & \mathbf{X}_{n1}^\top \\ \vdots & \vdots \\ 1 & \mathbf{X}_{nT}^\top \end{bmatrix}, \quad \mathbf{u} = \begin{bmatrix} u_{11} \\ u_{12} \\ \vdots \\ u_{1T} \\ u_{21} \\ \vdots \\ u_{2T} \\ \vdots \\ u_{n1} \\ \vdots \\ u_{nT} \end{bmatrix}$$

a kde  $u_{it} = \mu_i + \nu_{it}$ .

Označíme  $\mathbf{X}_i$  regresory  $i$ -tého subjektu stejně jako v částech 2.1 a 2.2.

V dalším textu budeme pracovat s předpoklady (P1) a (P2) z 2.2, pro připo-menutí (P2) říká, že  $\text{cov}[\nu_{it}, \nu_{is} | \mathbf{X}_i] = \sigma_\nu^2 \mathbf{1}[s = t] \forall i = 1, \dots, n$  a  $s, t = 1, \dots, T$ . Rovněž využijeme následující předpoklady

$$(P2N) \quad \text{cov}[\mu_i, \mu_j | \mathbf{X}_i, \mathbf{X}_j] = 0 \quad \forall i \neq j, i, j = 1, \dots, n,$$

$$(P3N) \quad \mathbf{E}[\mu_i | \mathbf{X}_i] = 0 \quad \forall i = 1, \dots, n,$$

$$(P4N) \quad \mathbf{E}[\mu_i \nu_{jt} | \mathbf{X}_i, \mathbf{X}_j] = 0 \quad \forall i, j = 1, \dots, n, t = 1, \dots, T,$$

$$(P5N) \quad \text{var}[\mu_i | \mathbf{X}_i] = \sigma_\mu^2 \quad \forall i = 1, \dots, n.$$

S využitím uvedených předpokladů platí

$$\begin{aligned} \mathbf{E}[u_{it} u_{js} | \mathbb{X}] &= \mathbf{E}[(\mu_i + \nu_{it})(\mu_j + \nu_{js}) | \mathbb{X}] = \\ &= \mathbf{E}[\mu_i \mu_j | \mathbb{X}] + \mathbf{E}[\nu_{it} \mu_j | \mathbb{X}] + \mathbf{E}[\mu_i \nu_{js} | \mathbb{X}] + \mathbf{E}[\nu_{it} \nu_{js} | \mathbb{X}] = \\ &= \sigma_\mu^2 \mathbf{1}[i = j] + \sigma_\nu^2 \mathbf{1}[i = j, s = t]. \end{aligned}$$

Označme  $\mathbf{u}_i = (u_{i1}, \dots, u_{iT})^\top$ . Na diagonále varianční matice  $\text{var}[\mathbf{u}_i | \mathbb{X}]$ , kterou budeme značit  $\Sigma$ , je tedy součet rozptylu zbytkových chybových členů a rozptylu individuálních efektů. Mimo diagonálu pak je všude rozptyl individuálních efektů, matice  $\Sigma$  má tedy následující strukturu:

$$\Sigma = \text{var}[\mathbf{u}_i | \mathbb{X}] = \begin{pmatrix} \sigma_\nu^2 + \sigma_\mu^2 & \sigma_\mu^2 & \dots & \sigma_\mu^2 \\ \sigma_\mu^2 & \sigma_\nu^2 + \sigma_\mu^2 & \dots & \sigma_\mu^2 \\ \vdots & \ddots & \ddots & \vdots \\ \sigma_\mu^2 & \dots & \sigma_\mu^2 & \sigma_\nu^2 + \sigma_\mu^2 \end{pmatrix}.$$

Varianční matice  $\text{var}[\mathbf{u} | \mathbb{X}]$ , kterou budeme značit  $\Omega$ , je pak blokově diagonální, na diagonále jsou varianční matice  $\Sigma$ , má tedy následující strukturu

$$\Omega = \text{var}[\mathbf{u} | \mathbb{X}] = \begin{pmatrix} \Sigma & \mathbf{0} & \dots & \mathbf{0} \\ \mathbf{0} & \Sigma & \dots & \mathbf{0} \\ \vdots & \ddots & \ddots & \vdots \\ \mathbf{0} & \dots & \mathbf{0} & \Sigma \end{pmatrix}. \quad (2.5)$$

Varianční matice  $\Omega$  není násobkem jednotkové matice, proto odhad metodou obyčejných nejmenších čtverců není vhodný, neboť není nejlepší a neplatí testy o složkách vektoru parametrů. Kdybychom znali přesně matici  $\Omega$ , parametry  $\beta$  bychom odhadli metodou zobecněných nejmenších čtverců, viz 1.2. V případě, že matici  $\Omega$  přesně neznáme, parametry  $\beta$  odhadneme metodou přípustných zobecněných nejmenších čtverců, viz 1.2, kde využíváme odhadu ze společného modelu (2.2) a z modelu s fixními efekty (2.3).

### 2.3.1 Odhad metodou přípustných zobecněných nejmenších čtverců

V praxi totiž obvykle rozptyl chyb specifických pro subjekt  $\sigma_\mu^2$  ani zbytkových chybových členů  $\sigma_\nu^2$  neznáme, nemůžeme tedy použít odhad metodou zobecněných

nejmenších čtverců. Používáme proto odhad metodou přípustných zobecněných nejmenších čtverců, viz 1.2, s konzistentními odhady  $\hat{\sigma}_\nu^2$ ,  $\hat{\sigma}_\mu^2$  parametrů  $\sigma_\nu^2$  a  $\sigma_\mu^2$ . Označme  $\hat{\sigma}^2$  odhad rozptylu ve společném modelu a  $e_{it}$ ,  $i = 1, \dots, n$ ,  $t = 1, \dots, T$  rezidua z modelu s fixními efekty. Pak  $\sigma_\nu^2$  můžeme odhadnout pomocí

$$\hat{\sigma}_\nu^2 = \frac{\sum_{i=1}^n \sum_{t=1}^T (e_{it} - \bar{e}_{i\bullet})^2}{nT - n - k},$$

kde  $\bar{e}_{i\bullet} = \frac{1}{T} \sum_{t=1}^T e_{it}$ . Parametr  $\sigma_\mu^2$  odhadneme jako

$$\begin{aligned}\hat{\sigma}_\mu^2 &= \hat{\sigma}^2 - \hat{\sigma}_\nu^2, \text{ je-li } \hat{\sigma}^2 - \hat{\sigma}_\nu^2 \geq 0, \\ &= 0, \text{ je-li } \hat{\sigma}^2 - \hat{\sigma}_\nu^2 < 0.\end{aligned}$$

Tyto odhady použijeme k odhadu matice  $\Sigma$ ,

$$\hat{\Sigma} = \widehat{\text{var}}[\mathbf{u}_i | \mathbb{X}] = \begin{pmatrix} \hat{\sigma}_\nu^2 + \hat{\sigma}_\mu^2 & \hat{\sigma}_\mu^2 & \dots & \hat{\sigma}_\mu^2 \\ \hat{\sigma}_\mu^2 & \hat{\sigma}_\nu^2 + \hat{\sigma}_\mu^2 & \dots & \hat{\sigma}_\mu^2 \\ \vdots & \ddots & \ddots & \vdots \\ \hat{\sigma}_\mu^2 & \dots & \hat{\sigma}_\mu^2 & \hat{\sigma}_\nu^2 + \hat{\sigma}_\mu^2 \end{pmatrix},$$

a k odhadu matice  $\Omega$ , který označíme  $\hat{\Omega}$  a který následně použijeme v metodě přípustných zobecněných nejmenších čtverců, viz kapitola 1.2.

Platí-li předpoklady (P1), (P2), (P2N), (P3N) a (P4N), speciálně tedy platí-li nekorelovanost  $\mu_i$  a  $\mathbf{X}_{it}$ ,  $\forall i = 1, \dots, n$ ,  $t = 1, \dots, T$ , je odhad  $\hat{\beta}$  metodou zobecněných nejmenších čtverců, nikoliv však metodou přípustných zobecněných nejmenších čtverců, nestranný.

Platí-li navíc předpoklady vycházející z (PLR3), (PLR4) a (PLR5) z věty 2 a (P5N), je odhad  $\hat{\beta}$  metodou přípustných zobecněných nejmenších čtverců konzistentní a asymptoticky normální pro  $n \rightarrow \infty$  a  $T$  fixní. Dále jsou odhady směrodatných chyb metodou přípustných zobecněných nejmenších čtverců asymptoticky platné, viz 1.2.

Následující tvrzení je tvrzení 2.1 článku Hausman a Taylor (1981), poskytuje jednodušší způsob výpočtu odhadu. Tvrzení lze ukázat pomocí algebraických úprav naznačených v sekci 2.3 knihy Baltagi (2021). Tyto úpravy podrobně rozepíšeme.

**Tvrzení 5.** *Odhad metodou zobecněných nejmenších čtverců s maticí  $\Omega$ , kde  $\Omega$  je dán vzorcem (2.5), je odhad metodou obyčejných nejmenších čtverců v transformovaném modelu*

$$Y_{it}^* = \alpha \cdot X_0 + \mathbf{X}_{it}^{*\top} \beta + u_{it}^*,$$

kde  $Y_{it}^* = Y_{it} - \gamma \cdot \bar{Y}_{i\bullet}$ ,  $X_0 = 1 - \gamma$ ,  $\mathbf{X}_{it}^* = \mathbf{X}_{it} - \gamma \cdot \bar{\mathbf{X}}_{i\bullet}$ ,  $u_{it}^* = u_{it} - \gamma \cdot \bar{u}_{i\bullet}$  a kde

$$\gamma = 1 - \frac{\sigma_\nu}{\sqrt{\sigma_\nu^2 + T\sigma_\mu^2}}.$$

*Důkaz.* Označme  $\mathbb{I}_n$  jednotkovou matici s dimenzemi  $n \times n$ ,  $\mathbb{I}_T$  jednotkovou matici s dimenzemi  $T \times T$  a  $\mathbb{J}_T$  matici obsahující na všech pozicích 1 s dimenzemi  $T \times T$ .

Připomeňme, že pro Kroneckerův součin a matice  $A, B, C$  a  $D$  platí  $(A \otimes B) + (A \otimes C) = A \otimes (B+C)$ ,  $(A \otimes B) \cdot (C \otimes D) = (A \cdot C) \otimes (B \cdot D)$  a  $(A \otimes B)^{-1} = A^{-1} \otimes B^{-1}$ , lze-li matice sčítat, násobit či invertovat. Tato pravidla použijeme dále.

Varianční matici  $\Omega$  můžeme zapsat pomocí Kroneckerova součinu jako

$$\begin{aligned}\Omega &= \sigma_\mu^2 (\mathbb{I}_n \otimes \mathbb{J}_T) + \sigma_\nu^2 (\mathbb{I}_n \otimes \mathbb{I}_T) = \\ &= T\sigma_\mu^2 \left( \mathbb{I}_n \otimes \frac{1}{T} \mathbb{J}_T \right) + \sigma_\nu^2 \left( \mathbb{I}_n \otimes \left( \mathbb{I}_T - \frac{1}{T} \mathbb{J}_T \right) \right) + \sigma_\nu^2 \left( \mathbb{I}_n \otimes \frac{1}{T} \mathbb{J}_T \right) = \\ &= (T\sigma_\mu^2 + \sigma_\nu^2) \left( \mathbb{I}_n \otimes \frac{1}{T} \mathbb{J}_T \right) + \sigma_\nu^2 \left( \mathbb{I}_n \otimes \left( \mathbb{I}_T - \frac{1}{T} \mathbb{J}_T \right) \right) = \\ &= \mathbb{I}_n \otimes \left( (T\sigma_\mu^2 + \sigma_\nu^2) \frac{1}{T} \mathbb{J}_T + \sigma_\nu^2 \left( \mathbb{I}_T - \frac{1}{T} \mathbb{J}_T \right) \right).\end{aligned}$$

Označíme

$$\Omega_1 = (T\sigma_\mu^2 + \sigma_\nu^2) \frac{1}{T} \mathbb{J}_T + \sigma_\nu^2 \left( \mathbb{I}_T - \frac{1}{T} \mathbb{J}_T \right).$$

Pak  $\Omega = \mathbb{I}_n \otimes \Omega_1$  a platí, že  $\Omega^{-1} = \mathbb{I}_n \otimes \Omega_1^{-1}$ . Inverzní matice k matici  $\Omega_1$  je

$$\Omega_1^{-1} = \frac{1}{(T\sigma_\mu^2 + \sigma_\nu^2)} \cdot \frac{1}{T} \mathbb{J}_T + \frac{1}{\sigma_\nu^2} \left( \mathbb{I}_T - \frac{1}{T} \mathbb{J}_T \right),$$

neboť

$$\begin{aligned}\Omega_1 \Omega_1^{-1} &= \frac{T\sigma_\mu^2 + \sigma_\nu^2}{(T\sigma_\mu^2 + \sigma_\nu^2)} \frac{1}{T^2} \mathbb{J}_T \mathbb{J}_T + \frac{T\sigma_\mu^2 + \sigma_\nu^2}{\sigma_\nu^2} \cdot \frac{1}{T} \mathbb{J}_T \left( \mathbb{I}_T - \frac{1}{T} \mathbb{J}_T \right) \\ &\quad + \frac{\sigma_\nu^2}{(T\sigma_\mu^2 + \sigma_\nu^2)} \left( \mathbb{I}_T - \frac{1}{T} \mathbb{J}_T \right) \cdot \frac{1}{T} \mathbb{J}_T + \frac{\sigma_\nu^2}{\sigma_\nu^2} \left( \mathbb{I}_T - \frac{1}{T} \mathbb{J}_T \right) \left( \mathbb{I}_T - \frac{1}{T} \mathbb{J}_T \right) = \\ &= \frac{1}{T^2} \cdot T \mathbb{J}_T + \frac{T\sigma_\mu^2 + \sigma_\nu^2}{\sigma_\nu^2} \cdot \frac{1}{T} \left( \mathbb{J}_T - \frac{1}{T} T \mathbb{J}_T \right) \\ &\quad + \frac{\sigma_\nu^2}{(T\sigma_\mu^2 + \sigma_\nu^2)} \left( \mathbb{J}_T - \frac{1}{T} \cdot T \mathbb{J}_T \right) \cdot \frac{1}{T} \\ &\quad + \left( \mathbb{I}_T - \frac{1}{T} \mathbb{J}_T - \frac{1}{T} \mathbb{J}_T + \frac{1}{T^2} \cdot T \mathbb{J}_T \right) = \frac{1}{T} \mathbb{J}_T + \left( \mathbb{I}_T - \frac{1}{T} \mathbb{J}_T \right) = \mathbb{I}_T.\end{aligned}$$

Podle principu odhadu metodou zobecněných nejmenších čtverců potřebujeme matici  $\Omega_1^{-\frac{1}{2}}$  takovou, že  $\Omega_1^{-\frac{1}{2}} \Omega_1^{-\frac{1}{2}} = \Omega_1^{-1}$ . Touto maticí je

$$\Omega_1^{-\frac{1}{2}} = \frac{1}{\sqrt{T\sigma_\mu^2 + \sigma_\nu^2}} \cdot \frac{1}{T} \mathbb{J}_T + \frac{1}{\sigma_\nu} \left( \mathbb{I}_T - \frac{1}{T} \mathbb{J}_T \right),$$

neboť

$$\begin{aligned}\Omega_1^{-\frac{1}{2}} \Omega_1^{-\frac{1}{2}} &= \frac{1}{T\sigma_\mu^2 + \sigma_\nu^2} \cdot \frac{1}{T^2} \cdot T \mathbb{J}_T + \frac{1}{\sigma_\nu \sqrt{T\sigma_\mu^2 + \sigma_\nu^2}} \cdot \frac{1}{T} \left( \mathbb{J}_T - \frac{1}{T} \cdot T \mathbb{J}_T \right) \\ &\quad + \frac{1}{\sigma_\nu \sqrt{T\sigma_\mu^2 + \sigma_\nu^2}} \left( \mathbb{J}_T - \frac{1}{T} \cdot T \mathbb{J}_T \right) \cdot \frac{1}{T} + \frac{1}{\sigma_\nu^2} \left( \mathbb{I}_T - \frac{1}{T} \mathbb{J}_T \right) = \\ &= \frac{1}{(T\sigma_\mu^2 + \sigma_\nu^2)} \cdot \frac{1}{T} \mathbb{J}_T + \frac{1}{\sigma_\nu^2} \left( \mathbb{I}_T - \frac{1}{T} \mathbb{J}_T \right) = \Omega_1^{-1}.\end{aligned}$$

Z vlastností Kroneckerova součinu platí

$$\left(\mathbb{I}_n \otimes \Omega_1^{-\frac{1}{2}}\right) \cdot \left(\mathbb{I}_n \otimes \Omega_1^{-\frac{1}{2}}\right) = (\mathbb{I}_n \cdot \mathbb{I}_n) \otimes \left(\Omega_1^{-\frac{1}{2}} \cdot \Omega_1^{-\frac{1}{2}}\right) = \mathbb{I}_n \otimes \Omega_1^{-1} = \Omega^{-1}.$$

Nyní už jen rozepíšeme matici  $\Omega_1^{-\frac{1}{2}}$ , aby bylo zřejmé, že se skutečně, až na přenásobení  $\sigma_\nu$ , jedná o transformaci z tvrzení,

$$\begin{aligned} \sigma_\nu \Omega_1^{-\frac{1}{2}} &= \frac{\sigma_\nu}{\sqrt{T\sigma_\mu^2 + \sigma_\nu^2}} \cdot \frac{1}{T} \mathbb{J}_T + \left(\mathbb{I}_T - \frac{1}{T} \mathbb{J}_T\right) = \\ &= \begin{pmatrix} 1 & 0 & \dots & 0 \\ 0 & 1 & \ddots & 0 \\ \vdots & \ddots & \ddots & \vdots \\ 0 & \dots & 0 & 1 \end{pmatrix} - \left( \begin{pmatrix} \frac{1}{T} & \frac{1}{T} & \dots & \frac{1}{T} \\ \frac{1}{T} & \frac{1}{T} & \ddots & \frac{1}{T} \\ \vdots & \ddots & \ddots & \vdots \\ \frac{1}{T} & \dots & \frac{1}{T} & \frac{1}{T} \end{pmatrix} - \frac{\sigma_\nu}{\sqrt{T\sigma_\mu^2 + \sigma_\nu^2}} \begin{pmatrix} \frac{1}{T} & \frac{1}{T} & \dots & \frac{1}{T} \\ \frac{1}{T} & \frac{1}{T} & \ddots & \frac{1}{T} \\ \vdots & \ddots & \ddots & \vdots \\ \frac{1}{T} & \dots & \frac{1}{T} & \frac{1}{T} \end{pmatrix} \right), \end{aligned}$$

a pro úplnost uvedeme, že vynásobením  $\frac{1}{T} \mathbb{J}_T$  a libovolného vektoru, dostaneme vektor, jehož každý prvek je výběrový průměr hodnot prvků násobeného vektoru.  $\square$

*Poznámka 6.* Budeme-li uvažovat normální model se smíšenými efekty (tj. model, kde mohou být náhodné i jiné parametry než jen absolutní člen), lze parametry odhadovat pomocí maximální věrohodnosti, Hendersonových rovnic či omezené (angl. restricted) maximální věrohodnosti, více viz Diggle a kol. (2013) a Henderson (1984).

### 2.3.2 Hausmanův-Taylorův odhad

V případě, že je porušen předpoklad nekorelovanosti individuálních efektů a regresorů a tedy i předpoklad (P3N), nemůžeme postupovat jako v předchozí části 2.3, odhad metodou obyčejných nejmenších čtverců i zobecněných nejmenších čtverců by obecně nebyl konzistentní, ale můžeme k odhadu parametrů modelu použít odhad pomocí instrumentálních proměnných, viz 1.3.

Uvažujme nyní obecnější model než v předchozí části

$$Y_{it} = \mathbf{X}_{1it}^\top \boldsymbol{\beta}_1 + \mathbf{X}_{2it}^\top \boldsymbol{\beta}_2 + \mathbf{Z}_{1i}^\top \boldsymbol{\gamma}_1 + \mathbf{Z}_{2i}^\top \boldsymbol{\gamma}_2 + \mu_i + \nu_{it}, \quad (2.6)$$

$i = 1, \dots, n$ ,  $t = 1, \dots, T$ , s regresory neměnnými v čase  $\mathbf{Z}_{1i}$  a  $\mathbf{Z}_{2i}$ , kde regresory  $\mathbf{X}_{2it}$   $\mathbf{Z}_{2i}$  jsou korelované s náhodnými individuálními efekty  $\mu_i$  pro  $\forall i = 1, \dots, n$  a  $\forall t = 1, \dots, T$ . Předpokládáme, že regresory  $\mathbf{X}_{1it}$  a  $\mathbf{Z}_{1i}$  nejsou korelované s individuálními efekty  $\mu_i$   $\forall i = 1, \dots, n$  a  $\forall t = 1, \dots, T$ . Počet proměnných obsažených v regresorech  $\mathbf{X}_{1it}$ ,  $\mathbf{X}_{2it}$ ,  $\mathbf{Z}_{1i}$  a  $\mathbf{Z}_{2i}$  je po řadě  $k_1$ ,  $k_2$ ,  $l_1$  a  $l_2$ .

Hausman a Taylor (1981) ve čtvrté části článku uvedli příklad dat, pro která se hodí model (2.6). Jde o model logaritmu platu mužů v závislosti na několika regresorech, mezi  $\mathbf{X}_{1it}$  patří indikátor špatného zdraví, počet odpracovaných let a indikátor nezaměstnanosti v posledním roce, přičemž poslední dva zmiňované mohou být i v  $\mathbf{X}_{2it}$ . Mezi  $\mathbf{Z}_{1i}$  autoři uvádějí rasu a indikátor, zda je muž v odborech. Mezi  $\mathbf{Z}_{2i}$  zařadili počet let docházky do školy.

Hausman a Taylor (1981) navrhli odhad, při kterém nejprve provedeme uvnitřskupinovou transformaci jako v části 2.2. Tímto způsobem můžeme odhadnout

parametry  $\beta_1$  a  $\beta_2$ , ale ne  $\gamma_1$  a  $\gamma_2$ , které z modelu vlivem transformace vypadnou. Nicméně odchylky od průměru  $\mathbf{X}_{1it} - \bar{\mathbf{X}}_{1i\bullet}$  a  $\mathbf{X}_{2it} - \bar{\mathbf{X}}_{2i\bullet}$ , kde

$$\bar{\mathbf{X}}_{1i\bullet} = \frac{1}{T} \sum_{t=1}^T \mathbf{X}_{1it} \quad \text{a} \quad \bar{\mathbf{X}}_{2i\bullet} = \frac{1}{T} \sum_{t=1}^T \mathbf{X}_{2it},$$

dobře poslouží k odhadu původního modelu. Jako další instrumenty lze použít  $\mathbf{Z}_{1i}$ , čímž zbývá si opatřit ještě minimálně  $l_2$  instrumentů. Jako tyto zbylé instrumenty lze použít  $\bar{\mathbf{X}}_{1i\bullet}$ .

Odhad probíhá v několika krocích:

1. Metodou obyčejných nejmenších čtverců odhadneme model

$$Y_{it} = \mathbf{X}_{1it}^\top \boldsymbol{\beta}_1 + \mathbf{X}_{2it}^\top \boldsymbol{\beta}_2 + \tilde{\nu}_{it}, \quad (2.7)$$

čímž dostaneme stejné bodové odhady vektorů parametrů  $\boldsymbol{\beta}_1$  a  $\boldsymbol{\beta}_2$  jako při odhadu modelu (2.6) po uvnitř-skupinové transformaci, tedy při odhadu v modelu

$$Y_{it} - \bar{Y}_{i\bullet} = (\mathbf{X}_{1it} - \bar{\mathbf{X}}_{1i\bullet})^\top \boldsymbol{\beta}_1 + (\mathbf{X}_{2it} - \bar{\mathbf{X}}_{2i\bullet})^\top \boldsymbol{\beta}_2 + \nu_{it} - \bar{\nu}_{i\bullet},$$

kde

$$\bar{Y}_{i\bullet} = \frac{1}{T} \sum_{t=1}^T Y_{it}, \quad \bar{\nu}_{i\bullet} = \frac{1}{T} \sum_{t=1}^T \nu_{it}.$$

V tomto modelu se nevyskytují individuální efekty  $\mu_i$ , tedy není problém, že předpoklad (P3N) není splněn. Reziduální rozptyl (1.1) z modelu (2.7) je odhadem  $\sigma_\nu^2$ , odhad označíme  $\hat{\sigma}_\nu^2$ .

2. Rezidua z modelu (2.7) v kroku 1 označme  $e_{it}$ . Dále označme

$$\bar{e}_{i\bullet} = \frac{1}{T} \sum_{t=1}^T e_{it}.$$

Z modelu (2.7) z kroku 1 platí, že

$$\tilde{\nu}_{it} = Y_{it} - \mathbf{X}_{1it}^\top \boldsymbol{\beta}_1 - \mathbf{X}_{2it}^\top \boldsymbol{\beta}_2,$$

a pro rezidua platí, že

$$e_{it} = Y_{it} - \mathbf{X}_{1it}^\top \hat{\boldsymbol{\beta}}_1 - \mathbf{X}_{2it}^\top \hat{\boldsymbol{\beta}}_2.$$

Z modelu (2.6) platí

$$Y_{it} - \mathbf{X}_{1it}^\top \boldsymbol{\beta}_1 - \mathbf{X}_{2it}^\top \boldsymbol{\beta}_2 = \mathbf{Z}_{1i}^\top \boldsymbol{\gamma}_1 + \mathbf{Z}_{2i}^\top \boldsymbol{\gamma}_2 + \mu_i + \nu_{it},$$

kde levou stranu odhadneme právě pomocí reziduí  $e_{it}$  a dostaneme model

$$e_{it} = \mathbf{Z}_{1i}^\top \boldsymbol{\gamma}_1 + \mathbf{Z}_{2i}^\top \boldsymbol{\gamma}_2 + \mu_i + \nu_{it}.$$

Protože mezi regresory nejsou žádné závislé na  $t$ , celý model přes čas zprůměrujeme a dostaneme

$$\bar{e}_{i\bullet} = \mathbf{Z}_{1i}^\top \boldsymbol{\gamma}_1 + \mathbf{Z}_{2i}^\top \boldsymbol{\gamma}_2 + \mu_i + \bar{\nu}_{i\bullet}, \quad i = 1, \dots, n.$$

Vzhledem ke korelovanosti regresorů  $\mathbf{Z}_{2i}$  a individuálních efektů  $\mu_i$  tento model odhadneme metodou instrumentálních proměnných, viz 1.3. Jako instrumenty pro  $\mathbf{Z}_{2i}$  použijeme  $\mathbf{Z}_{1i}$  a  $\mathbf{X}_{1it}$ . Odhadneme tedy nejprve model

$$\mathbf{Z}_{2i} = \mathbf{Z}_{1i}^\top \mathbf{a} + \mathbf{X}_{1it}^\top \mathbf{b} + \varepsilon_{it},$$

ze kterého dostaneme vyrovnané hodnoty  $\widehat{\mathbf{Z}}_{2i}$ , které použijeme v druhém kroku dvoustupňového odhadu při odhadu modelu

$$\bar{e}_{i\bullet} = \mathbf{Z}_{1i}^\top \boldsymbol{\gamma}_1 + \widehat{\mathbf{Z}}_{2i}^\top \boldsymbol{\gamma}_2 + \mu_i + \bar{\nu}_{i\bullet}.$$

Reziduální rozptyl z tohoto modelu je konzistentním odhadem  $\sigma = \sigma_\mu^2 + \frac{\sigma_\nu^2}{T}$ , odhad označme  $\hat{\sigma}^2$ .

Tímto jsme dostali odhady všech parametrů modelu (2.6), které však nejsou nejlepší. Odhady můžeme vylepšit tím, že navíc vezmeme v úvahu fakt, že model (2.6) není homoskedastický a přejdeme k přípustnému zobecněnému odhadu.

Přípustný zobecněný odhad metodou nejmenších čtverců pomocí instrumentálních proměnných (který může být oproti standardní metodě odhadu s instrumentálními proměnnými, viz 1.3, eficientnější) použije jako instrumenty

$$\mathbf{V}_{it}^\top = ((\mathbf{X}_{1it} - \bar{\mathbf{X}}_{1i\bullet})^\top, (\mathbf{X}_{2it} - \bar{\mathbf{X}}_{2i\bullet})^\top, \mathbf{Z}_{1i}^\top, \bar{\mathbf{X}}_{1i\bullet}^\top).$$

Model je identifikovaný, pokud  $k_1 \geq l_2$ , neboť  $\bar{\mathbf{X}}_{1i\bullet}$  slouží jako instrumenty pro  $\mathbf{Z}_{2i}$ .

Odhad metodou zobecněných nejmenších čtverců naváže na předchozí kroky:

3. Z kroku 2 víme, že konzistentním odhadem  $\sigma_\mu^2$  bude

$$\begin{aligned} \hat{\sigma}_\mu^2 &= \hat{\sigma}^2 - \frac{\hat{\sigma}_\nu^2}{T}, \text{ je-li } \hat{\sigma}^2 - \frac{\hat{\sigma}_\nu^2}{T} \geq 0, \\ &= 0, \text{ je-li } \hat{\sigma}^2 - \frac{\hat{\sigma}_\nu^2}{T} < 0. \end{aligned}$$

Spočteme váhu  $\hat{\theta}$  pro odhad metodou přípustných zobecněných nejmenších čtverců,

$$\hat{\theta} = \sqrt{\frac{\hat{\sigma}_\nu^2}{\hat{\sigma}_\nu^2 + T\hat{\sigma}_\mu^2}}.$$

4. Označíme všechny regresory

$$\mathbf{W}_{it}^\top = (\mathbf{X}_{1it}^\top, \mathbf{X}_{2it}^\top, \mathbf{Z}_{1i}^\top, \mathbf{Z}_{2i}^\top), i = 1, \dots, n, t = 1, \dots, T$$

a uspořádáme je jako řádky do matice  $\mathbb{W}$ . Abychom, podobně jako v modelu s náhodnými efekty v části 2.3, dostali odhady parametrů původního modelu, viz *poznámka 5*, provedeme transformaci

$$\mathbf{W}_{it}^{*\top} = W_{it}^\top - (1 - \hat{\theta}) \bar{\mathbf{W}}_{i\bullet}^\top, \quad Y_{it}^* = Y_{it}(1 - \hat{\theta}) \bar{Y}_{i\bullet},$$

kde  $\bar{\mathbf{W}}_{i\bullet}^\top = (\bar{\mathbf{X}}_{1i\bullet}^\top, \bar{\mathbf{X}}_{2i\bullet}^\top, \mathbf{Z}_{1i}^\top, \mathbf{Z}_{2i}^\top)^\top$ . Matice  $\mathbb{W}^*$  je po řádcích tvořena  $\mathbb{W}_{it}^{*\top}$ ,  $Y_{it}^*$  jsou prvky sloupcového vektoru  $\mathbf{Y}^*$ . Matice  $\mathbb{V}$  je po řádcích tvořena instrumentálními proměnnými  $\mathbf{V}_{it}^\top$ . Přípustný odhad s instrumentálními proměnnými lze spočítat pomocí

$$(\hat{\beta}_1^\top, \hat{\beta}_2^\top, \hat{\gamma}_1^\top, \hat{\gamma}_2^\top)^\top = [\mathbb{W}^{*\top} \mathbb{V} (\mathbb{V}^\top \mathbb{V})^{-1} \mathbb{V}^\top \mathbb{W}^*]^{-1} \mathbb{W}^{*\top} \mathbb{V} (\mathbb{V}^\top \mathbb{V})^{-1} \mathbb{V}^\top \mathbf{Y}^*.$$

Pro úplnost dodejme, že odhad metodou přípustných zobecněných nejménších čtverců by byl

$$(\hat{\beta}_1^\top, \hat{\beta}_2^\top, \hat{\gamma}_1^\top, \hat{\gamma}_2^\top)_F^\top = [\mathbb{W}^{*\top} \mathbb{W}^*]^{-1} \mathbb{W}^{*\top} \mathbf{Y}^*.$$

Odchylky od průměru  $\mathbf{X}_{2it} - \bar{\mathbf{X}}_{2i\bullet}$  sice v pravém slova smyslu nejsou instrumenty, neboť není zřejmé, že by měly být nekorelované s náhodnými efekty, nicméně Hausman a Taylor (1981) v části 3.2 uvedli, že dvoustupňový odhad parametrů  $\beta_1$  a  $\beta_2$  v modelu

$$Y_{it} - \gamma \cdot \bar{Y}_{i\bullet} = (\mathbf{X}_{1it} - \gamma \cdot \bar{\mathbf{X}}_{1i\bullet})^\top \beta_1 + (\mathbf{X}_{2it} - \gamma \cdot \bar{\mathbf{X}}_{2i\bullet})^\top \beta_2 + \nu_{it} - \gamma \cdot \bar{\nu}_{i\bullet},$$

kde  $\gamma$  je zavedeno v tvrzení 5, je stejný jako odhad metodou obyčejných nejménších čtverců v modelu

$$P_A(Y_{it} - \gamma \cdot \bar{Y}_{i\bullet}) = P_A(\mathbf{X}_{1it} - \gamma \cdot \bar{\mathbf{X}}_{1i\bullet})^\top \beta_1 + P_A(\mathbf{X}_{2it} - \gamma \cdot \bar{\mathbf{X}}_{2i\bullet})^\top \beta_2 + P_A(\nu_{it} - \gamma \cdot \bar{\nu}_{i\bullet}),$$

kde  $P_A$  je operátor ortogonální projekce do sloupcového prostoru matice  $[\mathbb{H}, \mathbf{X}_{1it}, \mathbf{Z}_{1i}]$  a kde  $\mathbb{H}$  je matice, která počítá odchylky od průměru (viz část 3.1.2). Projekce  $\mathbf{X}_{1it}$  jsou právě tyto  $\mathbf{X}_{1it}$ , projekce  $\mathbf{X}_{2it}$  lze spočítat pomocí průměrů v čase, viz Appendix B článku Hausman a Taylor (1981). Dostaneme tedy stejný odhad parametrů jako při použití odchylek  $(\mathbf{X}_{1it} - \bar{\mathbf{X}}_{1i\bullet})$  a  $(\mathbf{X}_{2it} - \bar{\mathbf{X}}_{2i\bullet})$  jako instrumentů.

Poznamenejme, že momentové podmínky použité k formulaci instrumentálních proměnných jsou

$$\mathbf{E} \left[ \begin{pmatrix} \mathbf{X}_{1it} \\ \mathbf{X}_{2it} \\ \mathbf{Z}_{1i} \\ \bar{\mathbf{X}}_{1i\bullet} \end{pmatrix} (u_{it} - \bar{u}_{i\bullet}) \right] = \mathbf{E} \left[ \begin{pmatrix} \mathbf{X}_{1it} \\ \mathbf{X}_{2it} \\ \mathbf{Z}_{1i} \\ \bar{\mathbf{X}}_{1i\bullet} \end{pmatrix} (\nu_{it} - \bar{\nu}_{i\bullet}) \right] = 0,$$

kde  $u_{it} = \mu_i + \nu_{it}$  a

$$\bar{u}_{i\bullet} = \frac{1}{T} \sum_{t=1}^T u_{it}.$$

## 2.4 Příklad

*Příklad 4.* Budeme uvažovat Grunfeldova data, Grunfeld (1958), dostupná v R, R Core Team (2020), v knihovně AER autorů Kleiber a Zeileis (2008). Jedná se o panelová data pro 11 amerických firem sledovaných v letech 1935–1954. Sledovaly se hrubé investice, tržní hodnota firmy a kapitál. Uvažujeme model závislosti tržní hodnoty firmy ( $V$ ) na jejím kapitálu ( $C$ ),

$$V_{it} = \alpha + \beta C_{it} + \mu_i + \nu_{it}, \quad i = 1, \dots, 11, \quad t = 1935, \dots, 1954.$$

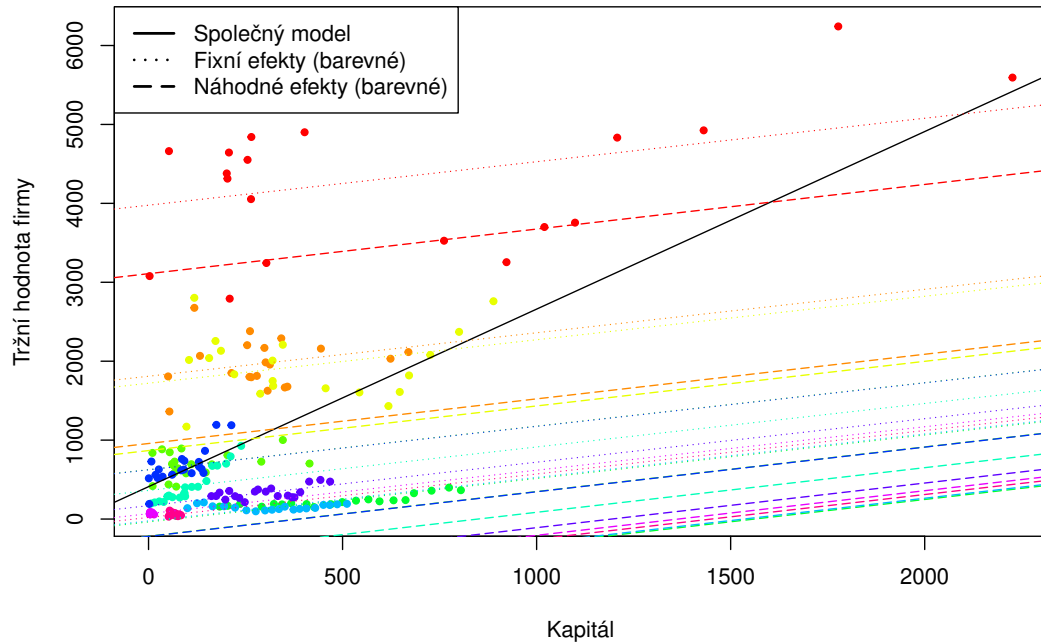
Na obrázku 2.1 je body uveden graf závislosti tržní hodnoty firmy na jejím kapitálu, jednotlivé firmy jsou odlišeny barevně.

Odhadneme uvedený model pomocí všech tří uvedených přístupů k panelovým datům, odhady parametrů a jejich směrodatné chyby (SE) jsou uvedeny v tabulce 2.1. Pro fixní efekty jsme použili uvnitř-skupinovou transformaci, takže nemůžeme odhadnout individuální efekty  $\mu_i$ ,  $i = 1, \dots, 11$ .

| parametr                 | společný model |        | fixní efekty |       | náhodné efekty |         |
|--------------------------|----------------|--------|--------------|-------|----------------|---------|
|                          | odhad          | SE     | odhad        | SE    | odhad          | SE      |
| abs. člen $\hat{\alpha}$ | 410,140        | 99,444 | —            | —     | 843,215        | 302,112 |
| kapitál $\hat{\beta}$    | 2,250          | 0,255  | 0,551        | 0,094 | 0,565          | 0,095   |

Tabulka 2.1: Grunfeldova data a 3 přístupy k panelovým datům.

Odhady z tabulky 2.1 jsou graficky znázorněny na obrázku 2.1, na obrázku pro odhad modelu s fixními efekty nebyla použita uvnitř-skupinová transformace. Individuální efekty v modelu s náhodnými efekty dostaneme jako transformovaný mezi-skupinový odhad reziduů, více viz funkce ranef autora Tappe (2022) v knihovně `plm` od Millo (2017).



Obrázek 2.1: Tržní hodnota v závislosti na kapitálu pro firmy z Grunfeldových dat a tři odhady závislosti na kapitálu pro firmy z Grunfeldových dat.

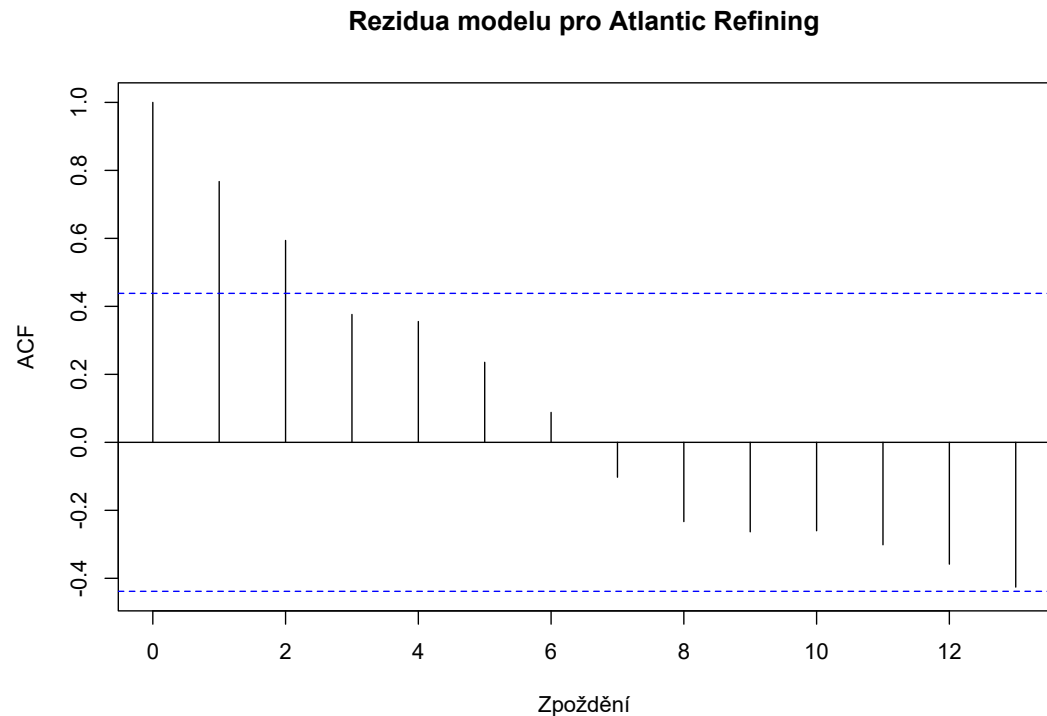
Vidíme, že ve společném modelu se odhad parametru  $\beta$  (sklon přímky) výrazně liší od odhadu stejného parametru  $\alpha$  už v modelu s fixními či v modelu s náhodnými efekty, vzhledem k tomu, že neumožňuje modelovat heterogenitu subjektů, bychom tento přístup nedoporučili. U volby, zda přistoupit k fixním nebo náhodným efektům, může hrát roli také to, zda jsme firmy vybírali náhodně

z nějaké množiny firem a potřebujeme naše závěry zobecnit na celou tuto množinu, pak bychom vybrali přístup s náhodnými efekty. Můžeme rovněž provést Hausmanův test, viz část 2.2. článku Hausman a Taylor (1981), hypotézy ne-korelovanosti individuálních efektů a regresorů. Odhad s náhodnými efekty by v případě korelovanosti byl nekonzistentní, odhad s fixními efekty je konzistentní i v případě korelovanosti. Pro modely s fixními a náhodnými efekty v tomto příkladu je  $p$ -hodnota Hausmanova testu 0,294, můžeme tedy doporučit odhad s náhodnými efekty.

### 3. Dynamické modely pro panelová data

V panelových datech sledujeme pro daný subjekt  $i$  časovou řadu, kde předpoklad (P2) uvedený v kapitole 2, tedy předpoklad nekorelovanosti jednotlivých zbytkových chyb pro daný subjekt, nemusí být vždy splněn. Z tohoto důvodu zavádíme dynamické modely pro panelová data.

*Příklad 5.* Uvažujme Grunfeldova data popsaná v příkladu 4. Vybereme 4 firmy (Atlantic Refining, IBM, Union Oil a Westinghouse), pro které odhadneme stejný model závislosti tržní hodnoty firmy na jejím kapitálu jako ve zmíněném příkladu 4, tentokrát jen s fixními efekty. Pro Atlantic Refining vykreslíme graf výběrové autokorelační funkce reziduí, viz obr. 3.1. Data naznačují, že předpoklad nekorelovanosti (P2) by mohl být porušený.



Obrázek 3.1: Výběrová autokorelační funkce reziduí Atlantic Refining z Grunfeldových dat.

Dynamický model pro panelová data má předpis

$$Y_{it} = \delta_1 Y_{i,t-1} + \dots + \delta_p Y_{i,t-p} + \mathbf{X}_{it}^\top \boldsymbol{\beta} + u_{it}, \quad (3.1)$$

kde  $Y_{it}$  je odezva,  $\mathbf{X}_{it}$  jsou regresory dimenze  $k \times 1$ ,  $\boldsymbol{\beta}$  je vektor parametrů dimenze  $k \times 1$ ,  $\delta_1, \dots, \delta_p$  jsou jednorozměrné parametry a  $u_{it}$  je chybový člen, který lze zapsat jako

$$u_{it} = \mu_i + \nu_{it},$$

tedy jako součet chybového členu specifického pro subjekt  $\mu_i$  a zbytkového chybového členu  $\nu_{it}$ ,  $i = 1, \dots, n$ ,  $t = 1, \dots, T$ . Aby mohlo být  $t = 1, \dots, T$ , tedy  $T$  rovnic, musíme k dříve uvažovaným  $Y_{i1}, \dots, Y_{iT}$  přidat  $Y_{i,-p+1}, \dots, Y_{i0}$ . Chybové členy specifické pro subjekt a zbytkové chybové členy, popsané dále, musí být vzájemně nezávislé. V modelu může, ale nemusí, být zahrnut absolutní člen jako jeden z regresorů.

Budeme se zabývat situací, kdy  $p = 1$ , tedy modelem

$$Y_{it} = \delta_1 Y_{i,t-1} + \mathbf{X}_{it}^\top \boldsymbol{\beta} + \mu_i + \nu_{it}, \quad (3.2)$$

kvůli stabilitě předpokládejme  $|\delta_1| < 1$ . Zobecnění pro vyšší  $p$  je přímočaré.

Předpoklady budeme uvažovat stejné jako pro model s fixními či náhodnými efekty v kapitole 2 podle toho, jaké efekty v dynamickém modelu uvažujeme, a přidáme předpoklad, že zbytkové chybové členy jsou nezávislé, stejně rozdělené, s nulovou střední hodnotou a rozptylem  $\sigma_\nu^2$ ,

$$(P1D) \quad \nu_{it} \sim \text{iid}(0, \sigma_\nu^2) \quad i = 1, \dots, n, \quad t = 1, \dots, T.$$

V případě panelových dat s náhodnými efekty  $\mu_i$ ,  $i = 1, \dots, n$ , přidáme předpoklad: chybové členy specifické pro subjekt jsou nezávislé, stejně rozdělené, s nulovou střední hodnotou a rozptylem  $\sigma_\mu^2$ ,

$$(P2D) \quad \mu_i \sim \text{iid}(0, \sigma_\mu^2) \quad i = 1, \dots, n,$$

a také, že  $\mu_i$  je nezávislé na  $\mathbf{X}_{i1}, \dots, \mathbf{X}_{iT}$ ,  $i = 1, \dots, n$ .

Když model (3.2) neobsahuje exogenní regresory  $\mathbf{X}_{it}$ , pak je tvaru

$$Y_{it} = \delta_1 Y_{i,t-1} + \mu_i + \nu_{it} \quad (3.3)$$

a nazývá se panelový AR(1) model. Pro tento model rozepíšeme  $Y_{it}$  pro  $t = 1, 2, 3$  a dosadíme předchozí vyjádření,

$$\begin{aligned} Y_{i1} &= \delta_1 Y_{i0} + \mu_i + \nu_{i1}, \\ Y_{i2} &= \delta_1 Y_{i1} + \mu_i + \nu_{i2} = \delta_1(\delta_1 Y_{i0} + \mu_i + \nu_{i1}) + \mu_i + \nu_{i2} = \\ &= \delta_1^2 Y_{i0} + (\delta_1 + 1)\mu_i + \delta_1 \nu_{i1} + \nu_{i2}, \\ Y_{i3} &= \delta_1 Y_{i2} + \mu_i + \nu_{i3} = \delta_1(\delta_1^2 Y_{i0} + (\delta_1 + 1)\mu_i + \delta_1 \nu_{i1} + \nu_{i2}) + \mu_i + \nu_{i3} = \\ &= \delta_1^3 Y_{i0} + (\delta_1^2 + \delta_1 + 1)\mu_i + \delta_1^2 \nu_{i1} + \delta_1 \nu_{i2} + \nu_{i3}. \end{aligned}$$

Pro obecné  $t$  pak

$$\begin{aligned} Y_{it} &= \delta_1^t Y_{i0} + (\delta_1^{t-1} + \dots + \delta_1 + 1)\mu_i + \delta_1^{t-1} \nu_{i1} + \delta_1^{t-2} \nu_{i2} + \dots + \delta_1 \nu_{i,t-1} + \nu_{i,t} = \\ &= \delta_1^t Y_{i0} + \mu_i \sum_{j=0}^{t-1} \delta_1^j + \sum_{j=0}^{t-1} \delta_1^j \nu_{i,t-j}, \end{aligned}$$

odkud je patrné, proč požadujeme  $|\delta_1| < 1$ . Uvedené vyjádření využijeme dále v části 3.1.1. Z předchozího vyjádření plynne, viz také Das (2019), část 18.2, že pro velké  $t$  platí

$$\begin{aligned} \mathbf{E}[Y_{it} | \mu_i] &\approx \mu_i \sum_{j=0}^{\infty} \delta_1^j = \mu_i \cdot \frac{1}{1 - \delta_1}, \\ \mathbf{var}[Y_{it} | \mu_i] &\approx \sum_{j=0}^{\infty} \mathbf{var}(\delta_1^j \nu_{i,t-j}) = \frac{\sigma_\nu^2}{1 - \delta_1^2}. \end{aligned}$$

## 3.1 Klasické odhady

V této části ukážeme, jak se chovají odhady z kapitoly 2 při použití na dynamický model pro panelová data. Připomeňme, že uvažujeme  $T$  fixní a  $n \rightarrow \infty$ .

### 3.1.1 Odhad metodou nejmenších čtverců

Budeme uvažovat model (3.2), který má mezi regresory vždy jen jednu zpožděnou hodnotu vysvětlované proměnné.

Nejprve ukážeme, že odhad metodou obyčejných nejmenších čtverců v modelu s náhodnými efekty je nekonzistentní pro  $n \rightarrow \infty$ , i pokud by  $T \rightarrow \infty$ . Jelikož  $Y_{it}$  je funkcí  $\mu_i$ ,

$$Y_{i,t} = \delta_1 Y_{i,t-1} + \mathbf{X}_{i,t}^\top \boldsymbol{\beta} + \mu_i + \nu_{it},$$

$Y_{i,t-1}$  je funkcí  $\mu_i$ ,

$$Y_{i,t-1} = \delta_1 Y_{i,t-2} + \mathbf{X}_{i,t-1}^\top \boldsymbol{\beta} + \mu_i + \nu_{i,t-1},$$

tedy  $Y_{i,t-1}$  je korelované s  $u_{it} = \mu_i + \nu_{it}$ ,

$$\begin{aligned} \text{cov}[Y_{i,t-1}, u_{it}] &= \text{cov}[\delta_1 Y_{i,t-2} + \mathbf{X}_{i,t-1}^\top \boldsymbol{\beta} + \mu_i + \nu_{i,t-1}, \mu_i + \nu_{it}] = \\ &= \mathbf{E}[\delta_1 Y_{i,t-2} \mu_i + \mu_i \mathbf{X}_{i,t-1}^\top \boldsymbol{\beta} + \mu_i^2 + \mu_i \nu_{i,t-1} \\ &\quad + \delta_1 Y_{i,t-2} \nu_{it} + \nu_{it} \mathbf{X}_{i,t-1}^\top \boldsymbol{\beta} + \mu_i \nu_{it} + \nu_{i,t-1} \nu_{it}] \\ &\quad - (\mathbf{E}[\delta_1 Y_{i,t-2} + \mathbf{X}_{i,t-1}^\top \boldsymbol{\beta} + \mu_i + \nu_{i,t-1}]) (\mathbf{E}[\mu_i + \nu_{it}]) = \\ &= \mathbf{E}[\delta_1 Y_{i,t-2} \mu_i + \mu_i^2] = \delta_1 \mathbf{E}[Y_{i,t-2} \mu_i] + \sigma_\mu^2, \end{aligned}$$

kde jsme využili předpoklady o nulové střední hodnotě chyb specifických pro subjekt i zbytkových chyb a jejich (i vzájemné) nezávislosti. Budeme-li navíc předpokládat, že pozorujeme část časové řady, kterou lze uvažovat pro  $t$  libovolně do minulosti a že časové řady regresorů i odezvy jsou stacionární, pak můžeme rekurzivně pokračovat a approximovat pro  $m$  velké,

$$\begin{aligned} \text{cov}[Y_{i,t-1}, u_{it}] &= \delta_1 \mathbf{E}[Y_{i,t-2} \mu_i] + \sigma_\mu^2 = \delta_1 (\delta_1 \mathbf{E}[Y_{i,t-3} \mu_i] + \sigma_\mu^2) + \sigma_\mu^2 = \\ &= \delta_1^2 \mathbf{E}[Y_{i,t-4} \mu_i] + \sigma_\mu^2 + \delta_1 \sigma_\mu^2 + \delta_1^2 \sigma_\mu^2 = \dots = \delta_1^{m+1} \mathbf{E}[Y_{i,t-(m+2)} \mu_i] + \sigma_\mu^2 \sum_{j=0}^m \delta_1^j \\ &\xrightarrow[m \rightarrow \infty]{} 0 + \sigma_\mu^2 \cdot \frac{1}{1 - \delta_1} = \frac{\sigma_\mu^2}{1 - \delta_1} \neq 0. \end{aligned}$$

Ukázali jsme, že chybový člen  $u_{it}$  a regresor  $Y_{i,t-1}$  jsou korelované, tedy odhad parametrů modelu metodou nejmenších čtverců není obecně konzistentní, viz diskuze za větou 2. Touto nenulovou kovariancí je porušen předpoklad (P3N), tedy ani odhad metodou zobecněných nejmenších čtverců v podobě popsané pro náhodné efekty v části 2.3 není konzistentní.

### 3.1.2 Uvnitř-skupinový odhad

Pro dynamický model zavádíme uvnitř-skupinový (angl. within) odhad, pro který ukážeme, že pokud i  $T \rightarrow \infty$ , odhad parametrů konzistentní jsou. Uva-

žujme model (3.2), v tomto modelu provedeme podobnou transformaci jako v kapitole 2.2. Spočítáme průměry odezvy, regresorů a chybových členů,

$$\bar{Y}_{i\bullet} = \frac{1}{T} \sum_{t=1}^T Y_{it}, \quad \bar{Y}_{i\bullet,-T} = \frac{1}{T} \sum_{t=1}^T Y_{i,t-1}, \quad \bar{\mathbf{X}}_{i\bullet} = \frac{1}{T} \sum_{t=1}^T \mathbf{X}_{it}, \quad \bar{\nu}_{i\bullet} = \frac{1}{T} \sum_{t=1}^T \nu_{it},$$

které odečteme od napozorovaných dat a dostaneme model

$$Y_{it} - \bar{Y}_{i\bullet} = \delta_1(Y_{i,t-1} - \bar{Y}_{i\bullet,-T}) + (\mathbf{X}_{it} - \bar{\mathbf{X}}_{i\bullet})^\top \boldsymbol{\beta} + \nu_{it} - \bar{\nu}_{i\bullet},$$

$i = 1, \dots, n$ ,  $t = 1, \dots, T$ . V tomto modelu se sice nevyskytují individuální efekty  $\mu_i$ , ale regresory  $Y_{i,t-1} - \bar{Y}_{i\bullet,-T}$  jsou korelované s chybami  $\nu_{it} - \bar{\nu}_{i\bullet}$ , neboť  $Y_{i,t-1}$  je korelované s  $\bar{\nu}_{i\bullet}$ . Korelovanost regresorů a chyb vede k vychýlení odhadu vektoru parametrů  $\boldsymbol{\beta}$  a parametru  $\delta_1$  metodou obyčejných nejmenších čtverců. Toto vychýlení je řádu  $\frac{1}{T}$ , jak ukázal Nickell (1981).

Odhad by byl konzistentní, jen pokud by i  $T \rightarrow \infty$ , což ukážeme pro model  $Y_{it} = \delta_1 Y_{i,t-1} + u_{it}$ . Označme  $\mathbf{Y}_i = (Y_{i1}, \dots, Y_{iT})^\top$  a

$$\mathbf{Y} = (\mathbf{Y}_1^\top, \mathbf{Y}_2^\top, \dots, \mathbf{Y}_n^\top)^\top,$$

$$\mathbf{Y}_{i,-T} = (Y_{i0}, \dots, Y_{i,T-1})^\top \text{ a}$$

$$\mathbf{Y}_{-T} = (\mathbf{Y}_{1,-T}^\top, \mathbf{Y}_{2,-T}^\top, \dots, \mathbf{Y}_{n,-T}^\top)^\top,$$

vektory chyb  $\boldsymbol{\nu}_i = (\nu_{i1}, \dots, \nu_{iT})^\top$  a

$$\boldsymbol{\nu} = (\boldsymbol{\nu}_1^\top, \boldsymbol{\nu}_2^\top, \dots, \boldsymbol{\nu}_n^\top)^\top,$$

dále označme  $\mathbb{H} = \mathbb{I}_T - \frac{1}{T} \mathbf{1}_T \mathbf{1}_T^\top$  symetrickou a pro každé  $T$  idempotentní matici s dimenzemi  $T \times T$ , která z vektoru počítá odchylky od průměrné hodnoty,

$$\mathbb{H} = \begin{pmatrix} 1 - \frac{1}{T} & -\frac{1}{T} & \cdots & -\frac{1}{T} \\ -\frac{1}{T} & 1 - \frac{1}{T} & \cdots & -\frac{1}{T} \\ \vdots & \ddots & & \vdots \\ -\frac{1}{T} & \cdots & 1 - \frac{1}{T} & -\frac{1}{T} \\ -\frac{1}{T} & \cdots & -\frac{1}{T} & 1 - \frac{1}{T} \end{pmatrix}.$$

V maticovém tvaru pro  $i$ -tý subjekt platí  $\mathbb{H}\mathbf{Y}_i = \mathbb{H}\mathbf{Y}_{i,-T} + \mathbb{H}\boldsymbol{\nu}_i$ .

Pro  $(\mathbb{I}_n \otimes \mathbb{H})\mathbf{Y}_{-T}$  předpokládejme (PLR3) z části 1.1. Neplatí však předpoklad (PLR4),

$$\frac{1}{nT} ((\mathbb{I}_n \otimes \mathbb{H})\mathbf{Y}_{-T})^\top (\mathbb{I}_n \otimes \mathbb{H})\boldsymbol{\nu} = \frac{1}{nT} \sum_{i=1}^n [\mathbb{H}\mathbf{Y}_{i,-T}]^\top \mathbb{H}\boldsymbol{\nu}_{i,-1} = \frac{1}{nT} \sum_{i=1}^n \mathbf{Y}_{i,-T}^\top \mathbb{H}\boldsymbol{\nu}_i$$

nekonverguje v pravděpodobnosti pro  $n \rightarrow \infty$  k nulovému vektoru, jelikož

$$\mathbf{E}[\mathbf{Y}_{i,-T}^\top \mathbb{H}\boldsymbol{\nu}_i] = \sum_{t=1}^T \mathbf{E}[Y_{i,t-1}(\nu_{it} - \bar{\nu}_{i\bullet})] \neq 0,$$

neboť

$$\mathbf{E}[Y_{i,t-1} \bar{\nu}_{i\bullet}] = \mathbf{E} \left[ Y_{i,t-1} \frac{1}{T} \sum_{t=1}^T (Y_{it} - \delta_1 Y_{i,t-1}) \right].$$

Výraz  $\frac{1}{nT} \sum_{i=1}^n \mathbf{Y}_{i,-T}^\top \mathbb{H}\boldsymbol{\nu}_i$  by konvergoval pro  $nT \rightarrow \infty$  k 0, pokud by  $\bar{\nu}_{i\bullet}$  konvergovalo k 0, což nastává pokud  $T \rightarrow \infty$  podle zákona velkých čísel.

### 3.1.3 Maximálně-věrohodné odhady

Bond (2002) připomíná možnost odhadu metodou maximální věrohodnosti pro dynamický model panelových dat. Musíme však předpokládat nějaké konkrétní rozdelení individuálních efektů a zbytkových chyb, např. normální. Navíc rozdelení proměnných  $Y_{it}$ ,  $t = 1, \dots, T$ , záleží na tom, co předpokládáme pro  $Y_{i0}$ , které může být náhodné či deterministické, korelované či nekorelované s individuálním efektem  $\mu_i$ , může být specifikované tak, aby pro každý subjekt byla  $\mathbf{E}[Y_{it}]$  konstantní od  $t = 1$ , či jej můžeme specifikovat tak, aby řada  $Y_{i1}, \dots, Y_{iT}$  splňovala stacionaritu nějakého vyššího řádu. Všechny tyto předpoklady vedou na různé věrohodnostní funkce a tedy i jiné odhady parametrů. V případě, že předpoklady na  $Y_{i0}$  jsou chybně specifikovány, a tedy používáme chybnou věrohodnostní funkci, mohou být odhady parametrů modelu nekonzistentní. Více o maximálně-věrohodných odhadech uvádí v části 4.3.3a Hsiao (2003).

Pro ilustraci uvedeme věrohodnost pro stacionární případ, kdy je  $Y_{i0}$  fixní, individuální efekty jsou náhodné a zbytkové chyby i individuální efekty mají normální rozdelení. Pak je věrohodnost tvaru

$$(2\pi)^{-\frac{nT}{2}} |\Sigma|^{-\frac{n}{2}} \cdot \exp \left\{ -\frac{1}{2} \sum_{i=1}^n (\mathbf{Y}_i - \delta_1 \mathbf{Y}_{i,-T} - \mathbf{X}_i \boldsymbol{\beta})^\top \Sigma^{-1} (\mathbf{Y}_i - \delta_1 \mathbf{Y}_{i,-T} - \mathbf{X}_i \boldsymbol{\beta}) \right\},$$

kde využíváme značení z kapitoly 2 a části 3.1.2. Odhad parametrů nalezneme jako argument maxima věrohodnostní funkce přes  $(\delta_1, \boldsymbol{\beta}^\top)^\top \in \mathbb{R}^{1+k}$ .

Odhady metodou maximální věrohodnosti se dále teoreticky zabývat nebudeme, pouze je uvedeme pro srovnání v simulační studii v kapitole 4.

Oproti maximálně-věrohodným odhadům odhady založené na metodě instrumentálních proměnných a odhady zobecněnou metodou momentů uvedené v následující části, tj. Andersonův-Hsiaoův, Arellanův-Bondův, Arellanův-Boverův a Ahnův-Schmidtův odhad předpokládají pro  $Y_{i0}$  pouze  $\text{cov}[\nu_{it}, Y_{i0}] = 0$  pro každé  $i = 1, \dots, n$  a  $t = 1, \dots, T$ .

## 3.2 Odhady zobecněnou metodou momentů

Při uvnitř-skupinovém odhadu v části 3.1.2 jsme narazili na problém korelovanosti regresorů a chyb. V lineárním modelu tento problém umíme vyřešit pomocí instrumentálních proměnných, viz část 1.3. V uvnitř-skupinovém odhadu však není zcela jasné, jaký instrument použít kvůli hodnotě průměru zpožděných odezv  $\bar{Y}_{i•-1}$ . Proto v této části zavádíme odhad pomocí transformace na první diference s pomocí instrumentálních proměnných a odhadu zobecněnou metodou momentů.

Následující kapitoly o odhadech čerpají přehledově z osmé kapitoly knihy Baltagi (2021) a třinácté kapitoly knihy Greene (2003). Dále čerpáme z původních článků, které jsou citovány u jednotlivých odhadů.

### 3.2.1 Odhad metodou instrumentálních proměnných pomocí transformace na první diference

Uvažujme opět model (3.2). V tomto modelu provedeme transformaci na první diference. Dostaneme tak model

$$Y_{it} - Y_{i,t-1} = \delta_1(Y_{i,t-1} - Y_{i,t-2}) + (\mathbf{X}_{it} - \mathbf{X}_{i,t-1})^\top \boldsymbol{\beta} + \nu_{it} - \nu_{i,t-1},$$

$$i = 1, \dots, n, t = 2, \dots, T.$$

V tomto modelu odhadneme parametry dvoustupňovým odhadem metodou nejmenších čtverců, viz 1.3, s instrumentálními proměnnými  $Y_{i,t-2} - Y_{i,t-3}$  nebo  $Y_{i,t-2}$  pro regresor  $Y_{i,t-1} - Y_{i,t-2}$ . Obě varianty instrumentálních proměnných nejsou korelované s chybami  $\nu_{it} - \nu_{i,t-1}$  za předpokladu vzájemné nekorelovanosti  $\nu_{it}, t = 1, \dots, T$ , ale jsou korelované s regresorem  $Y_{i,t-1} - Y_{i,t-2}$ . Rovněž bychom mohli použít např.  $Y_{i,t-3}$  či ještě více zpožděně hodnoty. Momentové podmínky pro instrument  $Y_{i,t-2}$  jsou

$$\mathbf{E}[Y_{i,t-2}(\nu_{it} - \nu_{i,t-1})] = 0,$$

$t = 2, \dots, T$ . Pro každý instrument máme jednu podmínsku, pro každý subjekt tedy  $T - 1$  podmínek. Pro instrument  $Y_{i,t-2} - Y_{i,t-3}$  pak

$$\mathbf{E}[(Y_{i,t-2} - Y_{i,t-3})(\nu_{it} - \nu_{i,t-1})] = 0,$$

$t = 3, \dots, T$ , v tomto případě máme pro každý subjekt  $T - 2$  podmínek.

Instrument, který použijeme, označme obecně  $W_{it}$ . V případě instrumentu  $Y_{i,t-2}$  bude dále  $t_* = 2$  a v případě  $Y_{i,t-2} - Y_{i,t-3}$  pak  $t_* = 3$ .

Dvoustupňový odhad metodou nejmenších čtverců s instrumentálními proměnnými probíhá ve dvou krocích pomocí metody obyčejných nejmenších čtverců:

1. Odhadneme model, na který můžeme nahlížet např. jako na společný model pro panelová data,

$$\Delta Y_{i,t-1} = Y_{i,t-1} - Y_{i,t-2} = cW_{it} + (\mathbf{X}_{it} - \mathbf{X}_{i,t-1})^\top \boldsymbol{\beta} + \varepsilon_{it},$$

$i = 1, \dots, n, t = t_*, \dots, T$ . Z odhadu tohoto modelu dostaneme vyrovnané hodnoty  $\widehat{\Delta Y}_{i,t-1}$ , ty použijeme ve druhém kroku.

2. Metodou obyčejných nejmenších čtverců odhadneme model

$$Y_{it} - Y_{i,t-1} = \delta_1(\widehat{\Delta Y}_{i,t-1}) + (\mathbf{X}_{it} - \mathbf{X}_{i,t-1})^\top \boldsymbol{\beta} + \nu_{it} - \nu_{i,t-1},$$

$i = 1, \dots, n, t = t_*, \dots, T$ . Dostaneme tak dvoustupňový odhad metodou nejmenších čtverců,  $\widehat{\delta}_{1,2SLS}$  a  $\widehat{\boldsymbol{\beta}}_{2SLS}$ . Popsaný přístup navrhli v 8. části článku Anderson a Hsiao (1981), podle kterých odhad budeme nazývat Andersonův-Hsiaoův.

Chyby v modelu v kroku 2 mají komplikovanější varianční matici, bylo by lepší tento model odhadnout metodou přípustných nejmenších čtverců, neboť varianční matice chyb  $i$ -tého subjektu je typu  $\sigma_\nu^2 \cdot G$ , kde  $G$  je fixní, nikoliv však jednotková, matice,

$$G = \begin{pmatrix} 2 & -1 & 0 & \dots & 0 \\ -1 & 2 & -1 & \dots & 0 \\ 0 & -1 & \ddots & \ddots & \vdots \\ \vdots & \vdots & \ddots & 2 & -1 \\ 0 & 0 & \dots & -1 & 2 \end{pmatrix}, \quad (3.4)$$

neboť

$$\begin{aligned}
\text{cov}[\nu_{i,j+1} - \nu_{ij}, \nu_{i,k+1} - \nu_{ik}] &= \\
&= \mathbf{E}[\nu_{i,j+1}\nu_{i,k+1}] - \mathbf{E}[\nu_{ij}\nu_{i,k+1}] - \mathbf{E}[\nu_{i,j+1}\nu_{ik}] + \mathbf{E}[\nu_{ij},\nu_{ik}] = \\
&= \sigma_\nu^2 - 0 - 0 + \sigma_\nu^2, \text{ je-li } j = k, \\
&= 0 - \sigma_\nu^2 - 0 + 0, \text{ je-li } j - k = 1, \\
&= 0 - 0 - \sigma_\nu^2 + 0, \text{ je-li } j - k = -1, \\
&= 0 - 0 - 0 + 0, \text{ je-li } |j - k| \geq 2.
\end{aligned}$$

Následně bychom využili odhad zobecněnou metodou nejmenších čtverců popsaný v části 1.2 s maticí  $\mathbb{I}_n \otimes G$  jako maticí  $\Omega$ .

Dvoustupňový odhad je vlastně odhad zobecněnou metodou momentů s momentovými podmínkami

$$\mathbf{E}[W_{it}(\nu_{it} - \nu_{i,t-1})] = 0.$$

V případě, kdy by model byl panelový AR(1) model (3.3),

$$Y_{it} = \delta_1 Y_{i,t-1} + u_{it}, \quad t = 1, \dots, T,$$

odhad parametru  $\delta_1$  metodou momentů by měl v případě instrumentů  $Y_{i,t-2}$  předpis

$$\hat{\delta}_1 = \frac{\sum_{i=1}^n \sum_{t=2}^T (Y_{it} - Y_{i,t-1}) Y_{i,t-2}}{\sum_{i=1}^n \sum_{t=2}^T (Y_{i,t-1} - Y_{i,t-2}) Y_{i,t-2}}$$

podle vzorce pro dvoustupňový odhad se stejným počtem regresorů a instrumentů, viz 1.3, a v případě instrumentů  $Y_{i,t-2} - Y_{i,t-3}$  pak

$$\hat{\delta}_1 = \frac{\sum_{i=1}^n \sum_{t=3}^T (Y_{it} - Y_{i,t-1})(Y_{i,t-2} - Y_{i,t-3})}{\sum_{i=1}^n \sum_{t=3}^T (Y_{i,t-1} - Y_{i,t-2})(Y_{i,t-2} - Y_{i,t-3})}.$$

Označme

$$\mathbf{W}_i = \begin{pmatrix} W_{i,t_*} \\ \vdots \\ W_{i,T} \end{pmatrix}, \quad \mathbf{W} = \begin{pmatrix} \mathbf{W}_1 \\ \vdots \\ \mathbf{W}_n \end{pmatrix}, \quad \Delta \mathbf{Y}_{i*} = \begin{pmatrix} Y_{i,t_*-1} - Y_{i,t_*-2} \\ \vdots \\ Y_{i,T-1} - Y_{i,T-2} \end{pmatrix}, \quad \Delta \mathbf{Y}_* = \begin{pmatrix} \Delta \mathbf{Y}_{1*} \\ \vdots \\ \Delta \mathbf{Y}_{n*} \end{pmatrix},$$

při tomto značení je odhad asymptotické rozptylové matice dvoustupňového odhadu, viz část 1.3,

$$\hat{\sigma}_{2SLS}^2 \cdot \left( \frac{1}{nT} \left( \mathbf{W} (\mathbf{W}^\top \mathbf{W})^{-1} \mathbf{W}^\top \Delta \mathbf{Y}_* \right)^\top \left( \mathbf{W} (\mathbf{W}^\top \mathbf{W})^{-1} \mathbf{W}^\top \Delta \mathbf{Y}_* \right) \right)^{-1},$$

kde

$$\hat{\sigma}_{2SLS}^2 = \frac{1}{nT} \sum_{i=1}^n \sum_{t=1}^T (Y_{it} - \hat{\delta}_1 Y_{i,t-1})^2.$$

Nevyužili jsme však všechny informace o momentech, proto odhad více rozvíjeme v části 3.2.2.

*Poznámka 7.* Pro menší rozptyl Arellano (1989) v numerické části článku doporučuje jako instrumentální proměnnou volit  $Y_{i,t-2}$ . Vlastní porovnání bude provedeno v kapitole 4.

Dále v této části představíme odhady, které využívají zobecněnou metodu momentů, viz 1.4, jednotlivé metody se liší tím, jakou sadu momentových podmínek ke konstrukci odhadu využívají. Pro každý odhad zformulujeme momentové podmínky, ke kterým uvedeme příslušné výběrové populační podmínky. Musíme však vyřešit problém korelovanosti regresorů a chyb. Proto provádíme různé transformace modelu, např. transformace na první diference, a používáme instrumentální proměnné. Následně využijeme princip zobecněné metody momentů, viz 1.4, tj. minimalizujeme kriteriální funkci a odhadujeme asymptotickou varianční matici. Jak konkrétně postupovat, ukážeme v částech 3.2.2 a 3.2.3.

### 3.2.2 Arellanův-Bondův odhad

Stejně jako autoři tohoto odhadu z článku Arellano a Bond (1991) nejprve uvažujme model (3.3) bez dalších regresorů

$$Y_{it} = \delta_1 Y_{i,t-1} + u_{it}, \quad t = 1, \dots, T,$$

a až následně přejdeme k modelu (3.2) s jednou zpožděnou hodnotou a regresory  $\mathbf{X}_{it}$  nekorelovanými s nepozorovanými individuálními efekty  $\mu_i$ ,  $\forall i = 1, \dots, n$  a  $t = 1, \dots, T$ .

Provedeme transformaci na první diference a dostaneme model

$$Y_{it} - Y_{i,t-1} = \delta_1(Y_{i,t-1} - Y_{i,t-2}) + \nu_{it} - \nu_{i,t-1}, \quad t = 2, \dots, T,$$

čímž z modelu vypadnou individuální efekty  $\mu_i$ . Na rozdíl od odhadu v části 3.2.1 nyní použijeme jako instrumenty všechny  $Y_{i,t-2}, \dots, Y_{i0}$ , neboť pro každé  $t = 2, \dots, T$  jsou korelované s  $Y_{i,t-1} - Y_{i,t-2}$ , ale nekorelované s  $\nu_{it} - \nu_{i,t-1}$ .

Uvedeme explicitně několik momentových podmínek. Momentová podmínka pro  $t = 2$  je

$$\mathbf{E}[Y_{i0}(\nu_{i2} - \nu_{i1})] = 0.$$

Momentové podmínky pro  $t = 3$  jsou

$$\mathbf{E}[Y_{i0}(\nu_{i3} - \nu_{i2})] = \mathbf{E}[Y_{i1}(\nu_{i3} - \nu_{i2})] = 0$$

a pro  $t = 4$

$$\mathbf{E}[Y_{i0}(\nu_{i4} - \nu_{i3})] = \mathbf{E}[Y_{i1}(\nu_{i4} - \nu_{i3})] = \mathbf{E}[Y_{i2}(\nu_{i4} - \nu_{i3})] = 0.$$

Označme matice instrumentů pro  $i$ -tý subjekt  $\mathbf{V}_i$ ,  $i = 1, \dots, n$ , jde o blokově diagonální matice

$$\mathbf{V}_i = \begin{pmatrix} Y_{i0} & \mathbf{0} & \dots & \mathbf{0} \\ \mathbf{0} & [Y_{i0}, Y_{i1}] & \dots & \mathbf{0} \\ \vdots & & \ddots & \vdots \\ \mathbf{0} & \dots & \mathbf{0} & [Y_{i0}, \dots, Y_{iT-2}] \end{pmatrix}$$

s  $T - 1$  řádky a  $1 + 2 + \dots + (T - 1) = \frac{(T-1)T}{2}$  sloupcí.

Matice instrumentů  $\mathbb{V}$  je obdélníková,

$$\mathbb{V} = \left( \mathbf{V}_1^\top, \mathbf{V}_2^\top, \dots, \mathbf{V}_n^\top \right)^\top = \begin{pmatrix} \mathbf{V}_1 \\ \mathbf{V}_2 \\ \vdots \\ \mathbf{V}_n \end{pmatrix},$$

s  $n(T-1)$  řádky a  $\frac{(T-1)T}{2}$  sloupci.

Označme

$$\begin{aligned} \Delta\nu_i &= (\nu_{i2} - \nu_{i1}, \dots, \nu_{iT} - \nu_{i,T-1})^\top, \quad i = 1, \dots, n, \\ \Delta\mathbf{Y}_i &= (Y_{i2} - Y_{i1}, \dots, Y_{iT} - Y_{i,T-1})^\top, \quad i = 1, \dots, n, \\ \Delta\mathbf{Y}_{i,-T} &= (Y_{i1} - Y_{i0}, \dots, Y_{iT-1} - Y_{i,T-2})^\top, \quad i = 1, \dots, n, \\ \Delta\mathbf{Y} &= (\Delta\mathbf{Y}_1^\top, \dots, \Delta\mathbf{Y}_n^\top)^\top, \\ \Delta\mathbf{Y}_{-T} &= (\Delta\mathbf{Y}_{1,-T}^\top, \dots, \Delta\mathbf{Y}_{n,-T}^\top)^\top, \\ \Delta\boldsymbol{\nu} &= (\Delta\nu_1^\top, \dots, \Delta\nu_n^\top)^\top. \end{aligned}$$

Chyby  $\nu_{it} - \nu_{i,t-1} = Y_{it} - Y_{i,t-1} - \delta_1(Y_{i,t-1} - Y_{i,t-2})$  jsou nekorelované s instrumenty, což vytváří momentové podmínky odhadu

$$\mathbf{E}[\mathbf{V}_i^\top \Delta\nu_i] = 0 \quad \forall i = 1, \dots, n,$$

kde

$$\Delta\nu_i = (Y_{i2} - Y_{i1} - \delta_1(Y_{i1} - Y_{i0}), \dots, Y_{iT} - Y_{i,T-1} - \delta_1(Y_{iT-1} - Y_{iT-2}))^\top.$$

Celkově tedy máme pro  $i$ -tý subjekt  $\frac{(T-1)T}{2}$  podmínek.

Příslušná výběrová momentová podmínka je

$$\frac{1}{n} \sum_{i=1}^n [\mathbf{V}_i^\top \Delta\nu_i] = 0.$$

Tuto momentovou podmínsku využijeme v odhadu parametru  $\delta_1$  zobecněnou metodou momentů, viz 1.4, kde v prvním kroku minimalizujeme kriteriální funkci s jednotkovou maticí jako maticí vah,

$$\widehat{\delta}_1 = \underset{\delta_1 \in \mathbb{R}}{\operatorname{argmin}} \left[ \frac{1}{n} \sum_{i=1}^n \mathbf{V}_i^\top \Delta\nu_i \right]^\top \left[ \frac{1}{n} \sum_{i=1}^n \mathbf{V}_i^\top \Delta\nu_i \right].$$

Dále postupujeme tak, že spočteme rezidua  $\widehat{\Delta\nu}_i = \Delta\mathbf{Y}_i - \widehat{\delta}_1 \cdot \Delta\mathbf{Y}_{i,-T}$  z prvního kroku a z nich odhadnutou asymptotickou varianční matici až na konstantu

$$\widehat{F} = \frac{1}{n} \sum_{i=1}^n [\mathbf{V}_i^\top \widehat{\Delta\nu}_i] [\mathbf{V}_i^\top \widehat{\Delta\nu}_i]^\top, \tag{3.5}$$

jejíž inverzní matici použijeme jako matici vah v druhém kroku odhadu zobecněnou metodou momentů, tj. minimalizujeme

$$\left[ \frac{1}{n} \sum_{i=1}^n \mathbf{V}_i^\top \Delta\nu_i \right]^\top \widehat{F}^{-1} \left[ \frac{1}{n} \sum_{i=1}^n \mathbf{V}_i^\top \Delta\nu_i \right].$$

Můžeme zvolit i jinou matici vah, označme ji  $W_n$ , a v prvním kroku odhadu zobecněnou metodou momentů minimalizovat

$$\hat{\delta}_1 = \underset{\delta_1 \in \mathbb{R}}{\operatorname{argmin}} \left[ \frac{1}{n} \sum_{i=1}^n \mathbf{V}_i^\top \Delta \nu_i \right]^\top W_n \left[ \frac{1}{n} \sum_{i=1}^n \mathbf{V}_i^\top \Delta \nu_i \right].$$

V případě volby matice vah

$$W_n = \left( \frac{1}{n} \mathbb{V}^\top \mathbb{V} \right)^{-1} = \left( \frac{1}{n} \sum_{i=1}^n \mathbf{V}_i^\top \mathbf{V}_i \right)^{-1},$$

dostaneme odhad

$$\hat{\delta}_1 = \left[ (\Delta \mathbf{Y}_{-T})^\top \mathbb{V} \left( \mathbb{V}^\top \mathbb{V} \right)^{-1} \mathbb{V}^\top (\Delta \mathbf{Y}_{-T}) \right]^{-1} (\Delta \mathbf{Y}_{-T})^\top \mathbb{V} \left( \mathbb{V}^\top \mathbb{V} \right)^{-1} \mathbb{V}^\top \Delta \mathbf{Y},$$

stejný jako dvoustupňový odhad, viz část 1.5 s regresory  $\Delta \mathbf{Y}_{-T}$  a instrumenty  $\mathbb{V}$ .

Kdybychom provedli standardní odhad pomocí instrumentálních proměnných, viz kapitola 1.3, nebo výše popsaný odhad zobecněnou metodou momentů, nebrali bychom v úvahu, že chyby  $\nu_{it} - \nu_{i,t-1}$  jsou rozdíly chyb v původním modelu a tvoří MA(1) proces. Zanedbali bychom, že

$$\mathbf{E}[\Delta \nu_i \Delta \nu_i^\top] = \sigma_\nu^2 G,$$

kde  $G$  je dána předpisem (3.4).

Tento fakt použijeme v odhadu parametru  $\delta_1$  zobecněnou metodou momentů, viz 1.4, a to využitím matice vah

$$W_n = \left( \frac{1}{n} \sum_{i=1}^n \mathbf{V}_i^\top G \mathbf{V}_i \right)^{-1}, \quad (3.6)$$

kde  $G$  je dána vzorcem (3.4). Tento odhad je eficientní, neboť odhad asymptotické varianční matice je

$$\hat{F} \propto \mathbf{var} \left( \frac{1}{\sqrt{n}} \sum_{i=1}^n \mathbf{V}_i^\top \Delta \nu_i | \mathbf{V}_i \right) = \frac{1}{n} \sum_{i=1}^n \mathbf{V}_i^\top \mathbf{var}(\Delta \nu_i | \mathbf{V}_i) \mathbf{V}_i$$

a optimální volba matice vah je  $W_n = \hat{F}^{-1}$ , kladná konstanta nemá na minimizaci kriteriální funkce vliv.

Pro tuto volbu váhové matice dostaneme, za využití předpokladu (P1D) a odvození tvaru argumentu minima v části 1.5, odhad

$$\begin{aligned} \hat{\delta}_1 &= \underset{\delta_1 \in \mathbb{R}}{\operatorname{argmin}} \left[ \frac{1}{n} \sum_{i=1}^n \mathbf{V}_i^\top \Delta \nu_i \right]^\top \left( \frac{1}{n} \sum_{i=1}^n \mathbf{V}_i^\top G \mathbf{V}_i \right)^{-1} \left[ \frac{1}{n} \sum_{i=1}^n \mathbf{V}_i^\top \Delta \nu_i \right] = \\ &= \underset{\delta_1 \in \mathbb{R}}{\operatorname{argmin}} [\mathbb{V}^\top \Delta \boldsymbol{\nu}]^\top W_n [\mathbb{V}^\top \Delta \boldsymbol{\nu}] = \\ &= \left[ (\Delta \mathbf{Y}_{-T})^\top \mathbb{V} W_n \mathbb{V}^\top (\Delta \mathbf{Y}_{-T}) \right]^{-1} (\Delta \mathbf{Y}_{-T})^\top \mathbb{V} W_n \mathbb{V}^\top \Delta \mathbf{Y}. \end{aligned}$$

Tento odhad bychom mohli dále využít k odhadu asymptotické varianční matice  $\hat{F}$  dané vzorcem (3.5), jejíž inverzi bychom využili v druhém kroku odhadu

zobecněnou metodou momentů jako matici vah. Arellano a Bond (1991) uvedli, že v případě volby matice vah (3.6) je jednokrokový odhad asymptoticky (pro  $n \rightarrow \infty$ ) ekvivalentní s odhadem po druhém kroku odhadu zobecněnou metodou momentů s maticí vah  $\hat{F}^{-1}$ , kde  $\hat{F}$  je dána vzorcem (3.5), byla-li v prvním kroku využita zmíněná matice (3.6). V případě volby (3.6) tedy není nutné druhý krok odhadu zobecněnou metodou momentů provádět.

Odhad asymptotického rozptylu odhadu parametru  $\delta_1$  podle věty 3 je

$$\hat{V}_{GMM} = \frac{(\Delta \mathbf{Y}_{-T})^\top \mathbb{V} W_n \hat{F} W_n \mathbb{V}^\top (\Delta \mathbf{Y}_{-T})}{((\Delta \mathbf{Y}_{-T})^\top \mathbb{V} W_n \mathbb{V}^\top (\Delta \mathbf{Y}_{-T}))^2}.$$

*Poznámka 8.* Alternativně můžeme odhad parametru  $\delta_1$  získat odhadem metodou zobecněných nejmenších čtverců, viz 1.2, v modelu

$$\mathbb{V}^\top \Delta \mathbf{Y} = \delta_1 \mathbb{V}^\top \Delta \mathbf{Y}_{-T} + \mathbb{V}^\top \Delta \boldsymbol{\nu},$$

neboť varianční matice chyb  $\mathbb{V}^\top \Delta \boldsymbol{\nu}$  je  $\boldsymbol{\Omega} = \mathbb{V}^\top (\mathbb{I}_n \otimes G) \mathbb{V} = \sum_{i=1}^n \mathbf{V}_i^\top G \mathbf{V}_i$  a dostaneme tak stejný odhad parametru  $\delta_1$  jako při odhadu zobecněnou metodou momentů s maticí vah (3.6).

Přejděme nyní k modelu (3.2). V tomto modelu opět provedeme transformaci na první diference

$$Y_{it} - Y_{i,t-1} = \delta_1(Y_{i,t-1} - Y_{i,t-2}) + (\mathbf{X}_{it} - \mathbf{X}_{i,t-1})^\top \boldsymbol{\beta} + \nu_{it} - \nu_{i,t-1},$$

k instrumentům  $Y_{i,t-2}, \dots, Y_{i0}$  přidáme jako další instrumenty  $\mathbf{X}_{i1}, \dots, \mathbf{X}_{iT}$ .

Uvedeme opět několik prvních momentových podmínek, pro  $t = 2$  to budou

$$\mathbf{E}[Y_{i0}(\nu_{i2} - \nu_{i1})] = 0$$

a

$$\mathbf{E}[\mathbf{X}_{i1}(\nu_{i2} - \nu_{i1})] = \mathbf{E}[\mathbf{X}_{i2}(\nu_{i2} - \nu_{i1})] = \dots = \mathbf{E}[\mathbf{X}_{iT}(\nu_{i2} - \nu_{i1})] = 0,$$

pro  $t = 3$

$$\mathbf{E}[Y_{i0}(\nu_{i3} - \nu_{i2})] = \mathbf{E}[Y_{i1}(\nu_{i3} - \nu_{i2})] = 0$$

a

$$\mathbf{E}[\mathbf{X}_{i1}(\nu_{i3} - \nu_{i2})] = \mathbf{E}[\mathbf{X}_{i2}(\nu_{i3} - \nu_{i2})] = \dots = \mathbf{E}[\mathbf{X}_{iT}(\nu_{i3} - \nu_{i2})] = 0,$$

a pro  $t = 4$  pak

$$\mathbf{E}[Y_{i0}(\nu_{i4} - \nu_{i3})] = \mathbf{E}[Y_{i1}(\nu_{i4} - \nu_{i3})] = \mathbf{E}[Y_{i2}(\nu_{i4} - \nu_{i3})] = 0$$

a

$$\mathbf{E}[\mathbf{X}_{i1}(\nu_{i4} - \nu_{i3})] = \mathbf{E}[\mathbf{X}_{i2}(\nu_{i4} - \nu_{i3})] = \dots = \mathbf{E}[\mathbf{X}_{iT}(\nu_{i4} - \nu_{i3})] = 0.$$

Matice instrumentů  $\mathbb{V}$  má stejnou strukturu jako v předchozí situaci. Jednotlivé  $\mathbf{V}_i^\top$ ,  $i = 1, \dots, n$ , jsou rovněž blokově diagonální,

$$\mathbf{V}_i^\top = \begin{pmatrix} \begin{bmatrix} Y_{i0} \\ \mathbf{X}_{i1} \\ \vdots \\ \mathbf{X}_{iT} \end{bmatrix} & \mathbf{0} & \dots & \mathbf{0} \\ \mathbf{0} & \begin{bmatrix} Y_{i0} \\ Y_{i1} \\ \vdots \\ \mathbf{X}_{iT} \end{bmatrix} & \dots & \mathbf{0} \\ \vdots & \ddots & & \vdots \\ \mathbf{0} & \dots & \mathbf{0} & \begin{bmatrix} Y_{i0} \\ \vdots \\ Y_{i,T-2} \\ \mathbf{X}_{i1} \\ \vdots \\ \mathbf{X}_{iT} \end{bmatrix} \end{pmatrix},$$

mají  $T - 1$  sloupců a  $\frac{(T-1)T}{2} + k \cdot (T - 1) \cdot T = \left(\frac{1}{2} + k\right)(T - 1) \cdot T$  řádků, kde  $k$  je rozměr  $\mathbf{X}_{it}$ .

Momentové podmínky odhadu zobecněnou metodou momentů jsou

$$\mathbf{E}[\mathbf{V}_i^\top \Delta \nu_i] = 0 \quad \forall i = 1, \dots, n.$$

Pro každý subjekt máme  $\left(\frac{1}{2} + k\right)(T - 1) \cdot T$  podmínek.

Označme

$$\begin{aligned} \Delta \mathbb{X}_i &= \begin{pmatrix} \mathbf{X}_{i2}^\top - \mathbf{X}_{i1}^\top \\ \vdots \\ \mathbf{X}_{iT}^\top - \mathbf{X}_{i,T-1}^\top \end{pmatrix} \quad i = 1, \dots, n, \\ \mathbb{W} &= \begin{pmatrix} \Delta \mathbf{Y}_{1,-T} & \Delta \mathbb{X}_1 \\ \Delta \mathbf{Y}_{2,-T} & \Delta \mathbb{X}_2 \\ \vdots & \vdots \\ \Delta \mathbf{Y}_{n,-T} & \Delta \mathbb{X}_n \end{pmatrix}. \end{aligned}$$

Momentové podmínky použijeme v odhadu zobecněnou metodou momentů, viz kapitola 1.4. Odhad touto metodou je

$$\begin{pmatrix} \hat{\delta} \\ \hat{\beta} \end{pmatrix} = (\mathbb{W}^\top \mathbb{V} W_n \mathbb{V}^\top \mathbb{W})^{-1} \mathbb{W}^\top \mathbb{V} W_n \mathbb{V}^\top \Delta \mathbf{Y},$$

viz část 1.5 s regresory  $\mathbb{W}$  a instrumenty  $\mathbb{V}$ . Při minimalizaci kriteriální funkce standardně v prvním kroku odhadu můžeme použít jako matici vah  $W_n$  jednotkovou matici, případně můžeme použít matici vah danou vzorcem (3.6) a druhý krok neprovádět.

Odhad lze upravit pro případ, kdy některé z exogenních regresorů jsou korelované s individuálními náhodnými efekty, viz konec sekce 2 článku Arellano a Bond (1991).

### 3.2.3 Arellanův-Boverův odhad

Uvažujme model (3.2) s jednou zpožděnou hodnotou a regresory  $\mathbf{X}_{it}$  nekorelovanými s individuálními efekty  $\mu_i$  pro  $\forall i = 1, \dots, n$  a  $\forall t = 1, \dots, T$ .

Arellano a Bover (1995) navrhli sjednocující postup odhadu zobecněnou metodou momentů, kdy nejprve provedeme transformaci modelu pomocí matice

$$\mathbb{H} = \begin{pmatrix} \mathbb{C} \\ \frac{1}{T} \cdot \mathbf{1}_T^\top \end{pmatrix},$$

kde  $\mathbf{1}_T$  je jednotkový vektor délky  $T$  a  $\mathbb{C}$  je jakákoli matice s  $T - 1$  řádky a  $T$  sloupce taková, že  $\mathbb{C}\mathbf{1}_T = 0$ . Tím, že matice  $\mathbb{H}$  má poslední řádek jiný, budeme pro jakoukoliv transformaci modelu mít vždy k dispozici  $T$  rovnic. Jinak bychom např. při transformaci na první diference měli jen  $T - 1$  rovnic. Dále by z modelu vypadly efekty neměnné v čase, jejichž parametry bychom v případě, že by poslední řádek nevytvářel průměrnou hodnotu (ale např. první diferenci nebo odchylku od průměru), nemohli odhadnout.

Pro  $i$ -tý subjekt tak dostaneme model

$$\mathbb{H}\mathbf{Y}_i = \delta_1 \mathbb{H}\mathbf{Y}_{i,-T} + \mathbb{H}\mathbf{X}_i^\top \boldsymbol{\beta} + \mathbb{H}\mu_i \mathbf{1}_T + \mathbb{H}\boldsymbol{\nu}_i, \quad (3.7)$$

kde  $\mathbf{Y}_i$ ,  $\mathbf{Y}_{i,-T}$  a  $\mathbf{X}_i$  jsou zavedeny v částech 2.2 a 3.1.2.

Jako transformační matici  $\mathbb{H}$  s dimenzemi  $T \times T$  můžeme volit

$$\mathbb{H} = \begin{pmatrix} 1 - \frac{1}{T} & -\frac{1}{T} & \cdots & -\frac{1}{T} \\ -\frac{1}{T} & 1 - \frac{1}{T} & \cdots & -\frac{1}{T} \\ \vdots & \ddots & & \vdots \\ -\frac{1}{T} & \cdots & 1 - \frac{1}{T} & -\frac{1}{T} \\ \frac{1}{T} & \cdots & \frac{1}{T} & \frac{1}{T} \end{pmatrix}.$$

Když vynásobíme zleva maticí  $\mathbb{H}$  nějaký vektor  $z$  délky  $T$ , prvních  $T - 1$  prvků výsledného vektoru budou odchylky od průměrné hodnoty prvků ve vektoru,  $z_t - \bar{z}_T$ , a poslední prvek bude průměr  $\bar{z}_T$ .

Provedeme tak uvnitř-skupinovou transformaci, čímž dostaneme model

$$Y_{it} - \bar{Y}_{i\bullet} = \delta_1(Y_{i,t-1} - \bar{Y}_{i\bullet,-T}) + (\mathbf{X}_{it} - \bar{\mathbf{X}}_{i\bullet})^\top \boldsymbol{\beta} + \nu_{it} - \bar{\nu}_{i\bullet}, \quad t = 1, \dots, T - 1,$$

jehož odhad byl rovněž popsán v části 3.1.2, a kde  $\bar{Y}_{i\bullet}$ ,  $\bar{Y}_{i\bullet,-T}$ ,  $\bar{\mathbf{X}}_{i\bullet}$ ,  $\bar{\nu}_{i\bullet}$  jsou definovány stejně jako v části 3.1.2. V tomto případě využijeme, že

$$\mathbf{E}[\mathbf{X}_{it}(u_{is} - \bar{u}_{i\bullet})] = \mathbf{E}[\mathbf{X}_{it}(\nu_{is} - \bar{\nu}_{i\bullet})] = 0 \text{ pro } i = 1, \dots, n, s, t = 1, \dots, T - 1,$$

kde  $\bar{u}_{i\bullet} = \frac{1}{T} \sum_{t=1}^T u_{it}$ .

Nebo využijeme matici

$$\mathbb{H} = \begin{pmatrix} -1 & 1 & 0 & \cdots & 0 \\ 0 & -1 & 1 & \cdots & 0 \\ \vdots & \ddots & \ddots & \ddots & \vdots \\ 0 & \cdots & 0 & -1 & 1 \\ \frac{1}{T} & \cdots & \frac{1}{T} & \frac{1}{T} & \frac{1}{T} \end{pmatrix},$$

čímž provedeme pro  $t = 2, \dots, T$  transformaci na první difference a dostaneme model

$$Y_{it} - Y_{i,t-1} = \delta_1(Y_{i,t-1} - Y_{i,t-2}) + (\mathbf{X}_{it} - \mathbf{X}_{i,t-1})^\top \boldsymbol{\beta} + \nu_{it} - \nu_{i,t-1},$$

který jsme odhadovali v předchozí části 3.2.2 a který využívá

$$\begin{aligned} \mathbf{E}[\mathbf{X}_{it}(u_{is} - u_{i,s-1})] &= \mathbf{E}[\mathbf{X}_{it}(\nu_{is} - \nu_{i,s-1})] = 0 \text{ pro } i = 1, \dots, n, \\ t &= 1, \dots, T, s = 2, \dots, T. \end{aligned}$$

Instrumenty  $\mathbf{V}_i$  pro odhad (3.7) budou obsahovat vždy  $T - 1$  instrumentů stejného typu a poslední řádek bude jiný. Matice instrumentů pro  $i$ -tý subjekt má  $T$  řádků,  $b + c + d$  sloupců (konkrétně dále) a strukturu

$$\mathbf{V}_i = \begin{pmatrix} \mathbf{V}_{i1}^\top & \mathbf{0} & \dots & \dots & \mathbf{0} \\ \mathbf{0} & \mathbf{V}_{i2}^\top & \dots & \dots & \mathbf{0} \\ \vdots & & \ddots & & \vdots \\ \mathbf{0} & \mathbf{0} & \dots & \mathbf{V}_{iT-1}^\top & \mathbf{0} \\ \mathbf{0} & \dots & \dots & \mathbf{0} & \mathbf{a}_i^\top \end{pmatrix}.$$

Jednotlivé  $\mathbf{V}_{it}^\top$ , které slouží jako instrumenty pro odhad prvních  $T - 1$  rovnic, mohou obsahovat následující

- $\mathbf{X}_{it}^\top, \mathbf{X}_{i,t-1}^\top$ , pak  $b = (T - 1) \cdot 2k$ ,
- $\mathbf{X}_{i1}^\top, \dots, \mathbf{X}_{iT}^\top$ , pak  $b = (T - 1) \cdot Tk$ ,
- $\mathbf{X}_{i1}^\top, \dots, \mathbf{X}_{it}^\top$ , pak  $b = \frac{(T-1)T}{2} \cdot k$

a k tomu vždy ještě  $Y_{i0}, \dots, Y_{i,t-2}$ ,  $c = \frac{(T-1)T}{2}$ .

Poslední řádek  $\mathbf{a}_i^\top$ , který slouží jako instrument pro poslední rovnici, může být  $\bar{\mathbf{X}}_{i\bullet}$ , resp.  $[\mathbf{X}_{i1}^\top, \mathbf{X}_{i2}^\top, \dots, \mathbf{X}_{iT}^\top]$ . Pak  $d = k$ , resp.  $d = Tk$ .

Momentové podmínky odhadu zobecněnou metodou momentů, viz část 1.4, pro kteroukoli volbu matice  $\mathbb{H}$  jsou

$$\mathbf{E}[\mathbf{V}_i^\top \mathbb{H} \mathbf{u}_i] = 0 \quad \forall i = 1, \dots, n,$$

kde  $\mathbf{u}_i = (u_{i1}, u_{i2}, \dots, u_{iT})^\top$ . Počet podmínek pro subjekt se liší v závislosti na tom, co obsahuje  $\mathbf{V}_{it}$ .

K nim příslušné populační momentové podmínky jsou

$$\frac{1}{n} \sum_{i=1}^n \mathbf{V}_i^\top \mathbb{H} \mathbf{u}_i = \frac{1}{n} \sum_{i=1}^n \mathbf{V}_i^\top \mathbb{H} (\mathbf{Y}_i - \delta_1 \mathbf{Y}_{i,-T} - \mathbf{X}_i^\top \boldsymbol{\beta}) = 0,$$

kde  $\mathbf{Y}_{i,-T} = (Y_{i0}, \dots, Y_{iT-1})^\top$  a  $\mathbf{X}_i$  obsahuje v řádcích  $\mathbf{X}_{i1}^\top, \dots, \mathbf{X}_{iT}^\top$ .

Označíme všechny regresory

$$\mathbf{W}_{it}^\top = (Y_{i,t-1}, \mathbf{X}_{it}^\top), \quad i = 1, \dots, n, t = 1, \dots, T,$$

dále označme

$$\mathbf{W}_i = \begin{bmatrix} \mathbf{W}_{i1}^\top \\ \mathbf{W}_{i2}^\top \\ \vdots \\ \mathbf{W}_{iT}^\top \end{bmatrix} \quad \text{a} \quad \mathbf{Y}_i = \begin{bmatrix} Y_{i1} \\ Y_{i2} \\ \vdots \\ Y_{iT} \end{bmatrix}.$$

Pro odhad v kroku 1. odhadu zobecněnou metodou momentů použijeme standardně jednotkovou matici a tedy minimalizujeme

$$\left[ \frac{1}{n} \sum_{i=1}^n \mathbf{V}_i^\top \mathbb{H} \mathbf{u}_i \right]^\top \left[ \frac{1}{n} \sum_{i=1}^n \mathbf{V}_i^\top \mathbb{H} \mathbf{u}_i \right],$$

čímž dostaneme odhady  $(\hat{\delta}_1, \hat{\beta}^\top)^\top$  parametrů  $(\delta_1, \beta^\top)^\top$  modelu (3.2) a rezidua

$$\hat{\mathbf{u}}_i = \mathbf{Y}_i - \mathbf{W}_i (\hat{\delta}_1, \hat{\beta}^\top)^\top, \quad i = 1, \dots, n,$$

které využijeme k odhadu asymptotické varianční matice  $F$ ,

$$\hat{F} = \frac{1}{n} \sum_{i=1}^n [\mathbf{V}_i^\top \mathbb{H} \hat{\mathbf{u}}_i] [\mathbf{V}_i^\top \mathbb{H} \hat{\mathbf{u}}_i]^\top.$$

Inverzi k matici  $\hat{F}$  využijeme v druhém kroku odhadu jako matici vah, tzn. že minimalizujeme

$$\left[ \frac{1}{n} \sum_{i=1}^n \mathbf{V}_i^\top \mathbb{H} \mathbf{u}_i \right]^\top \hat{F}^{-1} \left[ \frac{1}{n} \sum_{i=1}^n \mathbf{V}_i^\top \mathbb{H} \mathbf{u}_i \right].$$

Případně můžeme v kroku 1. uvažovat jako matici vah

$$W_n = \left( \frac{1}{n} \sum_{i=1}^n \mathbf{V}_i^\top \mathbb{H}^\top \mathbb{H} \mathbf{V}_i \right)^{-1},$$

čímž dostaneme odhad parametrů

$$\begin{pmatrix} \hat{\delta}_1 \\ \hat{\beta} \end{pmatrix} = \underset{\delta_1 \in \mathbb{R}, \beta \in \mathbb{R}^k}{\operatorname{argmin}} \left[ \frac{1}{n} \sum_{i=1}^n \mathbf{V}_i^\top \mathbb{H} \mathbf{u}_i \right]^\top \left( \frac{1}{n} \sum_{i=1}^n \mathbf{V}_i^\top \mathbb{H}^\top \mathbb{H} \mathbf{V}_i \right)^{-1} \left[ \frac{1}{n} \sum_{i=1}^n \mathbf{V}_i^\top \mathbb{H} \mathbf{u}_i \right],$$

stejný jako je dvoustupňový odhad metodou nejmenších čtverců. Model však nemusí být homoskedastický, proto odhad využijeme k výpočtu reziduí a pokračujeme druhým krokem stejně jako v případě jednotkové matice vah.

Další možností je konzistentně odhadnout parametry  $(\delta_1, \beta_1^\top)^\top$  v kroku 1. pomocí jednotkové matice jako matice vah. Následně využijeme struktury varianční matice chyb  $\mathbf{u}_i$  pro model s náhodnými efekty,  $\Sigma$ , z kapitoly 2.3, kde potřebné odhady  $\hat{\sigma}_\mu^2$  a  $\hat{\sigma}_\nu^2$  spočteme z reziduí  $\hat{\mathbf{u}}_i$ ,  $i = 1, \dots, n$ , a jako matici vah v kroku 2. vezmeme inverzní matici k matici

$$\hat{F} = \frac{1}{n} \sum_{i=1}^n \mathbf{V}_i^\top \mathbb{H} \hat{\Sigma} \mathbb{H}^\top \mathbf{V}_i.$$

Původně jsme totiž uvažovali

$$\hat{F} = \frac{1}{n} \sum_{i=1}^n \mathbf{V}_i^\top \mathbb{H} \hat{\mathbf{u}}_i \hat{\mathbf{u}}_i^\top \mathbb{H}^\top \mathbf{V}_i \propto \widehat{\operatorname{var}} \left( \frac{1}{\sqrt{n}} \sum_{i=1}^n \mathbf{V}_i^\top \mathbb{H} \mathbf{u}_i \right)$$

a nyní jen vylepšíme odhad  $\hat{\Sigma} = \widehat{\operatorname{var}} \mathbf{u}_i$  uvažováním struktury matice  $\Sigma$  pro model s náhodnými efekty.

### 3.2.4 Ahnův-Schmidtův odhad

Ahn a Schmidt (1995) ve svém článku ukázali, že Arellanův-Bondův odhad, viz část 3.2.2, nebene v úvahu nelineární momentové podmínky, jejichž přidání může zlepšit chování odhadu.

Uvažujme model (3.3),  $Y_{it} = \delta_1 Y_{i,t-1} + u_{it}$ , s jednou zpožděnou hodnotou bez dalších regresorů.

Uvažujme předpoklady na dynamický model z úvodu kapitoly 3 a předpoklad  $\text{cov}[\nu_{it}, Y_{i0}] = 0$  pro každé  $i = 1, \dots, n$  a  $t = 1, \dots, T$ . Ahn a Schmidt navrhli k momentovým podmínkám Arellanova-Bondova odhadu

$$\mathbf{E}[Y_{is}(u_{it} - u_{i,t-1})] = \mathbf{E}[Y_{is}(\nu_{it} - \nu_{i,t-1})] = 0, \quad t = 2, \dots, T, \quad s = 0, \dots, t-2,$$

přidat nelineární momentové podmínky

$$\mathbf{E}[u_{iT}(u_{it} - u_{i,t-1})] = \mathbf{E}[u_{iT}(\nu_{it} - \nu_{i,t-1})] = 0, \quad t = 2, \dots, T-1,$$

kterých je pro každý subjekt  $T-2$ .

Uvedené momentové podmínky vycházejí z modelu pro první difference pro  $t = 2, \dots, T$ ,

$$Y_{it} - Y_{i,t-1} = \delta_1(Y_{i,t-1} - Y_{i,t-2}) + \nu_{it} - \nu_{i,t-1}$$

a rovnice modelu pro  $t = T$ ,

$$Y_{iT} = \delta_1 Y_{i,T-1} + u_{iT}.$$

Ahn a Schmidt (1995) uvedli také druhou variantu momentových podmínek,

$$\begin{aligned} \mathbf{E}[Y_{i0}u_{it}] - k_1 &= 0, \quad \forall t = 1, \dots, T, \\ \mathbf{E}[u_{is}u_{it}] - k_2 &= 0, \quad \forall s \neq t = 1, \dots, T, \end{aligned} \tag{3.8}$$

těchto podmínek je  $T-1$  a  $\frac{(T-1)T}{2} - 1$ . Konstanta  $k_2$  je rovna  $\sigma_\mu^2$  z předpokladu na rozptyl individuálních efektů  $\mu_i$ ,  $i = 1, \dots, n$ .

**Tvrzení 6.** Necht platí (P2), (P4N) a  $\text{cov}[\nu_{it}, Y_{i0}] = 0$  pro každé  $i = 1, \dots, n$  a  $t = 1, \dots, T$ . Pak platí (3.8) právě tehdy, když platí

$$\begin{aligned} \mathbf{E}[Y_{is}(u_{it} - u_{i,t-1})] &= \mathbf{E}[Y_{is}(\nu_{it} - \nu_{i,t-1})] = 0, \quad t = 2, \dots, T, \quad s = 0, \dots, t-2, \\ \mathbf{E}[u_{iT}(u_{it} - u_{i,t-1})] &= \mathbf{E}[u_{iT}(\nu_{it} - \nu_{i,t-1})] = 0, \quad t = 2, \dots, T-1. \end{aligned}$$

*Důkaz.* Naznačíme pro několik prvních  $t$ .

- Předpokládejme, že platí  $\mathbf{E}[Y_{i0}u_{it}] = k_1$ ,  $t = 1, \dots, T$  a  $\mathbf{E}[u_{is}u_{it}] = k_2$ ,  $s \neq t = 1, \dots, T$ .

Pak  $\mathbf{E}[u_{iT}(u_{it} - u_{i,t-1})] = k_2 - k_1 = 0$  pro  $t = 2, \dots, T-1$  a  $\mathbf{E}[Y_{i0}(u_{i2} - u_{i1})] = k_1 - k_1 = 0$ ,  $\mathbf{E}[Y_{i0}(u_{i3} - u_{i2})] = k_1 - k_1 = 0$ .

Dále pak  $\mathbf{E}[Y_{i1}(u_{i3} - u_{i2})] = \mathbf{E}[(\delta_1 Y_{i0} + u_{i1})(u_{i3} - u_{i2})] = \delta_1 \mathbf{E}Y_{i0}u_{i3} - \delta_1 \mathbf{E}Y_{i0}u_{i2} + \mathbf{E}u_{i1}u_{i3} - \mathbf{E}u_{i1}u_{i2} = \delta_1 k_1 - \delta_1 k_1 + k_2 - k_2 = 0$  atd.

- Předpokládejme nyní naopak, že platí  $\mathbf{E}[Y_{is}(u_{it} - u_{i,t-1})] = 0$ ,  $t = 2, \dots, T$ ,  $s = 0, \dots, t-2$  a  $\mathbf{E}[u_{iT}(u_{it} - u_{i,t-1})] = 0$ ,  $t = 2, \dots, T-1$ .

Pak z  $\mathbf{E}[Y_{i0}(u_{i2} - u_{i1})] = 0$  platí  $\mathbf{E}[Y_{i0}u_{i2}] = \mathbf{E}[Y_{i0}u_{i1}] = k_1$ .

Z  $\mathbf{E}[Y_{i0}(u_{i3} - u_{i2})] = 0$  platí  $\mathbf{E}[Y_{i0}u_{i3}] = \mathbf{E}[Y_{i0}u_{i2}] = k_1$  a z  $\mathbf{E}[Y_{i1}(u_{i3} - u_{i2})] = \mathbf{E}[(\delta_1 Y_{i0} + u_{i1})(u_{i3} - u_{i2})] = \delta_1 \mathbf{E}[Y_{i0}(u_{i3} - u_{i2})] + \mathbf{E}[u_{i1}u_{i3}] - \mathbf{E}[u_{i1}u_{i2}] = 0$  platí  $\mathbf{E}[u_{i1}u_{i3}] = \mathbf{E}[u_{i1}u_{i2}] = k_2$  atd.

Nakonec z  $\mathbf{E}[u_{iT}(u_{i,T-1} - u_{i,T-2})] = 0$  platí  $\mathbf{E}u_{iT}u_{i,T-1} = \mathbf{E}u_{iT}u_{i,T-2}$ .

□

Na druhou variantu momentových podmínek (3.8) můžeme nahlížet jako na omezení na strukturu varianční matice

$$\text{var} \begin{pmatrix} u_{i1} \\ \vdots \\ u_{iT} \\ Y_{i0} \end{pmatrix} = \begin{pmatrix} \sigma_\nu^2 + \sigma_\mu^2 & \sigma_\mu^2 & \cdots & \sigma_\mu^2 & \mathbf{E}[Y_{i0}u_{i1}] \\ \sigma_\mu^2 & \sigma_\nu^2 + \sigma_\mu^2 & \cdots & \sigma_\mu^2 & \mathbf{E}[Y_{i0}u_{i2}] \\ \vdots & & \ddots & \vdots & \vdots \\ \sigma_\mu^2 & \cdots & \sigma_\mu^2 & \sigma_\nu^2 + \sigma_\mu^2 & \mathbf{E}[Y_{i0}u_{iT}] \\ \mathbf{E}[Y_{i0}u_{i1}] & \cdots & \mathbf{E}[Y_{i0}u_{iT-1}] & \mathbf{E}[Y_{i0}u_{iT}] & \text{var} Y_{i0} \end{pmatrix},$$

kde  $\sigma_\mu^2$ , resp.  $\sigma_\nu^2$  jsou rozptyly individuálních efektů, resp. zbytkových chyb z předpokladů pro dynamický model.

Matice instrumentů pro  $i$ -tý subjekt nyní bude mít strukturu

$$\mathbf{Z}_i^\top = \begin{pmatrix} \mathbf{V}_i^\top & \mathbf{0} \\ \mathbf{0} & \mathbb{I}_{T-2} \end{pmatrix},$$

kde matice  $\mathbf{V}_i^\top$  je matice instrumentů Arellanova-Bondova odhadu, viz strana 34. Matice  $\mathbf{Z}_i^\top$  mají  $T-1+T-2$  sloupce a  $(1+2+\dots+(T-1))+T-2 = \frac{(T-1)T}{2}+T-2$  řádků.

Momentové podmínky uvedené v první variantě jsou

$$\mathbf{E}[\mathbf{Z}_i^\top s_i] = 0 \quad \forall i = 1, \dots, n,$$

kde

$$s_i = ((\Delta\nu_i)^\top, u_{iT}(Y_{i2} - Y_{i1} - \delta_1(Y_{i1} - Y_{i0})), \dots, u_{iT}(Y_{iT-1} - Y_{iT-2} - \delta_1(Y_{iT-2} - Y_{iT-3})))^\top,$$

kde  $u_{iT} = Y_{iT} - \delta_1 Y_{iT-1}$  a

$$\Delta\nu_i = (Y_{i2} - Y_{i1} - \delta_1(Y_{i1} - Y_{i0}), \dots, Y_{iT} - Y_{iT-1} - \delta_1(Y_{iT-1} - Y_{iT-2}))^\top.$$

Celkově tedy máme pro  $i$ -tý subjekt  $\frac{(T-1)T}{2}+T-2$  podmínek.

Příslušná výběrová podmínka pak je

$$\frac{1}{n} \sum_{i=1}^n [\mathbf{Z}_i^\top s_i] = 0.$$

Odhad parametru  $\delta_1$  zobecněnou metodou momentů dostaneme jako

$$\hat{\delta}_1 = \underset{\delta_1 \in \mathbb{R}}{\operatorname{argmin}} \left[ \frac{1}{n} \sum_{i=1}^n \mathbf{Z}_i^\top s_i \right]^\top W_n \left[ \frac{1}{n} \sum_{i=1}^n \mathbf{Z}_i^\top s_i \right],$$

kde v prvním kroku použijeme jako matici vah  $W_n$  jednotkovou matici  $\mathbb{I}_{\frac{(T-1)T}{2}+T-2}$  a spočteme  $\hat{s}_i$ , což je vektor  $s_i$  s dosazením  $\hat{\delta}_1$  z kroku 1. za  $\delta_1$ . Při uvažování podmínek v uvedeném tvaru nelze tento odhad jednoduše zapsat jako v části 1.5, kde byly všechny uvažované podmínky lineární. V druhém kroku pak jako matici vah použijeme  $W_n = \hat{F}^{-1}$ , kde

$$\hat{F} = \frac{1}{n} \sum_{i=1}^n [\mathbf{Z}_i^\top \hat{s}_i] [\hat{s}_i^\top \mathbf{Z}_i] \propto \widehat{\text{var}} \left( \frac{1}{\sqrt{n}} \sum_{i=1}^n \mathbf{Z}_i^\top s_i \right),$$

tato volba matice vah  $W_n$  je optimální z teorie odhadu zobecněnou metodou momentů, viz 1.4.

Případně bychom mohli v prvním kroku použít matici vah

$$\begin{aligned} W_n &= \left( \frac{1}{n} \sum_{i=1}^n \mathbf{Z}_i^\top \begin{pmatrix} G & \mathbf{0} \\ \mathbf{0} & \mathbb{I}_{T-2} \end{pmatrix} \mathbf{Z}_i \right)^{-1} = \begin{pmatrix} \frac{1}{n} \sum_{i=1}^n \mathbf{V}_i^\top G \mathbf{V}_i & \mathbf{0} \\ \mathbf{0} & \mathbb{I}_{T-2} \end{pmatrix}^{-1} \\ &= \begin{pmatrix} \left( \frac{1}{n} \sum_{i=1}^n \mathbf{V}_i^\top G \mathbf{V}_i \right)^{-1} & \mathbf{0} \\ \mathbf{0} & \mathbb{I}_{T-2} \end{pmatrix}, \end{aligned}$$

kde  $G$  je dána vzorcem (3.4), a využít tak v levém horním bloku informaci o struktuře varianční matice  $\Delta\nu_i$  podobně jako v Arellanově-Bondově odhadu v části 3.2.2, pro nelineární podmínky je pak v pravém dolním bloku použita jednotková matice. Pro Ahnův-Schmidtův odhad však neexistuje matice vah taková, že bychom v prvním kroku dostali odhad asymptoticky ekvivalentní s odhadem po druhém kroku odhadu zobecněnou metodou momentů, jak uvedli v části 4.3 Blundell a Bond (1998).

Budeme-li uvažovat model (3.2), přidáme k uvedeným momentovým podmínkám, stejně jako v Arellanově-Bondově odhadu, další momentové podmínky  $\mathbf{E}[\mathbf{X}_{it}(u_{is} - u_{i,s-1})] = 0$ ,  $t = 1, \dots, T$  a  $s = 2, \dots, T$ . Matice instrumentů  $\mathbf{Z}_i$  pak bude mít následující strukturu, další postup by byl analogický,

$$\mathbf{Z}_i^\top = \begin{pmatrix} \begin{bmatrix} Y_{i0} \\ \mathbf{X}_{i1} \\ \vdots \\ \mathbf{X}_{iT} \end{bmatrix} & \mathbf{0} & \dots & \mathbf{0} & \mathbf{0} \\ \mathbf{0} & \begin{bmatrix} Y_{i0} \\ Y_{i1} \\ \mathbf{X}_{i1} \\ \vdots \\ \mathbf{X}_{iT} \end{bmatrix} & \dots & \mathbf{0} & \mathbf{0} \\ \vdots & \ddots & \vdots & \vdots & \vdots \\ \mathbf{0} & \dots & \mathbf{0} & \begin{bmatrix} Y_{i0} \\ \vdots \\ Y_{i,T-2} \\ \mathbf{X}_{i1} \\ \vdots \\ \mathbf{X}_{iT} \end{bmatrix} & \mathbf{0} \\ \mathbf{0} & \mathbf{0} & \dots & \mathbf{0} & \mathbb{I}_{T-2} \end{pmatrix}.$$

## 4. Simulace

V této kapitole pomocí simulací v programu R od R Core Team (2020) porovnáme různé odhady parametrů v dynamickém modelu panelových dat. Byly použity knihovny `plm` autora Millo (2017), pro práci s maticemi knihovny `pracma` od Borchers (2022), `Matrix` od Bates a Maechler (2019) a `lfd` od Tang a kol. (2016). Funkce pro výpočty odhadů byly samostatně implementovány na základě metod popsaných v předchozích kapitolách, některé byly srovnány s odhady z knihoven `nlme` od Pinheiro a kol. (2020), `dynlm` od Zeileis (2019) a `pdynmc` od Fritsch a kol. (2021).

Uvedené hodnoty různých charakteristik odhadů jsou spočteny na základě  $N = 1000$  opakování simulací. Individuální efekty, resp. zbytkové chyby generujeme z normálního rozdělení,

$$\mu_i \sim N(0, \sigma_\mu^2), \quad \nu_{it} \sim N(0, \sigma_\nu^2),$$

pro zvolené hodnoty  $\sigma_\mu^2$  a  $\sigma_\nu^2$ . Pro dosažení stacionarity jsou data generovaná pro  $t = -49, \dots, T$ , přičemž k analýze jsou využita jen data pro  $T \geq 0$ . Odpovídá to praktické situaci, kdy hodnoty začneme pozorovat v čase 1, avšak děj, který za modelem stojí, již nějakou dobu probíhá. Jako počáteční hodnotu  $Y_{i,-49}$  volíme 0. Regresory  $X_{it}$  generujeme nezávisle na sobě z  $N(1,1)$ . Takto si pomocí generátoru pseudonáhodných čísel připravíme data s  $n$  subjekty v  $T$  časech.

Odhady budeme porovnávat pomocí odhadu vychýlení

$$\text{vych.} = \frac{1}{N} \sum_{j=1}^N \hat{\delta}_{1,j} - \delta_1,$$

výběrové směrodatné odchylky (sd)

$$\sqrt{\frac{1}{N-1} \sum_{j=1}^N \left( \hat{\delta}_{1,j} - \frac{1}{N} \sum_{j=1}^N \hat{\delta}_{1,j} \right)^2}$$

a odmocninové střední čtvercové chyby

$$\text{RMSE} = \sqrt{\frac{1}{N} \sum_{j=1}^N \left( \hat{\delta}_{1,j} - \delta_1 \right)^2},$$

kde  $\hat{\delta}_{1,j}$  je odhad parametru  $\delta_1$  spočtený na základě  $j$ -tého opakování simulace, pro  $\beta_1$  analogicky.

Nejlepší hodnotu pro dané nastavení budeme v tabulkách označovat barevně .

### 4.1 Klasické odhady

Začneme srovnáním klasických odhadů – odhadu ve společném modelu (spol.), v modelu s fixními efekty (FE), v modelu s náhodnými efekty (RE) a odhadu metodou maximální věrohodnosti (MLE) – s prvním odhadem, který řeší koreluvanost zpozděných hodnot odezvy a individuálních efektů, a to dvoustupňovým odhadem s instrumentální proměnnou druhou zpozděnou hodnotou odezvy (IV).

Uvažujme model (3.3) bez dalších regresorů, tj. panelový AR(1) model, který má předpis  $Y_{it} = \delta_1 Y_{i,t-1} + \mu_i + \nu_{it}$ . Ověříme, že klasické odhady nedávají uspokojivé výsledky a dále, že vychýlení v případě modelu s fixními efekty je řádu  $\frac{1}{T}$ , jak již bylo zmíněno v části 3.1.2.

V tabulce 4.1 je uveden odhad vychýlení, výběrová směrodatná odchylka a odmocninová střední čtvercová chyba pro odhad v modelu (3.3) s nastavením parametrů  $\delta_1 = 0,5$ ,  $\sigma_\mu^2 = 2,25$  a  $\sigma_\nu^2 = 4$ . Klasické odhady skutečně neposkytují správné odhady parametrů, s rostoucím  $T$  se zmenšuje odhad vychýlení v modelu s fixními efekty a maximálně-věrohodného odhadu, nicméně i pro  $T = 50$  je stále vyšší než u odhadu s instrumentálními proměnnými IV. U společného modelu a modelu s náhodnými efekty odhad vychýlení příliš nezáleží na  $T$  ani na  $n$ .

| n   | odhad | $T = 5$ |       |       | $T = 10$ |       |       | $T = 50$ |       |       |
|-----|-------|---------|-------|-------|----------|-------|-------|----------|-------|-------|
|     |       | vych.   | sd    | RMSE  | vych.    | sd    | RMSE  | vych.    | sd    | RMSE  |
| 100 | spol. | 0,311   | 0,028 | 0,312 | 0,312    | 0,022 | 0,313 | 0,312    | 0,017 | 0,313 |
|     | FE    | -0,332  | 0,046 | 0,335 | -0,162   | 0,032 | 0,165 | -0,031   | 0,012 | 0,033 |
|     | RE    | 0,311   | 0,028 | 0,312 | 0,312    | 0,022 | 0,313 | 0,312    | 0,017 | 0,313 |
|     | MLE   | 0,311   | 0,028 | 0,312 | 0,106    | 0,112 | 0,154 | 0,001    | 0,013 | 0,013 |
|     | IV    | 0,004   | 0,123 | 0,123 | 0,002    | 0,071 | 0,071 | 0,000    | 0,026 | 0,026 |
| 500 | spol. | 0,314   | 0,011 | 0,314 | 0,313    | 0,010 | 0,314 | 0,313    | 0,008 | 0,313 |
|     | FE    | -0,331  | 0,021 | 0,331 | -0,162   | 0,014 | 0,163 | -0,031   | 0,006 | 0,031 |
|     | RE    | 0,314   | 0,011 | 0,314 | 0,313    | 0,010 | 0,314 | 0,313    | 0,008 | 0,313 |
|     | MLE   | 0,314   | 0,011 | 0,314 | 0,079    | 0,052 | 0,095 | 0,001    | 0,006 | 0,006 |
|     | IV    | -0,000  | 0,058 | 0,058 | -0,000   | 0,031 | 0,031 | -0,000   | 0,011 | 0,011 |

Tabulka 4.1: Porovnání klasických odhadů a IV,  $\delta_1 = 0,5$ ,  $\sigma_\mu^2 = 2,25$ ,  $\sigma_\nu^2 = 4$ .

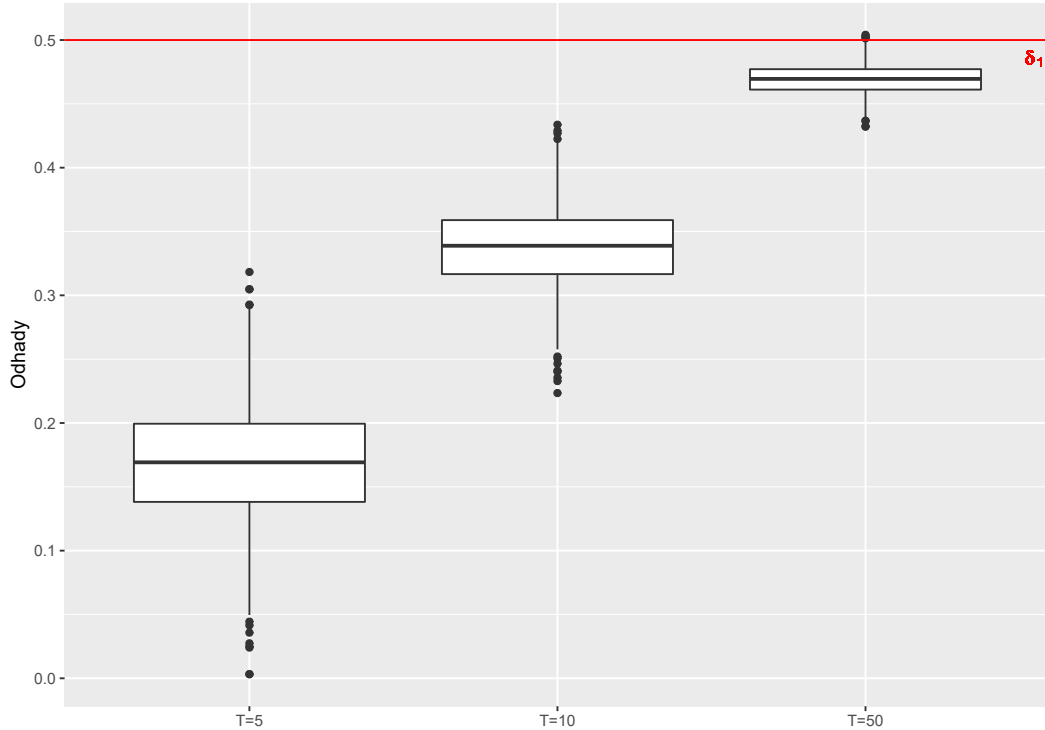
Na obrázku 4.1 jsou boxploty znázorňující odhad vychýlení v modelu s fixními efekty a IV. Je vidět, že vychýlení v modelu s fixními efekty se zmenšuje, což napovídá, že by mohlo být řádu  $\frac{1}{T}$ , při této volbě parametrů je přibližně  $\frac{3}{2} \cdot \frac{1}{T}$ .

V tabulkách 4.2 a 4.3 je uveden odhad vychýlení, výběrová směrodatná odchylka a odmocninová střední čtvercová chyba pro  $\delta_1 = 0,5$  a další volby  $\sigma_\mu^2$  a  $\sigma_\nu^2$ . Z hlediska odhadu vychýlení vychází opět nejlépe odhad IV. Odhad vychýlení v modelu s fixními efekty na hodnotách  $\sigma_\mu^2$  a  $\sigma_\nu^2$  téměř nezávisí.

| n   | odhad | $T = 5$ |       |       | $T = 10$ |       |       | $T = 50$ |       |       |
|-----|-------|---------|-------|-------|----------|-------|-------|----------|-------|-------|
|     |       | vych.   | sd    | RMSE  | vych.    | sd    | RMSE  | vych.    | sd    | RMSE  |
| 100 | spol. | 0,372   | 0,021 | 0,373 | 0,373    | 0,017 | 0,374 | 0,374    | 0,014 | 0,374 |
|     | FE    | -0,332  | 0,046 | 0,335 | -0,162   | 0,032 | 0,165 | -0,031   | 0,012 | 0,033 |
|     | RE    | 0,372   | 0,021 | 0,373 | 0,373    | 0,017 | 0,374 | 0,374    | 0,014 | 0,374 |
|     | MLE   | 0,372   | 0,021 | 0,373 | 0,145    | 0,148 | 0,207 | 0,001    | 0,013 | 0,013 |
|     | IV    | 0,005   | 0,143 | 0,143 | 0,003    | 0,078 | 0,078 | 0,000    | 0,026 | 0,026 |
| 500 | spol. | 0,375   | 0,009 | 0,375 | 0,375    | 0,007 | 0,375 | 0,374    | 0,006 | 0,375 |
|     | FE    | -0,331  | 0,021 | 0,331 | -0,162   | 0,014 | 0,163 | -0,031   | 0,006 | 0,031 |
|     | RE    | 0,375   | 0,009 | 0,375 | 0,375    | 0,007 | 0,375 | 0,374    | 0,006 | 0,375 |
|     | MLE   | 0,375   | 0,009 | 0,375 | 0,114    | 0,100 | 0,152 | 0,001    | 0,006 | 0,006 |
|     | IV    | -0,001  | 0,067 | 0,067 | -0,000   | 0,034 | 0,034 | -0,000   | 0,012 | 0,012 |

Tabulka 4.2: Porovnání klasických odhadů a IV,  $\delta_1 = 0,5$ ,  $\sigma_\mu^2 = 1$ ,  $\sigma_\nu^2 = 1$ .

V tabulkách 4.4, 4.5 a 4.6 jsou uvedeny charakteristiky odhadů v modelu (3.3) s  $\delta_1 = 0,9$  a různými volbami  $\sigma_\mu^2$  a  $\sigma_\nu^2$ . S větším  $\delta_1$  je v modelu s fixními efekty



Obrázek 4.1: Odhadování v modelu s fixními efekty pro  $n = 100$  a  $T = 5, 10, 50$ ,  $\delta_1 = 0,5$ ,  $\sigma_\mu^2 = 2,25$ ,  $\sigma_\nu^2 = 4$ .

| $n$ | odhad | $T = 5$ |       |       | $T = 10$ |       |       | $T = 50$ |       |       |
|-----|-------|---------|-------|-------|----------|-------|-------|----------|-------|-------|
|     |       | vych.   | sd    | RMSE  | vych.    | sd    | RMSE  | vych.    | sd    | RMSE  |
| 100 | spol. | 0,210   | 0,035 | 0,213 | 0,213    | 0,027 | 0,214 | 0,213    | 0,019 | 0,214 |
|     | FE    | -0,332  | 0,046 | 0,335 | -0,162   | 0,032 | 0,165 | -0,031   | 0,012 | 0,033 |
|     | RE    | 0,210   | 0,035 | 0,213 | 0,213    | 0,027 | 0,214 | 0,213    | 0,019 | 0,219 |
|     | MLE   | 0,206   | 0,044 | 0,211 | 0,057    | 0,058 | 0,081 | 0,001    | 0,013 | 0,013 |
|     | IV    | 0,002   | 0,107 | 0,107 | 0,002    | 0,066 | 0,066 | 0,000    | 0,025 | 0,025 |
| 500 | spol. | 0,214   | 0,015 | 0,215 | 0,214    | 0,012 | 0,214 | 0,214    | 0,009 | 0,214 |
|     | FE    | -0,331  | 0,021 | 0,331 | -0,162   | 0,014 | 0,163 | -0,031   | 0,006 | 0,031 |
|     | RE    | 0,214   | 0,015 | 0,215 | 0,214    | 0,012 | 0,214 | 0,214    | 0,009 | 0,214 |
|     | MLE   | 0,214   | 0,015 | 0,215 | 0,053    | 0,024 | 0,058 | 0,001    | 0,006 | 0,006 |
|     | IV    | -0,000  | 0,051 | 0,051 | -0,000   | 0,029 | 0,029 | -0,000   | 0,011 | 0,011 |

Tabulka 4.3: Porovnání klasických odhadů a IV,  $\delta_1 = 0,5$ ,  $\sigma_\mu^2 = 1$ ,  $\sigma_\nu^2 = 4$ .

vychýlení větší, ale stále se s rostoucím  $T$  zmenšuje. Pro  $n = 100$  a  $T = 5$  má IV odhad velký odhad vychýlení a velkou výběrovou směrodatnou odchylku.

Z tabulek 4.1, 4.2, 4.3, 4.4, 4.5 a 4.6 je patrné, že vychýlení v modelu s fixními efekty závisí hlavně na  $\delta_1$  a  $T$ , méně pak na  $n$ ,  $\sigma_\mu^2$  a  $\sigma_\nu^2$ . Pro uvedené volby parametrů se potvrzuje, že klasické odhadování obvykle neposkytuje dobré odhadování parametrů, s rostoucím  $T$  se zmenšuje vychýlení v modelu s fixními efekty a maximálně-věrohodného odhadu. U společného modelu a modelu s náhodnými efekty vychýlení s rostoucím  $T$  zůstává přibližně stejné. S rostoucím  $n$  se snižuje výběrová směrodatná odchylka u všech odhadů, ale k výrazným změnám u odhadu vychýlení v případě klasických odhadů nedochází. V případě, že je  $\delta_1$  blíže 1 (tedy blíže nestacionaritě modelu), IV odhad pro menší  $n$  a  $T$  také nedává uspokojivé výsledky, v další části proto porovnáme i odhadování zobecněnou metodou momentů.

| n   | odhad | T = 5  |        |        | T = 10 |       |       | T = 50 |       |       |
|-----|-------|--------|--------|--------|--------|-------|-------|--------|-------|-------|
|     |       | vych.  | sd     | RMSE   | vych.  | sd    | RMSE  | vych.  | sd    | RMSE  |
| 100 | spol. | 0,092  | 0,006  | 0,092  | 0,092  | 0,004 | 0,092 | 0,091  | 0,001 | 0,091 |
|     | FE    | -0,465 | 0,050  | 0,468  | -0,244 | 0,028 | 0,245 | -0,044 | 0,008 | 0,045 |
|     | RE    | 0,091  | 0,006  | 0,091  | 0,092  | 0,004 | 0,092 | 0,091  | 0,001 | 0,091 |
|     | MLE   | 0,091  | 0,006  | 0,092  | 0,092  | 0,004 | 0,092 | 0,086  | 0,022 | 0,088 |
|     | IV    | 0,482  | 59,277 | 59,249 | -0,121 | 4,042 | 4,042 | 0,000  | 0,051 | 0,051 |
| 500 | spol. | 0,092  | 0,002  | 0,092  | 0,092  | 0,002 | 0,092 | 0,091  | 0,001 | 0,091 |
|     | FE    | -0,463 | 0,022  | 0,463  | -0,244 | 0,013 | 0,244 | -0,044 | 0,004 | 0,044 |
|     | RE    | 0,091  | 0,002  | 0,091  | 0,092  | 0,002 | 0,092 | 0,091  | 0,001 | 0,091 |
|     | MLE   | 0,092  | 0,002  | 0,092  | 0,092  | 0,002 | 0,092 | 0,090  | 0,009 | 0,092 |
|     | IV    | -0,011 | 1,165  | 1,164  | 0,002  | 0,120 | 0,120 | -0,000 | 0,024 | 0,024 |

Tabulka 4.4: Porovnání klasických odhadů a IV,  $\delta_1 = 0,9$ ,  $\sigma_\mu^2 = 2,25$ ,  $\sigma_\nu^2 = 4$ .

| n   | odhad | T = 5  |        |        | T = 10 |       |       | T = 50 |       |       |
|-----|-------|--------|--------|--------|--------|-------|-------|--------|-------|-------|
|     |       | vych.  | sd     | RMSE   | vych.  | sd    | RMSE  | vych.  | sd    | RMSE  |
| 100 | spol. | 0,095  | 0,004  | 0,095  | 0,095  | 0,003 | 0,095 | 0,095  | 0,001 | 0,095 |
|     | FE    | -0,465 | 0,050  | 0,468  | -0,244 | 0,028 | 0,245 | -0,044 | 0,008 | 0,045 |
|     | RE    | 0,095  | 0,004  | 0,095  | 0,095  | 0,003 | 0,095 | 0,095  | 0,001 | 0,095 |
|     | MLE   | 0,095  | 0,004  | 0,095  | 0,095  | 0,003 | 0,095 | 0,080  | 0,034 | 0,087 |
|     | IV    | 0,422  | 18,668 | 18,663 | 0,099  | 4,037 | 4,036 | 0,001  | 0,063 | 0,063 |
| 500 | spol. | 0,095  | 0,002  | 0,095  | 0,095  | 0,001 | 0,095 | 0,095  | 0,000 | 0,095 |
|     | FE    | -0,463 | 0,022  | 0,463  | -0,244 | 0,013 | 0,244 | -0,044 | 0,004 | 0,044 |
|     | RE    | 0,095  | 0,002  | 0,095  | 0,095  | 0,001 | 0,095 | 0,095  | 0,000 | 0,095 |
|     | MLE   | 0,095  | 0,002  | 0,095  | 0,095  | 0,001 | 0,095 | 0,092  | 0,013 | 0,094 |
|     | IV    | 0,001  | 1,527  | 1,527  | 0,005  | 0,182 | 0,182 | -0,000 | 0,030 | 0,030 |

Tabulka 4.5: Porovnání klasických odhadů a IV,  $\delta_1 = 0,9$ ,  $\sigma_\mu^2 = 1$ ,  $\sigma_\nu^2 = 1$ .

| n   | odhad | T = 5  |        |        | T = 10 |       |       | T = 50 |       |       |
|-----|-------|--------|--------|--------|--------|-------|-------|--------|-------|-------|
|     |       | vych.  | sd     | RMSE   | vych.  | sd    | RMSE  | vych.  | sd    | RMSE  |
| 100 | spol. | 0,082  | 0,008  | 0,083  | 0,083  | 0,005 | 0,083 | 0,082  | 0,003 | 0,082 |
|     | FE    | -0,465 | 0,050  | 0,468  | -0,244 | 0,028 | 0,245 | -0,044 | 0,008 | 0,045 |
|     | RE    | 0,081  | 0,008  | 0,081  | 0,083  | 0,005 | 0,083 | 0,082  | 0,003 | 0,082 |
|     | MLE   | 0,082  | 0,008  | 0,083  | 0,083  | 0,005 | 0,083 | 0,063  | 0,033 | 0,071 |
|     | IV    | -2,349 | 82,721 | 82,713 | 0,032  | 0,399 | 0,400 | 0,000  | 0,040 | 0,040 |
| 500 | spol. | 0,083  | 0,003  | 0,083  | 0,083  | 0,002 | 0,083 | 0,083  | 0,001 | 0,083 |
|     | FE    | -0,463 | 0,022  | 0,463  | -0,244 | 0,015 | 0,244 | -0,044 | 0,004 | 0,044 |
|     | RE    | 0,081  | 0,003  | 0,081  | 0,083  | 0,002 | 0,083 | 0,083  | 0,001 | 0,083 |
|     | MLE   | 0,083  | 0,003  | 0,083  | 0,083  | 0,002 | 0,083 | 0,077  | 0,018 | 0,079 |
|     | IV    | 0,006  | 0,198  | 0,198  | 0,001  | 0,082 | 0,082 | -0,000 | 0,019 | 0,019 |

Tabulka 4.6: Porovnání klasických odhadů a IV,  $\delta_1 = 0,9$ ,  $\sigma_\mu^2 = 1$ ,  $\sigma_\nu^2 = 4$ .

V tabulce 4.7 je uveden odhad vychýlení, výběrová směrodatná odchylka a odmocninová střední čtvercová chyba pro odhadu v modelu (3.3) s nastavením parametrů  $\delta_1 = 0,0$ ,  $\sigma_\mu^2 = 1$  a  $\sigma_\nu^2 = 1$ . Odhadu ve společném modelu a v modelu s náhodnými efekty vykazují velký odhad vychýlení. V modelu s fixními efekty mají odhadu nejmenší výběrovou směrodatnou odchylku, z hlediska odhadu vychýlení je nejlepší odhad s instrumentálními proměnnými IV, nejmenší odmocninovou střední čtvercovou chybou mají odhadu s instrumentálními proměnnými IV nebo maximálně-věrohodné odhadu MLE.

| n   | odhad | $T = 5$ |       |       | $T = 10$ |       |       | $T = 50$ |       |       |
|-----|-------|---------|-------|-------|----------|-------|-------|----------|-------|-------|
|     |       | vych.   | sd    | RMSE  | vych.    | sd    | RMSE  | vych.    | sd    | RMSE  |
| 100 | spol. | 0,495   | 0,052 | 0,498 | 0,497    | 0,044 | 0,499 | 0,498    | 0,036 | 0,499 |
|     | FE    | -0,202  | 0,042 | 0,206 | -0,100   | 0,032 | 0,105 | -0,020   | 0,014 | 0,024 |
|     | RE    | 0,495   | 0,052 | 0,498 | 0,497    | 0,044 | 0,499 | 0,498    | 0,036 | 0,499 |
|     | MLE   | 0,065   | 0,075 | 0,099 | 0,012    | 0,037 | 0,039 | 0,000    | 0,014 | 0,014 |
|     | IV    | -0,001  | 0,077 | 0,077 | 0,001    | 0,049 | 0,049 | 0,000    | 0,021 | 0,021 |
| 500 | spol. | 0,500   | 0,022 | 0,501 | 0,499    | 0,019 | 0,500 | 0,499    | 0,016 | 0,499 |
|     | FE    | -0,199  | 0,020 | 0,200 | -0,100   | 0,014 | 0,101 | -0,020   | 0,006 | 0,021 |
|     | RE    | 0,500   | 0,022 | 0,501 | 0,499    | 0,019 | 0,500 | 0,499    | 0,016 | 0,499 |
|     | MLE   | 0,066   | 0,032 | 0,073 | 0,012    | 0,016 | 0,020 | 0,000    | 0,006 | 0,006 |
|     | IV    | 0,000   | 0,036 | 0,036 | -0,000   | 0,022 | 0,022 | -0,000   | 0,009 | 0,009 |

Tabulka 4.7: Porovnání klasických odhadů a IV,  $\delta_1 = 0,0$ ,  $\sigma_\mu^2 = 1$ ,  $\sigma_\nu^2 = 1$ .

## 4.2 Odhad y z obecněnou metodou momentů

### 4.2.1 Panelový AR(1) model

V této části budeme porovnávat odhad y uvedené v tabulce 4.8 v modelu (3.3) s jednou zpožděnou hodnotou bez dalších regresorů.

|       |  |
|-------|--|
| IV O1 | IV – jako instrument $Y_{t-2}$ , obyčejné nejm. čtverce                      |
| IV G1 | IV – jako instrument $Y_{t-2}$ , zobecněné nejm. čtverce, viz poznámka 1     |
| IV O2 | IV – jako instrument $Y_{t-2} - Y_{t-3}$ , obyčejné nejm. čtverce            |
| IV G2 | IV – jako instrument $Y_{t-2} - Y_{t-3}$ , zobec. nejm. čtverce, viz pozn. 1 |
| ABI   | Arellanův-Bondův – jednotková matice vah                                     |
| AB1   | Arellanův-Bondův – jednokrokový s $G$  |
| AB2   | Arellanův-Bondův – dvoukrokový s $G$   |
| ABS   | Arellanův-Bondův – jako dvoustupňový odhad                                   |
| ASI   | Ahnův-Schmidtův – jednotková matice vah                                      |
| ASG   | Ahnův-Schmidtův – matice vah s $G$ v levém horním rohu                       |

Tabulka 4.8: Porovnávané odhad y v panelovém AR(1) modelu.

V tabulce 4.9 jsou uvedeny charakteristiky odhadů z obecněnou metodou momentů pro volbu parametrů  $\delta_1 = 0,5$ ,  $\sigma_\mu^2 = 1$ ,  $\sigma_\nu^2 = 1$ . V případě této volby parametrů se jako nejlepší jeví odhad pomocí instrumentálních proměnných IV O1 a Ahnův-Schmidtův odhad ASG, naopak nejhůře odhad y metodou z obecněných nejmenších čtverců s instrumentálními proměnnými IV G1 a IV G2. Pro  $n = 100$  ani dvoustupňový odhad ABS neposkytuje příliš dobré výsledky.

Odhady, které pro dané nastavení  $n$  a  $T$  nelze kvůli numerickým problémům při výpočtu matice  $\hat{F}^{-1}$  spočítat, v tabulkách proškrtneme, –.

Odhady uvedené v tabulce 4.9 dále znázorníme pomocí boxplotů, na kterých je červeně vyznačena skutečná hodnota parametru  $\delta_1$ , a histogramů.

Začneme u základního odhadu s instrumentálními proměnnými a metodou obyčejných nejmenších čtverců na obrázku 4.2. Pro všechny volby  $n$  i  $T$  je vyčílení odhadů téměř nulové, s rostoucím  $T$  se zmenšuje rozptyl odhadů, totéž i s rostoucím  $n$ .

Na obrázcích 4.3 a 4.4 jsou boxploty znázorněny ostatní odhad y z tabulký 4.9 pro  $T = 5$  a  $T = 10$ . Největší rozdíl v odhadech nastává v situaci, kdy  $n = 100$

| n   | odhad | T = 5  |        |        | T = 10 |        |        | T = 50 |        |        |
|-----|-------|--------|--------|--------|--------|--------|--------|--------|--------|--------|
|     |       | vych.  | sd     | RMSE   | vych.  | sd     | RMSE   | vych.  | sd     | RMSE   |
| 100 | IV O1 | 0,005  | 0,143  | 0,143  | 0,003  | 0,078  | 0,078  | 0,000  | 0,026  | 0,026  |
|     | IV G1 | 2,222  | 53,032 | 53,052 | 1,764  | 18,904 | 18,977 | 0,582  | 19,933 | 19,931 |
|     | IV O2 | 0,031  | 0,350  | 0,351  | 0,013  | 0,197  | 0,197  | 0,003  | 0,081  | 0,081  |
|     | IV G2 | 0,870  | 7,412  | 7,460  | 2,047  | 12,599 | 12,758 | 3,907  | 75,683 | 75,746 |
|     | ABI   | -0,083 | 0,146  | 0,168  | -0,184 | 0,117  | 0,218  | —      | —      | —      |
|     | AB1   | -0,051 | 0,122  | 0,132  | -0,033 | 0,057  | 0,065  | -0,018 | 0,014  | 0,023  |
|     | AB2   | -0,049 | 0,133  | 0,142  | -0,033 | 0,063  | 0,071  | —      | —      | —      |
|     | ABS   | -0,138 | 0,138  | 0,195  | -0,198 | 0,074  | 0,211  | -0,466 | 0,022  | 0,466  |
|     | ASI   | -0,042 | 0,104  | 0,112  | -0,163 | 0,106  | 0,194  | —      | —      | —      |
|     | ASG   | 0,011  | 0,110  | 0,110  | 0,010  | 0,062  | 0,063  | —      | —      | —      |
| 500 | IV O1 | -0,001 | 0,067  | 0,067  | -0,000 | 0,034  | 0,034  | -0,000 | 0,012  | 0,012  |
|     | IV G1 | 0,855  | 0,242  | 0,889  | 1,305  | 1,421  | 1,928  | 1,759  | 9,234  | 9,396  |
|     | IV O2 | 0,011  | 0,137  | 0,137  | 0,001  | 0,088  | 0,088  | -0,000 | 0,036  | 0,036  |
|     | IV G2 | 0,694  | 0,239  | 0,734  | 1,216  | 0,422  | 1,287  | 3,863  | 90,507 | 90,544 |
|     | ABI   | -0,013 | 0,059  | 0,061  | -0,018 | 0,028  | 0,033  | —      | —      | —      |
|     | AB1   | -0,012 | 0,058  | 0,059  | -0,007 | 0,025  | 0,025  | -0,004 | 0,007  | 0,008  |
|     | AB2   | -0,011 | 0,059  | 0,060  | -0,006 | 0,026  | 0,027  | —      | —      | —      |
|     | ABS   | -0,030 | 0,068  | 0,074  | -0,048 | 0,036  | 0,060  | -0,152 | 0,012  | 0,152  |
|     | ASI   | -0,003 | 0,039  | 0,039  | -0,014 | 0,022  | 0,026  | —      | —      | —      |
|     | ASG   | 0,001  | 0,038  | 0,038  | -0,000 | 0,019  | 0,019  | —      | —      | —      |

Tabulka 4.9: Porovnání odhadů zobecněnou metodou momentů v panelovém AR(1) modelu,  $\delta_1 = 0,5$ ,  $\sigma_\mu^2 = 1$ ,  $\sigma_\nu^2 = 1$ , o jaké odhady se jedná, je uvedeno v tabulce 4.8.

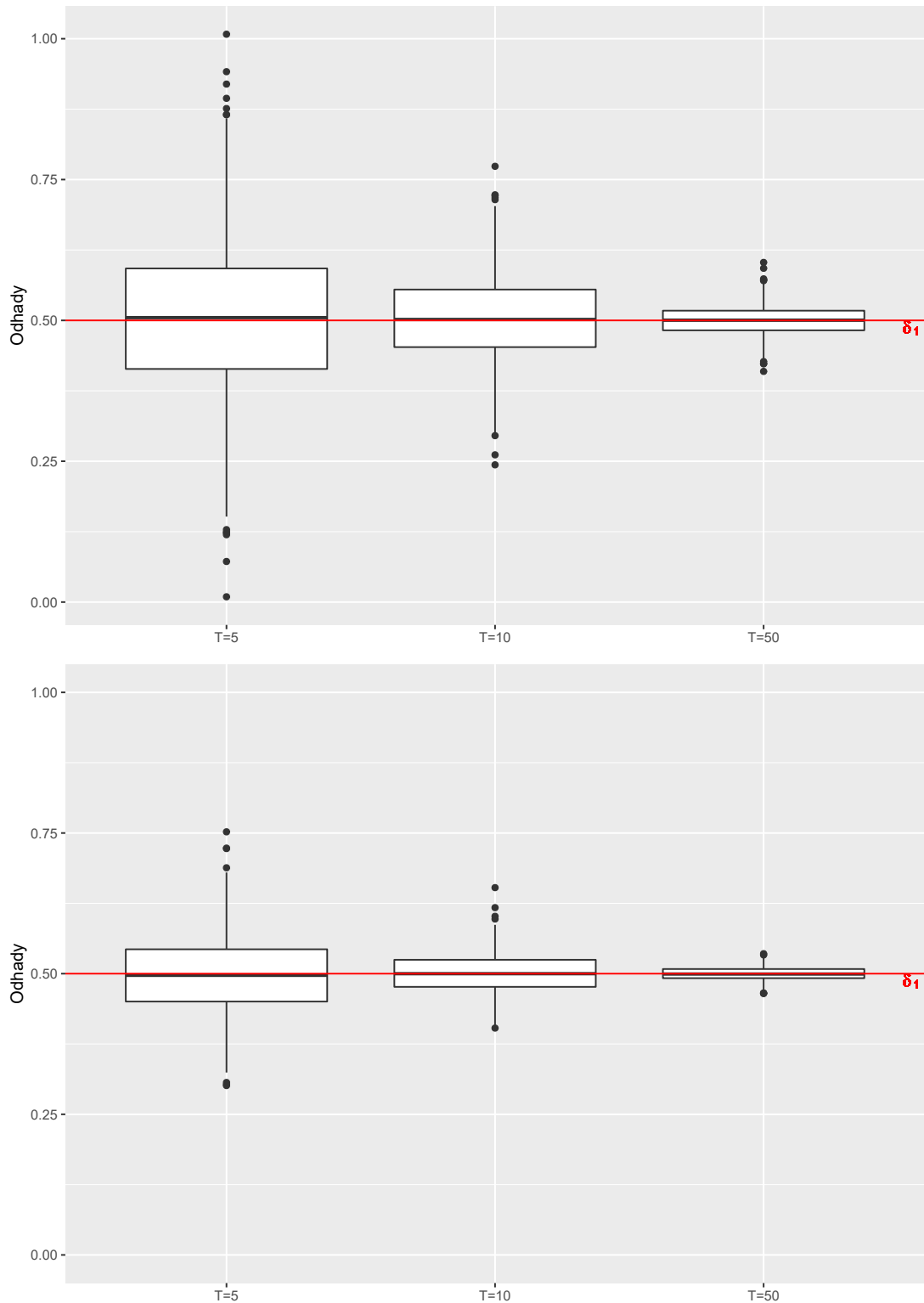
a  $T = 10$ , kdy Arellanův-Bondův odhad s jednotkovou maticí vah ABI a dvoustupňový odhad ABS výrazně podhodnocuje skutečnou hodnotu parametru  $\delta_1$  a navíc mají tyto odhady větší rozpětí mezi 1. a 3. quartilem. Naopak pro  $n = 500$  a  $T = 5$  jsou všechny odhady velice podobné.

Na histogramech 4.5 jsou znázorněny odhady z tabulky 4.9 pro  $n = 100$  a  $T = 5$ . U většiny odhadů (mimo IV G1, IV G2 a ASG) z pohledu na histogram nemůžeme usuzovat, že by normalitu, viz věta 3, porušovaly.

V tabulce 4.10 jsou uvedeny charakteristiky odhadů pro volbu parametrů  $\delta_1 = -0,8$ ,  $\sigma_\mu^2 = 1$ ,  $\sigma_\nu^2 = 1$ . Při uvedeném nastavení parametrů se všechny odhady Arellana-Bonda i Ahna-Schmidta chovají velice podobně, nejsou výrazně vychýlené ani pro malé  $T$ .

V tabulce 4.11 jsou uvedeny charakteristiky odhadů zobecněnou metodou momentů pro volbu parametrů  $\delta_1 = 0,9$ ,  $\sigma_\mu^2 = 2,25$ ,  $\sigma_\nu^2 = 4$ . Pro  $T = 5$  a  $n = 100$  se jako jediný dobrý odhad jeví Ahnův-Schmidtův odhad s maticí  $G$  pro Arellanova-Bondovy momentové podmínky. Jako jediný funguje dobře i na hranici nestacionarity pro menší rozsah výběru a kratší čas sledování. Zároveň pro  $\delta_1 = 0,9$ ,  $\sigma_\mu^2 = 2,25$ ,  $\sigma_\nu^2 = 4$ ,  $n = 100$  a  $T = 5$  neplatí, že by IV O1 měl menší výběrový rozptyl než IV O2, jak tvrdil Arellano (1989). Preference IV O1 tedy neplatí vždy.

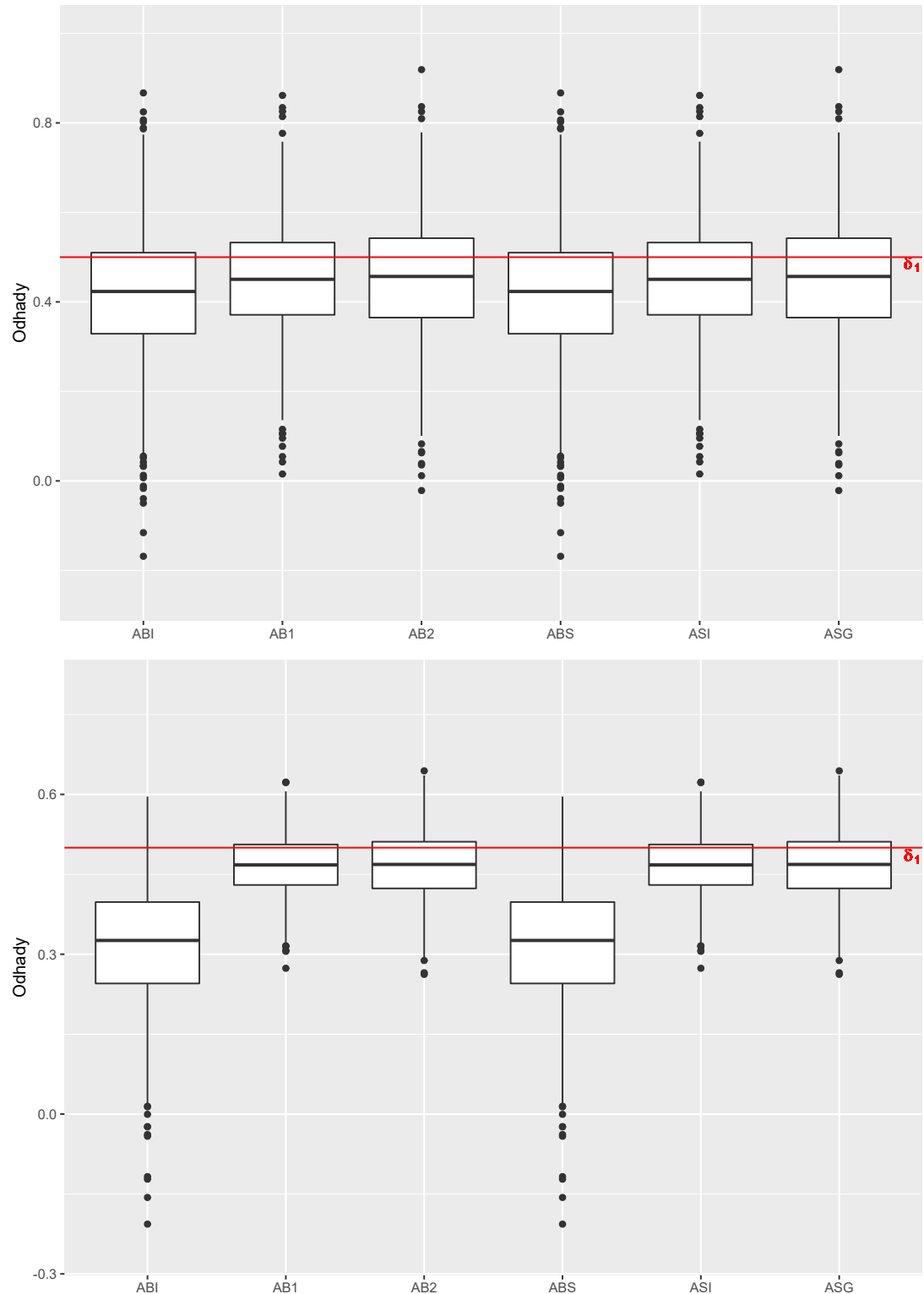
Nemáme-li prvotní představu o velikosti parametru  $\delta_1$ , lze pro menší  $n$  a  $T$  doporučit Ahnův-Schmidtův odhad ASG, který dává dobré výsledky bez ohledu na skutečnou velikost parametru  $\delta_1$ . Nepohybujeme-li se na hranici nestacionarity, jsou odhady IV O1, IV O2, ABI, AB1, AB2, ABS, ASI a ASG poměrně srovnatelné z hlediska sledovaných charakteristik. Naopak využití odhadů IV G1 a IV G2 nelze doporučit.



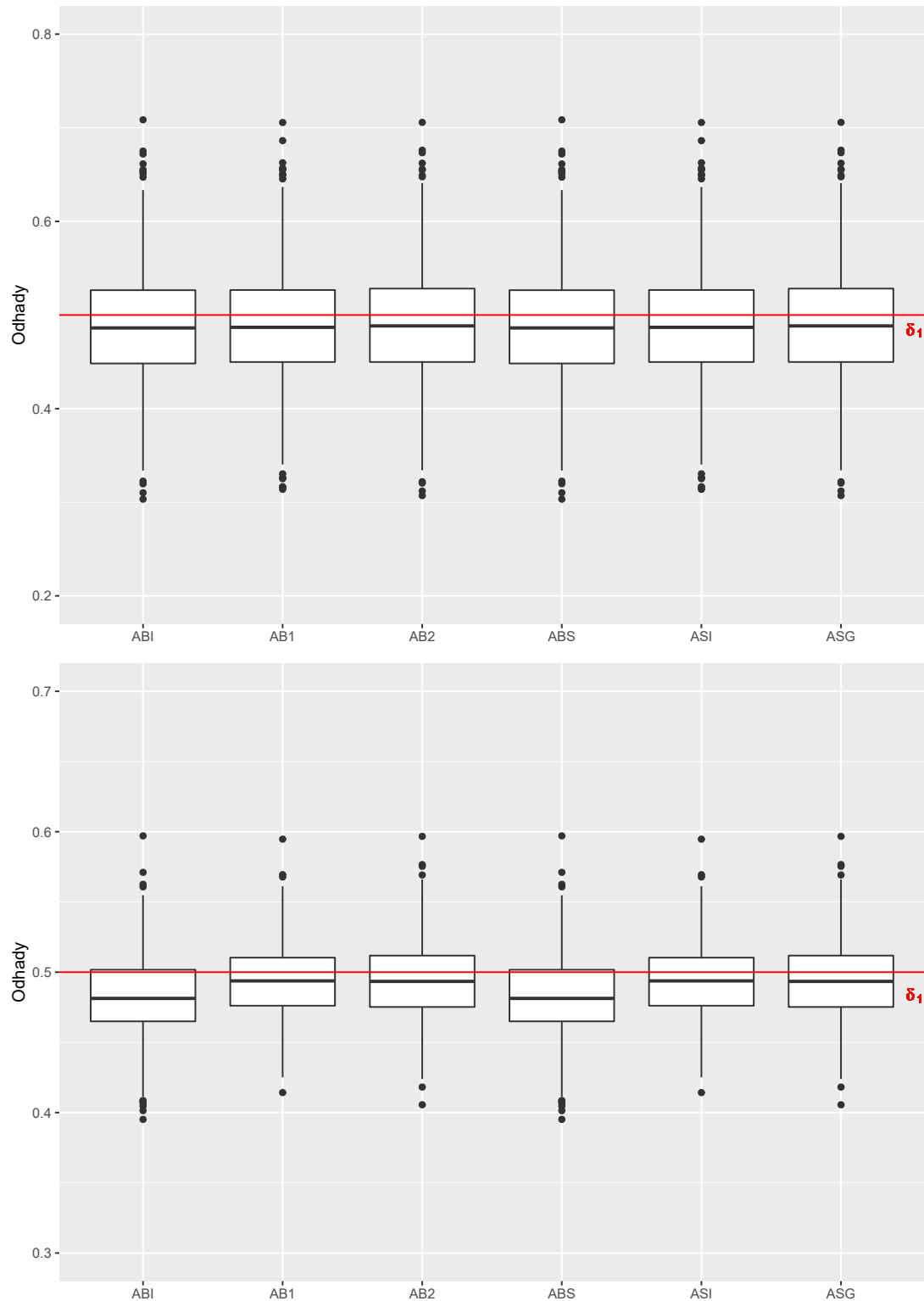
Obrázek 4.2: Odhadý IV O1 pro  $n = 100$  (nahoře) a  $n = 500$  (dole),  $T = 5, 10, 50$ ,  $\delta_1 = 0,5$ ,  $\sigma_\mu^2 = 1$  a  $\sigma_\nu^2 = 1$ .

Na základě provedených simulací bychom mohli říci, že odhad ASG, využívající nejvíce informací o momentech ze všech porovnávaných odhadů, poskytuje z hlediska odmocninové střední čtvercové chyby ve většině případů nejlepší odhadý. Pokud nelze využít odhad ASG, doporučili bychom z hlediska odmocninové

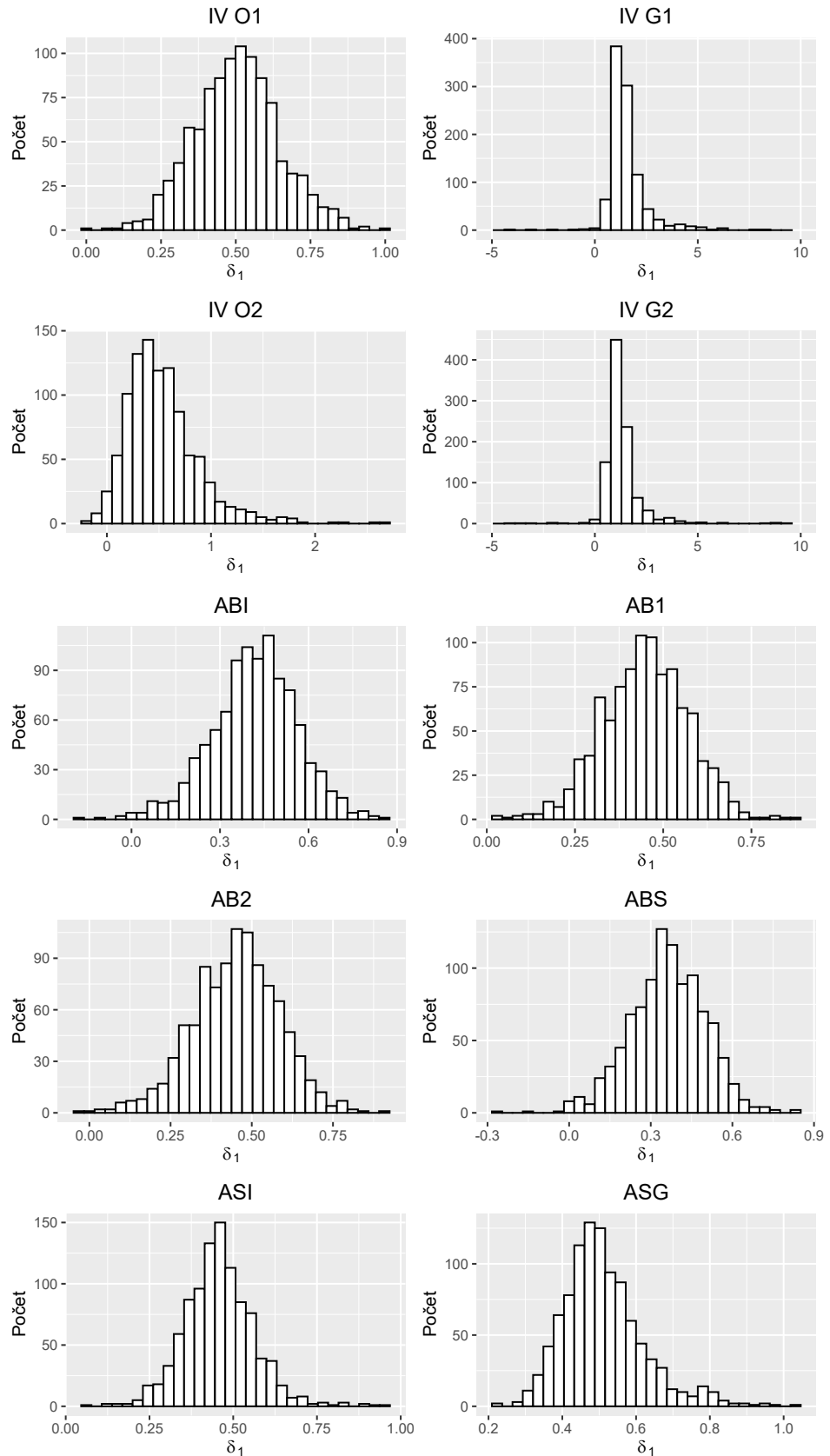
střední čtvercové chyby jednokrokový Arellanův-Bondův odhad AB1.



Obrázek 4.3: Odhadý ABI, AB1, AB2, ABS, ASI a ASG pro  $n = 100$ ,  $T = 5$  (nahoře) a  $T = 10$  (dole),  $\delta_1 = 0,5$ ,  $\sigma_\mu^2 = 1$ ,  $\sigma_\nu^2 = 1$ .



Obrázek 4.4: Odhadý ABI, AB1, AB2, ABS, ASI a ASG pro  $n = 500$ ,  $T = 5$  (dole) a  $T = 10$  (nahoře),  $\delta_1 = 0,5$ ,  $\sigma_\mu^2 = 1$ ,  $\sigma_\nu^2 = 1$ .



Obrázek 4.5: Histogramy odhadů IV O1, IV G1, IV O2, IV G2, ABI, AB1, AB2, ABS, ASI a ASG pro  $n = 100$  a  $T = 5$ ,  $\delta_1 = 0,5$ ,  $\sigma_\mu^2 = 1$ ,  $\sigma_\nu^2 = 1$ .

| n   | odhad | T = 5  |       |       | T = 10 |       |       | T = 50 |       |       |
|-----|-------|--------|-------|-------|--------|-------|-------|--------|-------|-------|
|     |       | vych.  | sd    | RMSE  | vych.  | sd    | RMSE  | vych.  | sd    | RMSE  |
| 100 | IV O1 | 0,000  | 0,030 | 0,030 | 0,002  | 0,020 | 0,020 | 0,000  | 0,009 | 0,009 |
|     | IV G1 | 0,130  | 0,047 | 0,138 | 0,164  | 0,047 | 0,171 | 0,191  | 0,078 | 0,206 |
|     | IV O2 | 0,000  | 0,037 | 0,037 | 0,002  | 0,023 | 0,023 | 0,000  | 0,010 | 0,010 |
|     | IV G2 | 0,105  | 0,047 | 0,115 | 0,161  | 0,048 | 0,168 | 0,190  | 0,078 | 0,206 |
|     | ABI   | -0,004 | 0,030 | 0,031 | -0,000 | 0,023 | 0,023 | -      | -     | -     |
|     | AB1   | -0,001 | 0,029 | 0,029 | -0,000 | 0,020 | 0,020 | -0,002 | 0,008 | 0,009 |
|     | AB2   | -0,004 | 0,030 | 0,030 | -0,002 | 0,022 | 0,022 | -      | -     | -     |
|     | ABS   | -0,002 | 0,030 | 0,030 | -0,004 | 0,020 | 0,020 | -0,027 | 0,008 | 0,028 |
|     | ASI   | -0,003 | 0,030 | 0,030 | 0,001  | 0,023 | 0,023 | -      | -     | -     |
|     | ASG   | -0,003 | 0,030 | 0,030 | 0,000  | 0,025 | 0,025 | -      | -     | -     |
| 500 | IV O1 | 0,000  | 0,013 | 0,013 | -0,000 | 0,009 | 0,009 | -0,000 | 0,004 | 0,004 |
|     | IV G1 | 0,128  | 0,021 | 0,130 | 0,161  | 0,021 | 0,162 | 0,192  | 0,034 | 0,195 |
|     | IV O2 | -0,000 | 0,016 | 0,016 | -0,000 | 0,010 | 0,010 | -0,000 | 0,004 | 0,004 |
|     | IV G2 | 0,103  | 0,021 | 0,105 | 0,158  | 0,021 | 0,159 | 0,192  | 0,033 | 0,195 |
|     | ABI   | -0,001 | 0,013 | 0,013 | -0,001 | 0,009 | 0,009 | -      | -     | -     |
|     | AB1   | -0,000 | 0,013 | 0,013 | -0,000 | 0,009 | 0,009 | -0,000 | 0,004 | 0,004 |
|     | AB2   | -0,001 | 0,013 | 0,013 | -0,001 | 0,009 | 0,009 | -      | -     | -     |
|     | ABS   | -0,000 | 0,013 | 0,013 | -0,001 | 0,009 | 0,009 | -0,006 | 0,004 | 0,007 |
|     | ASI   | -0,000 | 0,013 | 0,013 | -0,001 | 0,009 | 0,009 | -      | -     | -     |
|     | ASG   | -0,000 | 0,013 | 0,013 | -0,001 | 0,009 | 0,009 | -      | -     | -     |

Tabulka 4.10: Porovnání odhadů zobecněnou metodou momentů v panelovém AR(1) modelu,  $\delta_1 = -0,8$ ,  $\sigma_\mu^2 = 1$ ,  $\sigma_\nu^2 = 1$ , o jaké odhady se jedná, je uvedeno v tabulce 4.8.

| n   | odhad | T = 5  |        |        | T = 10 |         |         | T = 50 |         |         |
|-----|-------|--------|--------|--------|--------|---------|---------|--------|---------|---------|
|     |       | vych.  | sd     | RMSE   | vych.  | sd      | RMSE    | vych.  | sd      | RMSE    |
| 100 | IV O1 | 0,482  | 59,277 | 59,249 | -0,121 | 4,042   | 4,042   | 0,001  | 0,051   | 0,051   |
|     | IV G1 | 0,628  | 28,535 | 28,528 | -4,118 | 131,560 | 131,558 | 0,338  | 9,833   | 9,834   |
|     | IV O2 | -1,066 | 24,306 | 24,318 | -0,361 | 13,664  | 13,662  | 0,161  | 1,334   | 1,343   |
|     | IV G2 | 2,998  | 51,686 | 51,747 | 0,015  | 17,985  | 17,976  | 0,440  | 9,750   | 9,755   |
|     | ABI   | -0,676 | 0,452  | 0,814  | -0,703 | 0,336   | 0,780   | -      | -       | -       |
|     | AB1   | -0,411 | 0,309  | 0,514  | -0,205 | 0,122   | 0,239   | -0,040 | 0,014   | 0,042   |
|     | AB2   | -0,480 | 0,387  | 0,616  | -0,235 | 0,152   | 0,280   | -      | -       | -       |
|     | ABS   | -0,754 | 0,305  | 0,814  | -0,785 | 0,146   | 0,798   | -0,884 | 0,027   | 0,885   |
|     | ASI   | -0,359 | 0,252  | 0,439  | -0,548 | 0,239   | 0,598   | -      | -       | -       |
|     | ASG   | 0,036  | 0,184  | 0,187  | 0,067  | 0,076   | 0,101   | -      | -       | -       |
| 500 | IV O1 | -0,011 | 1,165  | 1,164  | 0,002  | 0,120   | 0,120   | -0,000 | 0,024   | 0,024   |
|     | IV G1 | 4,055  | 98,143 | 98,178 | 2,488  | 30,486  | 30,572  | 10,274 | 320,790 | 320,794 |
|     | IV O2 | -0,557 | 17,490 | 17,490 | 0,182  | 1,859   | 1,867   | 0,013  | 0,191   | 0,191   |
|     | IV G2 | 1,941  | 53,942 | 53,950 | 0,968  | 12,827  | 12,857  | 2,119  | 49,872  | 49,892  |
|     | ABI   | -0,231 | 0,276  | 0,359  | -0,208 | 0,150   | 0,256   | -      | -       | -       |
|     | AB1   | -0,145 | 0,190  | 0,239  | -0,067 | 0,060   | 0,089   | -0,012 | 0,007   | 0,014   |
|     | AB2   | -0,156 | 0,208  | 0,260  | -0,072 | 0,068   | 0,099   | -      | -       | -       |
|     | ABS   | -0,384 | 0,230  | 0,447  | -0,453 | 0,104   | 0,465   | -0,638 | 0,024   | 0,638   |
|     | ASI   | -0,116 | 0,139  | 0,181  | -0,189 | 0,124   | 0,226   | -      | -       | -       |
|     | ASG   | 0,056  | 0,113  | 0,126  | 0,056  | 0,055   | 0,079   | -      | -       | -       |

Tabulka 4.11: Porovnání odhadů zobecněnou metodou momentů v panelovém AR(1) modelu,  $\delta_1 = 0,9$ ,  $\sigma_\mu^2 = 2,25$ ,  $\sigma_\nu^2 = 4$ , o jaké odhady se jedná, je uvedeno v tabulce 4.8.

### 4.2.2 Model s dalším regresorem

Nakonec budeme porovnávat odhady uvedené v tabulce 4.12 v modelu (3.2) s jedním regresorem  $X_{it}$ , půjde tedy o odhad v modelu

$$Y_{it} = \delta_1 Y_{i,t-1} + \beta_1 X_{it} + \mu_i + \nu_{it}.$$

Připomeňme, že individuální efekty, resp. zbytkové chyby generujeme z  $N(0, \sigma_\mu^2)$ , resp. z  $N(0, \sigma_\nu^2)$  pro uvedené hodnoty  $\sigma_\mu^2$  a  $\sigma_\nu^2$  a regresory  $X_{it}$  generujeme z  $N(1,1)$ .

|       |  |
|-------|--|
| IV O1 | IV – jako instrument $Y_{t-2}$ , obyčejné nejm. čtverce                      |
| IV G1 | IV – jako instrument $Y_{t-2}$ , zobecněné nejm. čtverce, viz poznámka 1     |
| IV O2 | IV – jako instrument $Y_{t-2} - Y_{t-3}$ , obyčejné nejm. čtverce            |
| IV G2 | IV – jako instrument $Y_{t-2} - Y_{t-3}$ , zobec. nejm. čtverce, viz pozn. 1 |
| AB1   | Arellanův-Bondův – jednokrokový s $G$  |
| AB2   | Arellanův-Bondův – dvoukrokový s $G$   |
| ABvD  | Arellanův-Boverův – transformace na první diference                          |
| ABvU  | Arellanův-Boverův – uvnitř-skupinová transformace                            |
| ASI   | Ahnův-Schmidtův – jednotková matice vah                                      |
| ASG   | Ahnův-Schmidtův – matice vah s $G$ v levém horním rohu                       |

Tabulka 4.12: Odhad v dynamickém panelovém modelu s dalším regresorem.

Ahnův-Schmidtův odhad vykazuje numerické problémy při výpočtu  $\hat{F}^{-1}$ , proto uvedeme charakteristiky odhadů ASI a ASG pouze pro  $T = 3$ . Pro větší  $T$  jsou u odhadů ASI a ASG uvedeny charakteristiky odhadů po prvním kroku odhadu.

V tabulkách 4.13 jsou uvedeny charakteristiky odhadů parametrů  $\delta_1$  a  $\beta_1$  zobecněnou metodou momentů v modelu s jedním regresorem  $X_{it} \sim N(1,1)$ ,  $\beta_1 = 1$ ,  $\delta_1 = 0,5$ ,  $\sigma_\mu^2 = 1$ ,  $\sigma_\nu^2 = 1$ . Vzhledem k tomu, že regresory  $X_{it}$  se v čase příliš nemění, a Arellanův-Bondův odhad není vhodný pro odhad parametrů u regresorů fixních v čase, odhady AB1 a AB2 neodhadnou  $\beta_1$  správně. Při tomto nastavení parametrů je pro parametr  $\delta_1$  z hlediska odhadu vychýlení nejlepší odhad s instrumentálními proměnnými odhadnutý metodou obyčejných nejmenších čtverců IV O1, z hlediska odhadu směrodatné odchylky a odmocninové střední čtvercové chyby pak Ahnův-Schmidtův odhad ASG. Pro odhad parametru  $\beta_1$  je z hlediska odhadu vychýlení nejlepší odhad IV O1 či ASG, z hlediska odhadu směrodatné odchylky a odmocninové střední čtvercové chyby pak odhad ASG, a to i přes to, že u tohoto odhadu nyní využíváme jen první krok odhadu zobecněnou metodou momentů.

V tabulkách 4.14 jsou uvedeny charakteristiky odhadů parametrů  $\delta_1$  a  $\beta_1$  zobecněnou metodou momentů v modelu s jedním regresorem  $X_{it} \sim N(1,1)$ ,  $\beta_1 = 1$ ,  $\delta_1 = 0,9$ ,  $\sigma_\mu^2 = 2,25$ ,  $\sigma_\nu^2 = 4$ . Jsou-li rozptyly individuálních efektů a zbytkových chyb větší, zároveň je  $\delta_1$  blíže nestacionaritě, je pro  $\delta_1$  nevhodnější Ahnův-Schmidtův odhad ASG, v některých situacích z hlediska odhadu vychýlení pak odhad IV O1. Pro  $\beta_1$  je nejlepší odhad, stejně jako při předchozím nastavení parametrů, ASG či IV O1. Odhady pomocí instrumentálních proměnných IV O1, IV G1, IV O2 a IV G2 vykazují oproti ostatním odhadům velký odhad směrodatné odchylky u odhadů parametru  $\delta_1$  a v některých situacích i u  $\beta_1$ . Je-li  $n = 100$ , vykazují odhady IV G2 při odhadu  $\beta_1$  lepší vlastnosti než odhady IV O2. Celkově bychom pro oba parametry jako nevhodnější označili odhad ASG.

$\delta_1$ 

| n   | odhad | T = 5  |        |        | T = 7  |       |       | T = 10 |         |         |
|-----|-------|--------|--------|--------|--------|-------|-------|--------|---------|---------|
|     |       | vych.  | sd     | RMSE   | vych.  | sd    | RMSE  | vych.  | sd      | RMSE    |
| 100 | IV O1 | 0,001  | 0,105  | 0,105  | 0,002  | 0,074 | 0,074 | 0,002  | 0,056   | 0,056   |
|     | IV G1 | 0,958  | 11,318 | 11,353 | 0,526  | 1,691 | 1,770 | -5,964 | 204,537 | 204,522 |
|     | IV O2 | 0,020  | 0,229  | 0,230  | 0,018  | 0,188 | 0,188 | 0,009  | 0,145   | 0,145   |
|     | IV G2 | 0,447  | 2,209  | 2,252  | 0,892  | 8,387 | 8,431 | 0,696  | 4,046   | 4,103   |
|     | AB1   | -0,340 | 0,076  | 0,348  | -0,229 | 0,059 | 0,236 | -0,147 | 0,042   | 0,153   |
|     | AB2   | -0,358 | 0,082  | 0,367  | -0,233 | 0,060 | 0,241 | —      | —       | —       |
|     | ABvD  | -0,264 | 0,717  | 0,764  | -0,354 | 0,514 | 0,624 | —      | —       | —       |
|     | ABvU  | -0,106 | 0,514  | 0,524  | -0,124 | 0,433 | 0,450 | —      | —       | —       |
|     | ASI   | -0,083 | 0,099  | 0,129  | -0,107 | 0,091 | 0,140 | -0,139 | 0,082   | 0,161   |
|     | ASG   | -0,009 | 0,062  | 0,063  | -0,009 | 0,045 | 0,046 | -0,006 | 0,034   | 0,034   |
| 500 | IV O1 | 0,001  | 0,047  | 0,047  | -0,000 | 0,034 | 0,034 | 0,001  | 0,024   | 0,024   |
|     | IV G1 | 0,389  | 0,128  | 0,409  | 0,478  | 0,147 | 0,500 | 0,566  | 0,173   | 0,592   |
|     | IV O2 | 0,004  | 0,097  | 0,097  | 0,001  | 0,076 | 0,076 | 0,002  | 0,059   | 0,059   |
|     | IV G2 | 0,317  | 0,127  | 0,341  | 0,436  | 0,138 | 0,458 | 0,543  | 0,166   | 0,568   |
|     | AB1   | -0,334 | 0,036  | 0,336  | -0,220 | 0,028 | 0,222 | -0,139 | 0,021   | 0,141   |
|     | AB2   | -0,360 | 0,040  | 0,362  | -0,233 | 0,030 | 0,234 | -0,144 | 0,021   | 0,145   |
|     | ABvD  | -0,209 | 0,648  | 0,681  | -0,377 | 0,503 | 0,628 | -0,466 | 0,411   | 0,622   |
|     | ABvU  | -0,061 | 0,664  | 0,666  | -0,119 | 0,416 | 0,433 | -0,102 | 0,313   | 0,329   |
|     | ASI   | -0,021 | 0,042  | 0,047  | -0,029 | 0,034 | 0,044 | -0,039 | 0,031   | 0,050   |
|     | ASG   | -0,001 | 0,025  | 0,025  | -0,002 | 0,019 | 0,019 | -0,002 | 0,013   | 0,014   |

 $\beta_1$ 

| n   | odhad | T = 5  |       |       | T = 7  |       |       | T = 10 |        |        |
|-----|-------|--------|-------|-------|--------|-------|-------|--------|--------|--------|
|     |       | vych.  | sd    | RMSE  | vych.  | sd    | RMSE  | vych.  | sd     | RMSE   |
| 100 | IV O1 | 0,002  | 0,074 | 0,074 | -0,001 | 0,056 | 0,056 | 0,001  | 0,047  | 0,047  |
|     | IV G1 | 0,269  | 2,826 | 2,837 | 0,125  | 0,385 | 0,404 | -1,289 | 43,677 | 43,674 |
|     | IV O2 | 0,011  | 0,128 | 0,129 | 0,008  | 0,102 | 0,102 | 0,005  | 0,079  | 0,080  |
|     | IV G2 | 0,158  | 0,817 | 0,831 | 0,259  | 2,917 | 2,927 | 0,122  | 0,734  | 0,744  |
|     | AB1   | -0,980 | 0,114 | 0,986 | -0,990 | 0,072 | 0,992 | -0,988 | 0,056  | 0,990  |
|     | AB2   | -0,977 | 0,126 | 0,985 | -0,989 | 0,076 | 0,991 | —      | —      | —      |
|     | ABvD  | -0,053 | 1,129 | 1,129 | -0,109 | 0,727 | 0,734 | —      | —      | —      |
|     | ABvU  | 0,028  | 0,946 | 0,946 | 0,006  | 0,650 | 0,650 | —      | —      | —      |
|     | ASI   | -0,029 | 0,119 | 0,122 | -0,053 | 0,123 | 0,134 | -0,065 | 0,119  | 0,136  |
|     | ASG   | -0,000 | 0,058 | 0,058 | -0,004 | 0,048 | 0,048 | -0,001 | 0,039  | 0,039  |
| 500 | IV O1 | -0,000 | 0,033 | 0,033 | -0,002 | 0,026 | 0,026 | 0,000  | 0,019  | 0,019  |
|     | IV G1 | 0,118  | 0,048 | 0,128 | 0,113  | 0,042 | 0,121 | 0,100  | 0,035  | 0,106  |
|     | IV O2 | 0,001  | 0,053 | 0,053 | -0,001 | 0,042 | 0,042 | 0,001  | 0,033  | 0,033  |
|     | IV G2 | 0,111  | 0,053 | 0,123 | 0,116  | 0,044 | 0,124 | 0,106  | 0,037  | 0,112  |
|     | AB1   | -1,000 | 0,053 | 1,001 | -0,998 | 0,034 | 0,998 | -0,998 | 0,025  | 0,998  |
|     | AB2   | -0,998 | 0,057 | 0,999 | -0,997 | 0,037 | 0,998 | -0,997 | 0,027  | 0,998  |
|     | ABvD  | -0,048 | 1,100 | 1,100 | -0,162 | 0,706 | 0,724 | -0,202 | 0,503  | 0,542  |
|     | ABvU  | 0,013  | 1,459 | 1,458 | -0,025 | 0,678 | 0,678 | 0,018  | 0,439  | 0,439  |
|     | ASI   | -0,011 | 0,044 | 0,045 | -0,015 | 0,042 | 0,044 | -0,020 | 0,040  | 0,045  |
|     | ASG   | -0,000 | 0,024 | 0,024 | -0,001 | 0,019 | 0,019 | -0,001 | 0,015  | 0,015  |

Tabulka 4.13: Porovnání odhadů parametrů  $\delta_1$  a  $\beta_1$  zobecněnou metodou momentů v dynamickém panelovém modelu s jedním regresorem  $X_{it} \sim N(1,1)$ ,  $\beta_1 = 1$ ,  $\delta_1 = 0,5$ ,  $\sigma_\mu^2 = 1$ ,  $\sigma_\nu^2 = 1$ , o jaké odhady se jedná, je uvedeno v tabulce 4.12.

$\delta_1$

| $n$ | odhad | $T = 5$ |         |         | $T = 7$ |         |         | $T = 10$ |         |         |
|-----|-------|---------|---------|---------|---------|---------|---------|----------|---------|---------|
|     |       | vych.   | sd      | RMSE    | vych.   | sd      | RMSE    | vych.    | sd      | RMSE    |
| 100 | IV O1 | 0,052   | 6,135   | 6,133   | 0,102   | 5,468   | 5,466   | -0,042   | 1,422   | 1,422   |
|     | IV G1 | -0,187  | 14,815  | 14,809  | 0,220   | 9,236   | 9,234   | -0,277   | 17,681  | 17,674  |
|     | IV O2 | 12,963  | 437,974 | 437,946 | 7,799   | 373,767 | 373,661 | -3,967   | 127,538 | 127,536 |
|     | IV G2 | -3,858  | 76,175  | 76,235  | 1,802   | 51,556  | 51,561  | -0,037   | 6,850   | 6,846   |
|     | AB1   | -0,617  | 0,141   | 0,633   | -0,441  | 0,104   | 0,453   | -0,298   | 0,069   | 0,306   |
|     | AB2   | -0,687  | 0,163   | 0,706   | -0,466  | 0,113   | 0,479   | —        | —       | —       |
|     | ABvD  | -0,348  | 0,679   | 0,763   | -0,609  | 0,642   | 0,884   | —        | —       | —       |
|     | ABvU  | -0,183  | 0,531   | 0,561   | -0,273  | 0,477   | 0,549   | —        | —       | —       |
|     | ASI   | -0,400  | 0,341   | 0,525   | -0,441  | 0,290   | 0,528   | -0,532   | 0,256   | 0,591   |
|     | ASG   | 0,016   | 0,104   | 0,105   | 0,032   | 0,068   | 0,075   | 0,036    | 0,049   | 0,060   |
| 500 | IV O1 | 0,020   | 1,381   | 1,380   | 0,004   | 0,219   | 0,219   | 0,007    | 0,112   | 0,112   |
|     | IV G1 | 0,595   | 21,300  | 21,298  | 0,989   | 44,751  | 44,740  | 0,900    | 12,062  | 12,089  |
|     | IV O2 | 0,094   | 3,634   | 3,633   | 0,155   | 1,687   | 1,693   | 0,223    | 2,837   | 2,8447  |
|     | IV G2 | 0,235   | 13,360  | 13,355  | 1,768   | 42,274  | 42,290  | -0,110   | 21,847  | 21,836  |
|     | AB1   | -0,649  | 0,080   | 0,654   | -0,465  | 0,062   | 0,469   | -0,309   | 0,043   | 0,312   |
|     | AB2   | -0,756  | 0,096   | 0,762   | -0,535  | 0,073   | 0,540   | -0,344   | 0,049   | 0,347   |
|     | ABvD  | -0,349  | 0,700   | 0,782   | -0,572  | 0,605   | 0,833   | -0,789   | 0,533   | 0,952   |
|     | ABvU  | -0,147  | 0,510   | 0,531   | -0,266  | 0,460   | 0,531   | -0,272   | 0,389   | 0,474   |
|     | ASI   | -0,211  | 0,228   | 0,311   | -0,255  | 0,196   | 0,322   | -0,291   | 0,181   | 0,343   |
|     | ASG   | 0,024   | 0,072   | 0,076   | 0,032   | 0,052   | 0,061   | 0,031    | 0,042   | 0,052   |

$\beta_1$

| $n$ | odhad | $T = 5$ |         |         | $T = 7$ |         |         | $T = 10$ |        |        |
|-----|-------|---------|---------|---------|---------|---------|---------|----------|--------|--------|
|     |       | vych.   | sd      | RMSE    | vych.   | sd      | RMSE    | vych.    | sd     | RMSE   |
| 100 | IV O1 | 0,036   | 3,223   | 3,222   | 0,044   | 2,582   | 2,581   | -0,020   | 0,707  | 0,707  |
|     | IV G1 | -0,128  | 7,431   | 7,428   | 0,031   | 3,543   | 3,542   | -0,216   | 8,779  | 8,778  |
|     | IV O2 | 8,198   | 275,916 | 275,900 | 2,712   | 154,325 | 154,272 | -1,690   | 55,226 | 55,224 |
|     | IV G2 | -1,116  | 20,051  | 20,072  | 0,794   | 22,553  | 22,556  | 0,005    | 2,852  | 2,851  |
|     | AB1   | -0,979  | 0,188   | 0,997   | -0,993  | 0,117   | 0,999   | -0,989   | 0,090  | 0,993  |
|     | AB2   | -0,979  | 0,199   | 0,999   | -0,991  | 0,123   | 0,999   | —        | —      | —      |
|     | ABvD  | -0,061  | 2,611   | 2,610   | -0,200  | 1,572   | 1,584   | —        | —      | —      |
|     | ABvU  | -0,037  | 2,421   | 2,420   | -0,031  | 1,458   | 1,457   | —        | —      | —      |
|     | ASI   | -0,084  | 0,994   | 0,997   | -0,183  | 0,807   | 0,827   | -0,243   | 0,699  | 0,739  |
|     | ASG   | 0,002   | 0,152   | 0,152   | -0,007  | 0,133   | 0,133   | -0,005   | 0,112  | 0,112  |
| 500 | IV O1 | 0,007   | 0,734   | 0,734   | -0,001  | 0,118   | 0,118   | 0,004    | 0,066  | 0,066  |
|     | IV G1 | 0,273   | 9,569   | 9,568   | 0,460   | 19,096  | 19,091  | 0,354    | 4,733  | 4,744  |
|     | IV O2 | 0,042   | 1,773   | 1,773   | 0,076   | 0,829   | 0,832   | 0,116    | 1,546  | 1,550  |
|     | IV G2 | 0,069   | 6,631   | 6,628   | 0,874   | 21,380  | 21,387  | -0,087   | 9,301  | 9,297  |
|     | AB1   | -1,004  | 0,123   | 1,011   | -0,996  | 0,070   | 0,998   | -0,999   | 0,043  | 1,000  |
|     | AB2   | -1,002  | 0,113   | 1,008   | -0,997  | 0,068   | 0,999   | -0,997   | 0,045  | 0,999  |
|     | ABvD  | -0,149  | 2,192   | 2,196   | -0,286  | 1,509   | 1,535   | -0,343   | 0,906  | 0,969  |
|     | ABvU  | 0,032   | 2,486   | 2,485   | -0,101  | 1,444   | 1,447   | 0,001    | 0,967  | 0,966  |
|     | ASI   | -0,090  | 0,649   | 0,654   | -0,125  | 0,599   | 0,612   | -0,161   | 0,562  | 0,584  |
|     | ASG   | 0,008   | 0,061   | 0,062   | 0,008   | 0,048   | 0,049   | 0,008    | 0,041  | 0,041  |

Tabulka 4.14: Porovnání odhadů parametrů  $\delta_1$  a  $\beta_1$  zobecněnou metodou momentů v dynamickém panelovém modelu s jedním regresorem  $X_{it} \sim N(1,1)$ ,  $\beta_1 = 1$ ,  $\delta_1 = 0,9$ ,  $\sigma_\mu^2 = 2,25$ ,  $\sigma_\nu^2 = 4$ , o jaké odhady se jedná, je uvedeno v tabulce 4.12.

V tabulkách 4.15 a 4.16 jsou uvedeny charakteristiky odhadů po druhém kroku Ahnova-Schmidtova odhadu. Při nastavení parametrů  $\beta_1 = 1$ ,  $\delta_1 = 0,5$ ,  $\sigma_\mu^2 = 1$ ,  $\sigma_\nu^2 = 1$  mají obě verze Ahnova-Schmidtova odhadu velice podobné sledované vlastnosti, při nastavení parametrů  $\beta_1 = 1$ ,  $\delta_1 = 0,9$ ,  $\sigma_\mu^2 = 2,25$ ,  $\sigma_\nu^2 = 4$  se z hlediska sledovaných charakteristik lépe jeví odhad ASI s jednotkovou maticí vah.

| $\delta_1$ |       |       | $\beta_1$ |       |        |
|------------|-------|-------|-----------|-------|--------|
| $T = 3$    |       |       | $T = 3$   |       |        |
| $n$        | odhad | vych. | $n$       | odhad | vych.  |
| 100        | ASI   | 0,010 | 0,300     | 100   | -0,058 |
|            | ASG   | 0,009 | 0,299     | ASG   | -0,053 |
| 500        | ASI   | 0,100 | 0,224     | 500   | -0,005 |
|            | ASG   | 0,097 | 0,225     | ASG   | 0,010  |
|            |       |       |           |       | 0,245  |

Tabulka 4.15: Porovnání odhadů parametrů  $\delta_1$  a  $\beta_1$  v dynamickém panelovém modelu s jedním regresorem  $X_{it} \sim N(1,1)$ ,  $\beta_1 = 1$ ,  $\delta_1 = 0,5$ ,  $\sigma_\mu^2 = 1$ ,  $\sigma_\nu^2 = 1$ , zkratky ASI a ASG jsou vysvětleny v tabulce 4.12.

| $\delta_1$ |       |        | $\beta_1$ |       |        |
|------------|-------|--------|-----------|-------|--------|
| $T = 3$    |       |        | $T = 3$   |       |        |
| $n$        | odhad | vych.  | $n$       | odhad | vych.  |
| 100        | ASI   | -0,230 | 0,476     | 100   | -0,134 |
|            | ASG   | -0,250 | 0,526     | ASG   | -0,167 |
| 500        | ASI   | -0,079 | 0,383     | 500   | -0,113 |
|            | ASG   | -0,093 | 0,420     | ASG   | -0,149 |
|            |       | 0,391  | 0,430     |       | 0,464  |

Tabulka 4.16: Porovnání odhadů parametrů  $\delta_1$  a  $\beta_1$  v dynamickém panelovém modelu s jedním regresorem  $X_{it} \sim N(1,1)$ ,  $\beta_1 = 1$ ,  $\delta_1 = 0,9$ ,  $\sigma_\mu^2 = 2,25$ ,  $\sigma_\nu^2 = 4$ , zkratky ASI a ASG jsou vysvětleny v tabulce 4.12.

### 4.3 Shrnutí

V simulacích se potvrdilo, že klasické odhady nejsou pro dynamický model panelových dat vhodné. Dále se potvrdilo, že odhad v modelu v fixními efekty má vychýlení řádu  $\frac{1}{T}$ . Na druhou stranu, tvrzení, že odhad s instrumentální proměnnou  $Y_{i,t-2}$  má menší rozptyl než odhad s instrumentální proměnnou  $Y_{i,t-2} - Y_{i,t-3}$ , se neukázalo jako obecně platné.

Je-li panelový AR(1) model blíže nestacionárnímu, potvrzuje se, že použití odhadu s co největším počtem momentových podmínek (Ahnova-Schmidtova) je z hlediska odhadu směrodatné odchylky a odmocninové střední čtvercové chyby nevhodnější. U modelu s dalším regresorem se také jako nevhodnější jeví Ahnův-Schmidtův odhad, u parametru příslušného dalšímu regresoru je tomu tak z hlediska odhadu vychýlení a odmocninové střední čtvercové chyby. V některých situacích jsou všechny odhady zobecněnou metodou momentů poměrně srovnatelné, jindy vykazují velké rozdíly. Obecně lze pro dynamický model panelových dat

doporučit Ahnův-Schmidtův odhad, a to i v případě, že lze provést jen jeho první krok.

Velká podobnost sledovaných charakteristik u jednokrokového a dvoukrokového Arellanova-Bondova odhadu s využitím matice  $G$  (AB1 a AB2) v případě  $n = 500$  potvrzuje, že zmíněné odhady jsou asymptoticky ekvivalentní, jak uváděli Arellano a Bond (1991).

# Závěr

Cílem práce bylo popsat dynamický model panelových dat a způsob odhadu jeho parametrů. Nejprve jsme zopakovali různé odhady v lineárním regresním modelu a zobecněnou metodu momentů. Dále jsme uvažovali klasické odhady pro model panelových dat a důvody, proč a kdy není vhodné je použít na dynamický model. Následně jsou uvedeny odhady vhodné pro dynamický model panelových dat, ať už dvoustupňový odhad či různé odhady zobecněnou metodou momentů – Arellanův-Bondův, Arellanův-Boverův a Ahnův-Schmidtův.

Na závěr jsme ověřili některé teoretické výsledky a porovnali odhady z teoretické části v simulační studii. Simulace ukázala, že skutečně klasické odhady nemusí být vhodné, potvrzdily se lepší vlastnosti – odhad vychýlení, výběrová směrodatná odchylka a odmocninová střední čtvercová chyba – u Ahnova-Schmidtova odhadu, využívajícího více momentových podmínek, zejména v případě modelu bližšího nestacionárnímu. Pro dynamický model bez dalších regresorů se kromě zmíněného Ahnova-Schmidtova odhadu jako vhodný jeví i dvoustupňový odhad s druhou zpožděnou hodnotou odezvy jako instrumentální proměnnou odhadnutý metodou obyčejných nejmenších čtverců či jednokrokový Arellanův-Bondův odhad. Dále se potvrдила vlastnost řádu vychýlení u modelu s fixními efekty.

Na druhou stranu, preference některého z dvoustupňových odhadů na základě výběrové směrodatné odchylky, uvedená v článku Arellano (1989), se ukázala být platná jen v některých situacích.

# Seznam použité literatury

- AHN, S. C. a SCHMIDT, P. (1995). Efficient estimation of models for dynamic panel data. *Journal of Econometrics*, **68**(1), 5–27. ISSN 0304-4076.
- ANDERSON, T. W. a HSIAO, C. (1981). Estimation of Dynamic Models with Error Components. *Journal of the American Statistical Association*, **76**(375), 598–606. ISSN 0162-1459.
- ARELLANO, M. a BOVER, O. (1995). Another Look at the Instrumental Variable Estimation of Error-components Models. *Journal of econometrics*, **68**(1), 29–51. ISSN 0304-4076.
- ARELLANO, M. (1989). A Note on the Anderson-Hsiao Estimator for Panel Data. *Economics letters*, **31**(4), 337–341. ISSN 0165-1765.
- ARELLANO, M. a BOND, S. (1991). Some Tests of Specification for Panel Data: Monte Carlo Evidence and an Application to Employment Equations. *The Review of economic studies*, **58**(2), 277–297. ISSN 0034-6527.
- BALTAGI, B. H. (2021). *Econometric Analysis of Panel Data*, 6. vydání. Springer. ISBN 978-3-030-53952-8.
- BATES, D. a MAECHLER, M. (2019). *Matrix: Sparse and Dense Matrix Classes and Methods*. URL <https://CRAN.R-project.org/package=Matrix>. R package version 1.2-18.
- BLUNDELL, R. a BOND, S. (1998). Initial conditions and moment restrictions in dynamic panel data models. *Journal of Econometrics*, **87**(1), 115–143. ISSN 0304-4076.
- BOND, S. R. (2002). Dynamic panel data models: a guide to micro data methods and practice. *Portuguese economic journal*, **1**(2), 141–162. ISSN 1617-982X.
- BORCHERS, H. W. (2022). *pracma: Practical Numerical Math Functions*. URL <https://CRAN.R-project.org/package=pracma>. R package version 2.4.2.
- DAS, P. (2019). *Econometrics in Theory and Practice Analysis of Cross Section, Time Series and Panel Data with Stata 15.1*, 1. vydání. Springer Singapore. ISBN 981-329-019-6.
- DIGGLE, P., HEAGERTY, P., LIANG, K.-Y. a ZEGER, S. L. (2013). *Analysis of Longitudinal Data*. Oxford statistical science series ; 25. Oxford University Press, Oxford. ISBN 978-0-19-852484-7.
- FRITSCH, M., PUA, A. A. Y. a SCHNURBUS, J. (2021). pdynmc: Moment Condition Based Estimation of Linear Dynamic Panel Data Models. URL <https://cran.r-project.org/package=pdynmc>.
- GREENE, W. H. (2003). *Econometric analysis*, 5. vydání. Prentice-Hall, Upper Saddle. ISBN 0-13-110849-2.

- GRUNFELD, Y. (1958). *The Determinants of Corporate Investment*. PhD thesis, University of Chicago, Department of Economics.
- HAUSMAN, J. A. a TAYLOR, W. E. (1981). Panel Data and Unobservable Individual Effects. *Econometrica*, **49**(6), 1377–1398. ISSN 0012-9682.
- HENDERSON, C. R. (1984). *Applications of Linear Models in Animal Breeding*. University of Guelph.
- HSIAO, C. (2003). *Analysis of Panel Data*, 2. vydání. Econometric Society monographs; 34. Cambridge University Press, Cambridge. ISBN 1-316-08580-5.
- KLEIBER, C. a ZEILEIS, A. (2008). *Applied Econometrics with R*. Springer-Verlag, New York. URL <https://CRAN.R-project.org/package=AER>. ISBN 978-0-387-77316-2.
- MILLO, G. (2017). Robust Standard Error Estimators for Panel Models: A Unifying Approach. *Journal of Statistical Software*, **82**(3), 1–27. doi: 10.18637/jss.v082.i03.
- MÁTYÁS, L. (1999). *Generalized Method of Moments Estimation*. Themes in modern econometrics. Cambridge University Press, Cambridge. ISBN 0521660130.
- NICKELL, S. (1981). Biases in Dynamic Models with Fixed Effects. *Econometrica*, **49**(6), 1417–1426. ISSN 0012-9682.
- PINHEIRO, J., BATES, D., DEBROY, S., SARKAR, D. a R CORE TEAM (2020). *nlme: Linear and Nonlinear Mixed Effects Models*. URL <https://CRAN.R-project.org/package=nlme>. R package version 3.1-149.
- R CORE TEAM (2020). *R: A Language and Environment for Statistical Computing*. R Foundation for Statistical Computing, Vienna, Austria. URL <https://www.R-project.org/>.
- TANG, YUAN, LI a WENXUAN (2016). lfda: An R Package for Local Fisher Discriminant Analysis and Visualization. *arXiv preprint arXiv:1612.09219*. URL <https://arxiv.org/abs/1612.09219>.
- TAPPE, K. (2022). Funkce ranef v R. URL [https://rdrr.io/cran/plm/src/R/tool\\_ranfixef.R](https://rdrr.io/cran/plm/src/R/tool_ranfixef.R). Naposledy navštíveno 20. 2. 2023.
- WOOLDRIDGE, J. M. (2010). *Econometric Analysis of Cross Section and Panel Data*, 2. vydání. MIT Press, Cambridge. ISBN 9780262232586.
- WOOLDRIDGE, J. M. (2013). *Introductory Econometrics : A Modern Approach*, 5. vydání. South-Western Cengage Learning, Mason. ISBN 978-1-111-53104-1.
- ZEILEIS, A. (2019). *dynlm: Dynamic Linear Regression*. URL <https://CRAN.R-project.org/package=dynlm>. R package version 0.3-6.
- ZSOHAR, P. (2012). Short Introduction to the Generalized Method of Moments. *Hungarian Statistical Review*, **90**(SN16), 150–170.

# Seznam obrázků

|     |  |    |
|-----|--|----|
| 2.1 | Tržní hodnota v závislosti na kapitálu pro firmy z Grunfeldových dat a tři odhady závislosti na kapitálu pro firmy z Grunfeldových dat. . . . .                          | 25 |
| 3.1 | Výběrová autokorelační funkce reziduů Atlantic Refining z Grunfeldových dat. . . . .   | 27 |
| 4.1 | Odhady v modelu s fixními efekty pro $n = 100$ a $T = 5, 10, 50$ , $\delta_1 = 0,5$ , $\sigma_{\mu}^2 = 2,25$ , $\sigma_{\nu}^2 = 4$ . . . . .                           | 47 |
| 4.2 | Odhady IV O1 pro $n = 100$ (nahoře) a $n = 500$ (dole), $T = 5, 10, 50$ , $\delta_1 = 0,5$ , $\sigma_{\mu}^2 = 1$ a $\sigma_{\nu}^2 = 1$ . . . . .                       | 51 |
| 4.3 | Odhady ABI, AB1, AB2, ABS, ASI a ASG pro $n = 100$ , $T = 5$ (nahoře) a $T = 10$ (dole), $\delta_1 = 0,5$ , $\sigma_{\mu}^2 = 1$ , $\sigma_{\nu}^2 = 1$ . . . . .        | 52 |
| 4.4 | Odhady ABI, AB1, AB2, ABS, ASI a ASG pro $n = 500$ , $T = 5$ (dole) a $T = 10$ (nahoře), $\delta_1 = 0,5$ , $\sigma_{\mu}^2 = 1$ , $\sigma_{\nu}^2 = 1$ . . . . .        | 53 |
| 4.5 | Histogramy odhadů IV O1, IV G1, IV O2, IV G2, ABI, AB1, AB2, ABS, ASI a ASG pro $n = 100$ a $T = 5$ , $\delta_1 = 0,5$ , $\sigma_{\mu}^2 = 1$ , $\sigma_{\nu}^2 = 1$ . . | 54 |

# Seznam tabulek

|      |  |    |
|------|--|----|
| 2.1  | Grunfeldova data a 3 přístupy k panelovým datům.   | 25 |
| 4.1  | Porovnání klasických odhadů a IV, $\delta_1 = 0,5$ , $\sigma_\mu^2 = 2,25$ , $\sigma_\nu^2 = 4$ .  | 46 |
| 4.2  | Porovnání klasických odhadů a IV, $\delta_1 = 0,5$ , $\sigma_\mu^2 = 1$ , $\sigma_\nu^2 = 1$ .   | 46 |
| 4.3  | Porovnání klasických odhadů a IV, $\delta_1 = 0,5$ , $\sigma_\mu^2 = 1$ , $\sigma_\nu^2 = 4$ .   | 47 |
| 4.4  | Porovnání klasických odhadů a IV, $\delta_1 = 0,9$ , $\sigma_\mu^2 = 2,25$ , $\sigma_\nu^2 = 4$ .  | 48 |
| 4.5  | Porovnání klasických odhadů a IV, $\delta_1 = 0,9$ , $\sigma_\mu^2 = 1$ , $\sigma_\nu^2 = 1$ .   | 48 |
| 4.6  | Porovnání klasických odhadů a IV, $\delta_1 = 0,9$ , $\sigma_\mu^2 = 1$ , $\sigma_\nu^2 = 4$ .   | 48 |
| 4.7  | Porovnání klasických odhadů a IV, $\delta_1 = 0,0$ , $\sigma_\mu^2 = 1$ , $\sigma_\nu^2 = 1$ .   | 49 |
| 4.8  | Porovnávané odhady v panelovém AR(1) modelu.   | 49 |
| 4.9  | Porovnání odhadů zobecněnou metodou momentů v panelovém AR(1) modelu, $\delta_1 = 0,5$ , $\sigma_\mu^2 = 1$ , $\sigma_\nu^2 = 1$ , o jaké odhady se jedná, je uvedeno v tabulce 4.8.   | 50 |
| 4.10 | Porovnání odhadů zobecněnou metodou momentů v panelovém AR(1) modelu, $\delta_1 = -0,8$ , $\sigma_\mu^2 = 1$ , $\sigma_\nu^2 = 1$ , o jaké odhady se jedná, je uvedeno v tabulce 4.8.  | 55 |
| 4.11 | Porovnání odhadů zobecněnou metodou momentů v panelovém AR(1) modelu, $\delta_1 = 0,9$ , $\sigma_\mu^2 = 2,25$ , $\sigma_\nu^2 = 4$ , o jaké odhady se jedná, je uvedeno v tabulce 4.8.  | 55 |
| 4.12 | Odhady v dynamickém panelovém modelu s dalším regresorem.  | 56 |
| 4.13 | Porovnání odhadů parametrů $\delta_1$ a $\beta_1$ zobecněnou metodou momentů v dynamickém panelovém modelu s jedním regresorem $X_{it} \sim N(1,1)$ , $\beta_1 = 1$ , $\delta_1 = 0,5$ , $\sigma_\mu^2 = 1$ , $\sigma_\nu^2 = 1$ , o jaké odhady se jedná, je uvedeno v tabulce 4.12.    | 57 |
| 4.14 | Porovnání odhadů parametrů $\delta_1$ a $\beta_1$ zobecněnou metodou momentů v dynamickém panelovém modelu s jedním regresorem $X_{it} \sim N(1,1)$ , $\beta_1 = 1$ , $\delta_1 = 0,9$ , $\sigma_\mu^2 = 2,25$ , $\sigma_\nu^2 = 4$ , o jaké odhady se jedná, je uvedeno v tabulce 4.12. | 58 |
| 4.15 | Porovnání odhadů parametrů $\delta_1$ a $\beta_1$ v dynamickém panelovém modelu s jedním regresorem $X_{it} \sim N(1,1)$ , $\beta_1 = 1$ , $\delta_1 = 0,5$ , $\sigma_\mu^2 = 1$ , $\sigma_\nu^2 = 1$ , zkratky ASI a ASG jsou vysvětleny v tabulce 4.12.                                | 59 |
| 4.16 | Porovnání odhadů parametrů $\delta_1$ a $\beta_1$ v dynamickém panelovém modelu s jedním regresorem $X_{it} \sim N(1,1)$ , $\beta_1 = 1$ , $\delta_1 = 0,9$ , $\sigma_\mu^2 = 2,25$ , $\sigma_\nu^2 = 4$ , zkratky ASI a ASG jsou vysvětleny v tabulce 4.12.                             | 59 |

## A. Přílohy

Elektronickou přílohou jsou tři R skripty:

1. simulace\_panelovych\_dat.R, obsahující simulaci dynamických panelových dat a všechny použité odhady,
2. simulace\_cyklus.R, obsahující cyklus pro  $N = 1000$  opakování simulací a odhadů použitých v části 4.1,
3. odhad\_y\_Grunfeldova\_data.R, obsahující kód s výpočty odhadů pro modely Grunfeldových dat.